

ZEITSCHRIFT

FÜR

PHYSIK UND MATHEMATIK.

I.

Leichtes Verfahren, die Gleichungen zwischen den Kanten der einfachen Gestalten des tessularischen Krystallsystemes darzustellen ;

von

A. v. Ettingshausen.

1.

Die im höchsten Grade lehrreichen Vorlesungen, welche Herr Professor *Mohs* an dem k. k. Hof-Mineralien-Cabinette hält, und denen beizuwohnen ich gegenwärtig das Vergnügen genieße, veranlaßten mich, zu meiner eigenen Belehrung, den Zusammenhang, welcher zwischen den Kanten (Neigungswinkeln der Flächen) der einfachen tessularischen Gestalten obwaltet, durch Rechnung zu untersuchen. Obgleich dieß keiner Schwierigkeit unterliegt, sobald man die zu suchenden Größen mit den gegebenen durch eine, dem vorliegenden Falle angemessene, Kette ebener und sphärischer Dreiecke verbindet; so dürfte dennoch das, zu dem angeführten Zwecke, von mir gewählte Verfahren, durch welches man die oft lästige Betrachtung dieser Dreiecke gänzlich vermeidet, und alle Fälle einem gleichförmigen Calcul unterwirft, der Aufmerksamkeit der Krystallographen nicht unwerth seyn, wesswegen ich dasselbe in gegenwärtigem Aufsätze vortrage.

Dieses Verfahren gründet sich einerseits auf nachstehende allgemein bekannte geometrische Sätze:

- a) Der Winkel, unter welchem zwei Ebenen zusammenstoßen, ergänzt den Winkel, welchen die aus einem, innerhalb des ersteren Winkels gewählten, Punkte auf diese Ebenen geführten Perpendikel mit einander bilden, zu zwei Rechten.
- β) Der Cosinus des Winkels zweier aus einem Punkte auslaufender Geraden ist der Summe der drei Producte aus den Cosinussen der beiden Winkel gleich, unter welchen diese Geraden gegen jede dreier in genanntem Punkte wechselweise auf einander senkrecht stehender gerader Linien geneigt sind.
- γ) Die Summe der Quadrate der Cosinuse der Winkel, welche eine Gerade mit drei anderen, einander wechselweise senkrecht durchschneidenden Geraden darstellt, ist dem Quadrate des Halbmessers, d. i. der Einheit gleich.

Andererseits aber gründet sich erwähntes Verfahren auf die allen einfachen tessularischen Gestalten, ihrem Ursprunge gemäfs, gemeinschaftlich zukommende Eigenschaft:

- δ) dafs sämtliche Grenzflächen einer solchen Gestalt gegen die drei in ihrem Mittelpunkte wechselweise auf einander senkrechten geraden Linien, in welchen die pyramidalen Axen eines Hexaeders liegen, dessen rhomboëdrische Axen mit den rhomboëdrischen Axen der Gestalt zusammenfallen, einerlei Lage haben *).

*) Die Beschreibung der Gestalten, von denen hier die Rede ist, findet man in den §§. 57—77, und die Erklärung der unter denselben bestehenden Verbindung in den §§.

Ich werde im Folgenden die so eben erwähnten drei im Mittelpunkte jeder tessularischen Gestalt einander wechselweise unter rechten Winkeln durchkreuzenden Geraden, welche stets entweder durch Mittelpunkte der Flächen, oder durch Ecke, oder durch Halbirungspunkte der Kantenlinien gehen, und bei den ganzen einfachen Gestalten als pyramidale, bei ihren Hälften als prismatische, und bei den Vierteln als hemiprismatische Axen erscheinen, geradezu die *Axen* der zu betrachtenden Gestalt nennen. Vielleicht wäre es nicht unschicklich, dieselben, aufser den angeführten, noch mit dem gemeinschaftlichen Namen: *tessularische Axen*, zu belegen.

3.

Der in δ) angegebenen Eigenschaft der einfachen tessularischen Gestalten zu Folge, bildet jedes der aus dem Mittelpunkte einer solchen Gestalt auf ihre Grenzflächen fallenden Perpendikel mit den drei Axen, in so ferne man unter diesen Axen keinen Unterschied macht, die nämlichen drei Winkel. Die verschiedenen Grenzflächen der Gestalt unterscheiden sich blofs dadurch, dafs die ihnen correspondirenden Perpendikel die drei festgesetzten Winkel nicht durchgehends mit den nämlichen Axen, oder wenigstens nicht mit den nämlichen der durch den Mittelpunkt von einander gesonderten Theile dieser Axen darstellen.

Fassen wir, um bei der Angabe dieser Winkel jede Zweideutigkeit auszuschliessen, von jeder der drei Axen nur einen, während der ganzen Untersuchung unabänderlich beizubehaltenden ihrer beiden, im Mittelpunkte der Gestalt geschiedenen Theile, welchen wir den *Haupt-*

theil dieser Axe nennen wollen, in das Auge, und setzen wir unter den Axen selbst eine gewisse Ordnung fest, in der stets die auf dieselben sich beziehenden Winkel anzugeben sind; so erscheinen die Winkel, welche die aus dem Mittelpuncte einer einfachen tessularischen Gestalt auf ihre Grenzflächen gefällten Perpendikel mit den Axen bilden, bei verschiedenen Perpendikeln theils unter einander, theils überdiess noch mit ihren Ergänzungen zu zwei Rechten verwechselt. Sind also a, b, c die, mit gehöriger Rücksicht auf ihre Zeichen genommenen Cosinusse der Winkel, unter welchen das auf irgend eine Grenzfläche der Gestalt fallende Perpendikel gegen die Haupttheile der drei Axen geneigt ist, und a', b', c' dieselben Gröfsen in Beziehung auf eine andere Grenzfläche, so kommen den Cosinussen a', b', c' die Werthe $\pm a, \pm b, \pm c$ in einer Ordnung und mit Zeichen zu, welche von der Lage der zweiten Fläche rücksichtlich der ersten abhängen, und, wie die Folge lehren wird, in jedem einzelnen Falle sich leicht angeben lassen.

Der Cosinus des Winkels der Perpendikel, welche beiden Grenzflächen der Gestalt correspondiren, wird (2. β) durch $aa' + bb' + cc'$ ausgedrückt; bezeichnet man daher den Cosinus des Winkels, unter welchen beide Grenzflächen, nöthigen Falls erweitert, zum Durchschnitte kommen, durch A , so hat man wegen 2. α)

$$(1) \quad A = - (aa' + bb' + cc'),$$

wobei wegen 3. γ) zwischen den Gröfsen a, b, c die Gleichung

$$(2) \quad a^2 + b^2 + c^2 = 1$$

besteht.

Es kann also im Allgemeinen der Cosinus des Winkels jeder zwei Grenzflächen einer einfachen tessulari-

schen Gestalt mit Hülfe der Gleichung (1) durch die nämlichen drei Gröfsen a , b , c , und weil diese Gröfsen durch die Gleichung (2) mit einander verknüpft sind, durch zwei beliebige dieser Gröfsen ausgedrückt werden, woraus hervorgeht, dafs man im Allgemeinen die Neigung jeder zwei Grenzflächen einer einfachen tessularischen Gestalt durch die Winkel, welche von zwei Paaren der übrigen Grenzflächen gebildet werden, anzugeben im Stande ist. Diese gegenseitige Abhängigkeit der Neigungen der Grenzflächen gegen einander wird aber noch einfacher, wenn die Gröfsen a , b , c , der besonderen Beschaffenheit einer Gestalt zu Folge, näher bestimmt werden können.

4.

Jede einfache tessularische Gestalt ist entweder ein Tetrakontaoktaëder, oder in einem Tetrakontaoktaëder als Hälfte oder Viertel enthalten, oder sie geht aus einer dieser Gestalten dadurch hervor, dafs sämtliche Kanten einer gewissen Art die Gröfse zweier rechter Winkel erreichen, indem die in diesen Kanten sich begegnenden Grenzflächen in eine Ebene fallen. Ich will daher allen folgenden Rechnungen die Betrachtung irgend eines Tetrakontaoktaëders zu Grunde legen.

Um die ihrer Lage nach verschiedenen Grenzflächen eines Tetrakontaoktaëders auf eine leichte Weise kenntlich zu machen, ist es nöthig, die Ecke dieser Gestalt fafslich zu bezeichnen. Man bringe zu diesem Ende das zu betrachtende Tetrakontaoktaëder in eine solche Lage, dafs die erste seiner drei (pyramidalen) Axen vertical steht und ihr Haupttheil *aufwärts* gerichtet ist, ferner von den beiden anderen, nunmehr horizontalen, Axen der Haupttheil der zweiten *vorwärts*, und der Haupttheil der dritten *rechts* zu liegen kommt, so erscheint

eines der sechs pyramidalen (achtflächigen) Ecke der Gestalt oben, eines unten, eines vorne, eines hinten, eines rechts, eines links, wesswegen man diese Ecke füglich durch die Buchstaben

O, U, V, H, R, L

anzeigen kann. Was die acht rhomboëdrischen (sechsfächigen) Ecke betrifft, so erscheint eines in der Mitte des oberen, vorderen, rechten Achttheiles der Gestalt, also kurz zu sprechen, oben, vorne und rechts; ein zweites unten, vorne und rechts; ein drittes oben, hinten und rechts; u. s. w. Daher erhalten diese Ecke die Zeichen

OVR, UVR, OHR, UHR, OVL, UVL, OHL, UHL.

Endlich befindet sich eines der zwölf prismatischen (vierflächigen) Ecke oben und vorne, ein zweites unten und vorne, ein drittes oben und hinten, u. s. w. Daher sich diese Ecke bequem durch die Zeichen

OV, UV, OH, UH, OR, UR, OL, UL, VR, HR, VL, HL

vorstellen lassen.

Um eine Seitenfläche des Tetrakontaoktaëders anzuzeigen, ist nichts weiter erforderlich, als die Eckpunkte, welche an ihr vorkommen, zu nennen. Sie wird hiedurch von den übrigen Seitenflächen deutlich unterschieden. So gehört z. B. dem Ecke des in der 35^{ten} Figur des ersten Theiles des Grundrisses der Mineralogie vorgestellten Tetrakontaoktaëders, woran sich der Buchstabe *c* befindet, das Zeichen *V*, und den Ecken, woran die Buchstaben *b*, *a* stehen, die Zeichen *OVR*, *OV*; man kann also das Dreieck *abc* genannter Figur durch das Zeichen (*V, OVR, OV*) vorstellen.

5.

Sind die Cosinusse der Winkel gegeben, unter welchen das aus dem Mittelpunkte des Tetrakontaoktaëders

auf irgend eine bestimmte Seitenfläche gefällte Perpendikel gegen die, obiger Annahme zu Folge, in O, V, R sich endigenden, Haupttheile der drei Axen geneigt ist, und man will die Cosinusse dieser Winkel für eine andere ebenfalls bestimmte Seitenfläche wissen, so drücke man beide Seitenflächen durch die ihnen entsprechenden Symbole aus, und untersuche, welche Änderungen mit den Buchstaben O, U, V, H, R, L in dem Zeichen der ersten Seitenfläche vorgenommen werden müssen, um dieses in das Zeichen der zweiten Seitenfläche umzuwandeln. Man beziehe den ersten der gegebenen Cosinusse, seinem numerischen Werthe nach, auf die Buchstaben O und U ; den zweiten dieser Cosinusse auf V und H , und den dritten auf R und L , und nehme mit diesen Cosinussen, ohne die ihnen vorgesetzten Zeichen $+$ oder $-$ zu beachten, in Absicht auf die Ordnung, in welcher sie gegeben sind, alle den oben erwähnten Änderungen der Buchstaben O, U, V, H, R, L entsprechenden Verwechslungen vor, so hat man die numerischen Werthe der verlangten Cosinusse. Ihre Zeichen werden durch die Regel bestimmt, daß der an der ersten, zweiten, dritten Stelle stehende Cosinus positiv oder negativ seyn muß, je nachdem in dem Symbole der Seitenfläche, für welche diese Gröfsen gelten, einer der Buchstaben O, V, R , oder einer der Buchstaben U, H, L erscheint. Die Richtigkeit dieser Vorschrift erhellet leicht aus 2. δ) und 3.

6.

Wir wollen allen künftigen Rechnungen die Cosinusse der Winkel zu Grunde legen, welche das aus dem Mittelpuncte des Tetrakontaoktaëders auf die Seitenfläche (O, OVR, OV) gefällte Perpendikel mit den Haupttheilen der Axen darstellt, und diese Cosinusse

durch a, b, c andeuten. Bei dieser Annahme sind, wie man leicht sieht, a, b, c positive Zahlen, und zwar ist $a > b > c$. Welche Cosinusse den übrigen Seitenflächen correspondiren, weiset nachstehende Tabelle aus, in welcher die um die pyramidalen Ecke der Gestalt herumliegende Flächen gruppenweise zusammengestellt erscheinen.

Seitenfläche.	Cosinusse.	Seitenfläche.	Cosinusse.
O, OVR, OV	a, b, c	U, UVR, UV	$-a, b, c$
O, OVR, OR	a, c, b	U, UVR, UR	$-a, c, b$
O, OHR, OR	$a, -c, b$	U, UHR, UR	$-a, -c, b$
O, OHR, OH	$a, -b, c$	U, UHR, UH	$-a, -b, c$
O, OHL, OH	$a, -b, -c$	U, UHL, UH	$-a, -b, -c$
O, OHL, OL	$a, -c, -b$	U, UHL, UL	$-a, -c, -b$
O, OVL, OL	$a, c, -b$	U, UVL, UL	$-a, c, -b$
O, OVL, OV	$a, b, -c$	U, UVL, UV	$-a, b, -c$
V, OVR, OV	b, a, c	H, OHR, OH	$b, -a, c$
V, OVR, VR	c, a, b	H, OHR, HR	$c, -a, b$
V, UVR, VR	$-c, a, b$	H, UHR, HR	$-c, -a, b$
V, UVR, UV	$-b, a, c$	H, UHR, UH	$-b, -a, c$
V, UVL, UV	$-b, a, -c$	H, UHL, UH	$-b, -a, -c$
V, UVL, VL	$-c, a, -b$	H, UHL, HL	$-c, -a, -b$
V, OVL, VL	$c, a, -b$	H, OHL, HL	$c, -a, -b$
V, OVL, OV	$b, a, -c$	H, OHL, OH	$b, -a, -c$
R, OVR, VR	c, b, a	L, OVL, VL	$c, b, -a$
R, OVR, OR	b, c, a	L, OVL, OL	$b, c, -a$
R, OHR, OR	$b, -c, a$	L, OHL, OL	$b, -c, -a$
R, OHR, HR	$c, -b, a$	L, OHL, HL	$c, -b, -a$
R, UHR, HR	$-c, -b, a$	L, UHL, HL	$-c, -b, -a$
R, UHR, UR	$-b, -c, a$	L, UHL, UL	$-b, -c, -a$
R, UVR, UR	$-b, c, a$	L, UVL, UL	$-b, c, -a$
R, UVR, VR	$-c, b, a$	L, UVL, VL	$-c, b, -a$

7.

I. Fassen wir irgend eine der Grenzflächen eines Tetrakontaoktaeders, z. B. die in der 35^{ten} Figur des Grundrisses der Miner. 1. Thl. mit Buchstaben bezeichnete, in das Auge. Ihr entspricht das Zeichen

(V, OVR, OV) ,
 und das aus dem Mittelpuncte der Gestalt auf diese Fläche fallende Perpendikel bildet mit den Haupttheilen der drei pyramidalen Axen Winkel, deren Cosinusse, der in 6. gemachten Voraussetzung gemäß, wie die dort gegebene Tabelle zeigt,

b, a, c
 sind. Die Flächen, welche sich an die so eben genannte anschließen, sind

(V, OVR, VR) ; (V, OVL, OV) ; (O, OVR, OV) ;
 und ihren Perpendikeln entsprechen die Cosinusse

$$c, a, b; \quad b, a, -c; \quad a, b, c. \quad (1)$$

Heißen nun die Cosinusse der Kanten, welche die drei letzteren Flächen mit der ersten, der Reihe nach bilden, in Übereinstimmung mit der Bezeichnung der angeführten Figur A, B, C , so bestehen, vermöge der oben gegebenen Formel (1), die Gleichungen:

$$(3) \quad \begin{cases} A = - (a^2 + 2bc), \\ B = - (a^2 + b^2 - c^2), \\ C = - (2ab + c^2). \end{cases}$$

II. Allein die Fläche (V, OVR, OV) des vorliegenden Tetrakontaoktaeders kann offenbar auch als ein Theil der Begrenzung eines tetraëdrischen Trigonal-Ikositetraeders, ferner eben so als ein Theil einer Grenzfläche eines dreikantigen Tetragonal-Ikositetraeders, eines Pentagonal-Ikositetraeders, oder eines tetraëdrischen Pentagonal-Dodekaeders betrachtet werden.

Die Flächen des Tetrakontaoktaeders, welche mit der Fläche (O, OVR, OV) , gehörig erweitert, die Kanten eines tetraëdrischen Trigonal-Ikositetraeders hervorbringen, sind, wie aus der im Grundrisse der Mineralogie gegebenen Theorie der Zerlegung des Tetrakonta-

oktaeders erhellet, und durch Vergleichung der 26^{sten} Figur des Grundrisses d. M. mit der 35^{sten} anschaulich gemacht werden kann,

(V, UVL, VL) ; (O, OVR, OV) ; (V, OVR, VR) ;

und denselben correspondiren die Cosinusse

$-c, a, -b$; a, b, c ; c, a, b .

Nennt man die Cosinusse der durch diese Flächen mit (V, OVR, OV) hervorgebrachten Kanten, in Übereinstimmung mit der Bezeichnung der 26^{sten} Figur, A_1, B_1, C_1 , so ergeben sich die Gleichungen

$$(4) \quad \begin{cases} A_1 = -(a^2 - 2bc), \\ B_1 = -(2ab + c^2), \\ C_1 = -(a^2 + 2bc). \end{cases}$$

III. In so ferne (V, OVR, OV) als Theil der Begrenzung eines dreikantigen Tetragonal-Ikositetraeders betrachtet wird, sind die mit dieser zum Durchschnitte kommenden Nachbarflächen (vergl. die 32^{ste} Figur des Grundr. d. M. mit der 35^{sten})

(V, OVL, OV) ; (V, UVR, UV) ; (O, OVR, OR) ; (R, OVR, VR)

welchen die Cosinusse

$b, a, -c$; $-b, a, c$; a, c, b ; c, b, a

gehören. Wie man mit Hülfe der Formel (1) sieht, können nur die Kanten, welche die drei ersteren mit (V, OVR, OV) erzeugen, unter einander verschieden seyn. Ihre Cosinusse sollen in Übereinstimmung mit der Bezeichnung der 31^{sten} Figur des Grundrisses der Mineralogie A_2, B_2, C_2 heißen, und somit bestehen die Gleichungen

$$(5) \quad \begin{cases} A_2 = -(a^2 + b^2 - c^2), \\ B_2 = -(a^2 - b^2 + c^2), \\ C_2 = -(ab + ac + bc). \end{cases}$$

Die durch die vierte Nachbarfläche mit (V, OVR, OV)

hervorgebrachte Kante ist der dritten unter den so eben angeführten Kanten gleich.

IV. Sieht man die Fläche (V, OVR, OV) eines Tetrakontaoktaëders als einen Theil der Begrenzung eines *Pentagonal-Ikositetraëders* an, so sind die Nachbarflächen (Grundr. Fig. 34)

$$(V, OVL, VL); (V, UVR, VR); (R, OVR, VR);$$

$$(O, OVR, OR); (O, OVL, OV);$$

und die ihnen correspondirenden Cosinusse

$$c, a, -b; \quad -c, a, b; \quad c, b, a;$$

$$a, c, b; \quad a, b, -c.$$

Stellen nun A_3, B_3, C_3 die Cosinusse der Kanten vor, welche die erste oder zweite, die dritte oder vierte, und die fünfte dieser Flächen mit (V, OVR, OV) zu Stande bringen, so hat man

$$(6) \quad \begin{cases} A_3 = -a^2, \\ B_3 = -(ab + ac + bc), \\ C_3 = -(2ab - c^2). \end{cases}$$

V. Wird endlich die Fläche (V, OVR, OV) auf ein *tetraëdrisches Pentagonal-Dodëkaëder* bezogen, so bieten sich als Nachbarflächen dar (vergl. Grundr. Fig. 23 mit 35):

$$(R, OVR, VR); (O, OVR, OR); (O, OHL, OL);$$

$$(L, UVL, VL); (V, UVL, UV);$$

und diesen gehören die Cosinusse

$$c, b, a; \quad a, c, b; \quad a, -c, -b;$$

$$-c, b, -a; \quad -b, a, -c.$$

Sind A_4, B_4, C_4 die Cosinusse der Kanten, in welchen (V, OVR, OV) von der ersten oder zweiten, von der dritten oder vierten, und von der fünften dieser Flächen geschnitten wird, so ergeben sich die Gleichungen:

$$(7) \quad \begin{cases} A_4 = - (ab + ac + bc), \\ B_4 = - (ab - ac - bc), \\ C_4 = - (a^2 - b^2 - c^2). \end{cases}$$

Die Vergleichung der hier gefundenen Ausdrücke lehrt, daß

$$A = C_1, \quad B = A_2, \quad C = B_1, \quad C_2 = B_3 = A_4$$

ist, wie es die Zerlegung des Tetrakontaoktäeders mit sich bringt.

Verbindet man zwei beliebige und unter einander verschiedene dieser Gleichungen mit der oben angeführten Gleichung

$$a^2 + b^2 + c^2 = 1,$$

so ist man, indem man zugleich berücksichtigt, daß $a > b$ und $b > c$ seyn muß, jederzeit im Stande, die Cosinuse a, b, c durch diejenigen zwei unter den Cosinussen $A, B, C, A_1, B_1, C_1, A_2, B_2$, etc., welche in den gewählten Gleichungen erscheinen, unzweideutig zu bestimmen, und folglich, wenn man die für a, b, c erhaltenen Werthe in die übrigen Gleichungen einführt, auch die Werthe aller übrigen unter den erwähnten Cosinussen anzugeben. Man sieht also hieraus, daß es jederzeit angeht, aus zwei wie immer gewählten Kanten der in einem Tetrakontaoktäeder enthaltenen tessularischen Gestalten, wenn diese Kanten nur nicht nothwendig identisch sind, alle anderen Kanten genannter Gestalten zu berechnen.

Nachstehende Beispiele sollen dieß erläutern.

8.

Erste Aufgabe. Es seyen zwei Kanten eines Tetrakontaoktäeders gegeben, man soll die dritte Kante dieser Gestalt und die Kanten aller in ihr enthaltenen tessularischen Gestalten (der Hälften und Viertel) ausmitteln.

Auflösung. 1. Fall. Es seyen die Kanten gegeben, welche die achthflächigen Ecke des Tetrakontaoktaeders mit den übrigen Ecken, nämlich mit den sechsfächigen und mit den vierflächigen, verbinden. Da wir die Cosinuse der hier als gegeben zu betrachtenden Kanten oben A und B genannt haben, so sind die Gleichungen

$$a^2 + 2bc = -A,$$

$$a^2 + b^2 - c^2 = -B,$$

$$a^2 + b^2 + c^2 = 1$$

in Bezug auf a, b, c aufzulösen.

Zieht man die zweite dieser Gleichungen von der dritten ab, so ergibt sich $2c^2 = 1 + B$, und hieraus

$$c = \sqrt{\frac{1+B}{2}}.$$

Durch Subtraction der ersten Gleichung von der dritten erhält man ferner $b^2 - 2bc + c^2 = 1 + A$, mithin, wegen $b > c$

$$b - c = \sqrt{1 + A},$$

$$\text{also } b = \sqrt{1 + A} + \sqrt{\frac{1+B}{2}}.$$

Endlich ist vermöge der ersten obiger Gleichungen $a = \sqrt{-A - 2bc}$, folglich

$$a = \sqrt{-(1 + A + B) - 2\sqrt{(1 + A)\left(\frac{1+B}{2}\right)}}.$$

Substituirt man diese Werthe für a, b, c in die in 7. erhaltenen Gleichungen, so findet man den Cosinus der dritten Kante des Tetrakontaoktaeders, d. i.

$$C = -\left(\frac{1+B}{2}\right) - 2\left[\sqrt{1 + A} + \sqrt{\frac{1+B}{2}}\right] \times \\ \times \sqrt{-(1 + A + B) - 2\sqrt{(1 + A)\left(\frac{1+B}{2}\right)}};$$

ferner die Cosinuse der Kanten des in diesem Tetra-

kontaoktaëder enthaltenen tetraëdrischen Trigonal-Ikositetraëders, nämlich

$$A_1 = A + 2 \left[1 + B + 2 \sqrt{(1 + A) \left(\frac{1 + B}{2} \right)} \right],$$

$$B_1 = C, \quad C_1 = A;$$

eben so die Cosinuse der Kanten des dreikantigen Tetragonal-Ikositetraëders, nämlich

$$A_2 = B, \quad B_2 = 2 + 2A + B + 4 \sqrt{(1 + A) \left(\frac{1 + B}{2} \right)},$$

$$C_2 = - \left(\frac{1 + B}{2} \right) - \sqrt{(1 + A) \left(\frac{1 + B}{2} \right)}$$

$$- \left[\sqrt{1 + A} + 2 \sqrt{\frac{1 + B}{2}} \right] \times$$

$$\times \sqrt{- (1 + A + B) - 2 \sqrt{(1 + A) \left(\frac{1 + B}{2} \right)}}$$

u. s. w., welche Formeln, da sie mittelst der bekannten Werthe von a, b, c leicht darstellbar sind, ich hier fortzusetzen nicht für nöthig erachte, zumal, da es beim practischen Gebrauche bequemer seyn dürfte, zuerst a, b, c zu berechnen, und die gefundenen numerischen Resultate zur weiteren Berechnung von C, A_1, B_2, C_2 u. s. w., nach den in 7. erhaltenen Gleichungen, zu verwenden.

Dafs man, wenn die Cosinuse A, B nicht unmittelbar gegeben sind (für die in der Natur erscheinenden einfachen tessularischen Gestalten lassen sich die Cosinuse der Kanten durchgehends, wenn nicht genau, doch wenigstens näherungsweise, durch einfache rationale Brüche darstellen), statt des Radicals

$\sqrt{\frac{1 + B}{2}}$ den Cosinus der Hälfte des Winkels, worauf

sich B bezieht, und in gleicher Absicht statt des Radicals

$\sqrt{1 + A}$ das ihm gleichgeltende $\sqrt{2} \cdot \sqrt{\frac{1 + A}{2}}$

in die Rechnung einzuführen, und überhaupt alle Formeln mit Hülfe der zwischen den Kreisfunctionen bestehenden Relationen möglichst zusammen zu ziehen oder nach Bedürfnis zur Anwendung der Logarithmen geschickt zu machen habe, bedarf keiner weiteren Erläuterung. Ich begnüge mich daher damit, nur noch darauf aufmerksam zu machen, daß es in letzterer Hinsicht vortheilhaft seyn dürfte, nur diejenigen zwei der Cosinuse a, b, c , deren Formeln man zur Rechnung am geeignetsten hält, unmittelbar durch die gegebenen Größen zu suchen, und den dritten dieser Cosinuse mittelst der Bemerkung zu entwickeln, daß im Allgemeinen aus der Gleichung $\cos. a^2 + \cos. b^2 + \cos. c^2 = 1$

$$\cos. a = \sqrt{-\cos. (\beta + \gamma) \cdot \cos. (\beta - \gamma)}$$

folgt.

2. Fall. Es seyen die Kanten, welche in den sechsflächigen Ecken des Tetrakontaoktaeders zusammenstossen, also die Cosinuse A, C gegeben.

Hier hat man es mit den Gleichungen

$$a^2 + 2bc = -A,$$

$$2ab + c^2 = -C,$$

$$a^2 + b^2 + c^2 = 1$$

zu thun. Aus der ersten und dritten folgt, wie im vorigen Falle

$$b - c = \sqrt{1 + A},$$

und aus der zweiten und dritten auf ähnliche Weise

$$a - b = \sqrt{1 + C},$$

weswegen auch

$$a - c = \sqrt{1 + A} + \sqrt{1 + C}$$

ist. Zieht man die Summe der Quadrate dieser drei Resultate von

$$3(a^2 + b^2 + c^2) = 3$$

ab, so ergibt sich

$$a^2 + b^2 + c^2 + 2ab + 2ac + 2bc =$$

$$= - (1 + 2A + 2C) - 2\sqrt{(1+A)(1+C)},$$

mithin

$$a + b + c = \sqrt{- (1 + 2A + 2C) - 2\sqrt{(1+A)(1+C)}}.$$

Nun unterliegt die Bestimmung von a, b, c keiner Schwierigkeit. Man findet

$$a = \frac{1}{3}\sqrt{1+A} + \frac{2}{3}\sqrt{1+C}$$

$$+ \frac{1}{3}\sqrt{- (1 + 2A + 2C) - 2\sqrt{(1+A)(1+C)}},$$

$$b = \frac{1}{3}\sqrt{1+A} - \frac{1}{3}\sqrt{1+C}$$

$$+ \frac{1}{3}\sqrt{- (1 + 2A) + 2C - 2\sqrt{(1+A)(1+C)}},$$

$$c = - \frac{2}{3}\sqrt{1+A} - \frac{1}{3}\sqrt{1+C},$$

$$+ \frac{1}{3}\sqrt{- (1 + 2A + 2C) - 2\sqrt{(1+A)(1+C)}},$$

und hiedurch sind auch die Werthe von B, A_1, B_1, C_1, A_2 , etc. bekannt.

3. Fall. Es seyen die in den vierflächigen Ecken des Tetrakontaoktaeders sich vereinigenden Kanten, welchen die Cosinuse B, C zugehören, gegeben.

Die zur Rechnung nöthigen Gleichungen sind:

$$a^2 + b^2 - c^2 = - B,$$

$$2ab + c^2 = - C,$$

$$a^2 + b^2 + c^2 = 1.$$

Aus der ersten und dritten folgt

$$c = \sqrt{\frac{1+B}{2}},$$

und aus der zweiten und dritten

$$a - b = \sqrt{1+C},$$

daher ist

$$2ab = - C - c^2 = - C - \left(\frac{1+B}{2}\right),$$

mithin

$$a + b = \sqrt{(a - b)^2 + 4ab} = \sqrt{-B - C},$$

woraus man

$$a = \frac{1}{2} (\sqrt{-B - C} + \sqrt{1 + C}),$$

$$b = \frac{1}{2} (\sqrt{-B - C} - \sqrt{1 + C})$$

erhält.

9.

Zweite Aufgabe. Aus zwei Kanten eines dreikantigen Tetragonal-Ikositetraeders die dritte Kante dieser Gestalt und die Kanten aller übrigen mit ihr in Verbindung stehenden Gestalten zu bestimmen.

Auflösung. 1. Fall. Es seyen die beiden Kanten gegeben, welche jedes der zweikantigen vierflächigen Ecke mit den benachbarten dreikantigen verbinden, und deren Cosinuse wir, die 3^{te} Figur des Grundrisses der Mineral. vor Augen habend, A_2 und B_2 nannten.

Die Gleichungen, aus welchen die Werthe von a , b , c erhalten werden, sind jetzt

$$a^2 + b^2 - c^2 = -A_2,$$

$$a^2 - b^2 + c^2 = -B_2,$$

$$a^2 + b^2 + c^2 = 1,$$

welche sogleich

$$a = \sqrt{\frac{-A_2 - B_2}{2}}, \quad b = \sqrt{\frac{1 + B_2}{2}}, \quad c = \sqrt{\frac{1 + A_2}{2}}$$

geben, so daß der weiteren Berechnung der zu suchenden Gröfsen nichts mehr im Wege steht. Insbesondere findet man wegen $C_2 = -(ab + ac + bc)$

$$C_2 = -\frac{1}{2} \sqrt{-(A_2 + B_2)(1 + A_2)} - \frac{1}{2} \sqrt{-(A_2 + B_2)(1 + B_2)} - \frac{1}{2} \sqrt{(1 + A_2)(1 + B_2)}.$$

2. Fall. Es seyen die Kanten, welche sich in einem der dreikantigen Ecke vereinigen, z. B. diejenigen, deren Cosinuse C_2 und A_2 sind, gegeben.

Hier kommen die Gleichungen

$$a^2 + b^2 - c^2 = -A_2,$$

$$ab + ac + bc = -C_2,$$

$$a^2 + b^2 + c^2 = 1$$

in Betrachtung. Man erhält aus denselben

$$c = \sqrt{\frac{1 + A_2}{2}}$$

und $a + b + c = \sqrt{1 - 2C_2}$, mithin

$$a^2 + b^2 = \frac{1 - A_2}{2}$$

$$\text{und } a + b = \sqrt{1 - 2C_2} - \sqrt{\frac{1 + A_2}{2}},$$

woraus weiterhin

$$a - b = \sqrt{2(a^2 + b^2) - (a + b)^2}$$

$$= \sqrt{2C_2 - \left(\frac{1 + 3A_2}{2}\right) + 2\sqrt{\left(\frac{1 + A_2}{2}\right)(1 - 2C_2)},}$$

folglich

$$a = \frac{1}{2}\sqrt{1 - 2C_2} - \frac{1}{2}\sqrt{\frac{1 + A_2}{2}}$$

$$+ \frac{1}{2}\sqrt{2C_2 - \left(\frac{1 + 3A_2}{2}\right) + 2\sqrt{\left(\frac{1 + A_2}{2}\right)(1 - 2C_2)}}$$

und

$$b = \frac{1}{2}\sqrt{1 - 2C_2} - \frac{1}{2}\sqrt{\frac{1 + A_2}{2}}$$

$$- \frac{1}{2}\sqrt{2C_2 - \left(\frac{1 + 3A_2}{2}\right) + 2\sqrt{\left(\frac{1 + A_2}{2}\right)(1 - 2C_2)}}$$

erhalten wird.

Wäre statt der Kante, worauf sich A_2 bezieht, jene, welcher der Cosinus B_2 zugehört, und die offenbar kleiner ist als die erstere, gegeben worden, so hätte

$$a^2 - b^2 + c^2 = -B_2 \text{ statt } a^2 + b^2 - c^2 = -A_2$$

unter die drei Gleichungen, von welchen die Rechnung ausging, aufgenommen werden müssen, woraus sich

$$\begin{aligned}
 a &= \frac{1}{2} \sqrt{1 - 2C_2} - \frac{1}{2} \sqrt{\frac{1+B_2}{2}} \\
 &+ \frac{1}{2} \sqrt{2C_2 - \left(\frac{1+3B_2}{2}\right)} + 2 \sqrt{\left(\frac{1+B_2}{2}\right)(1-2C_2)}, \\
 b &= \sqrt{\frac{1+B_2}{2}}, \\
 c &= \frac{1}{2} \sqrt{1 - 2C_2} - \frac{1}{2} \sqrt{\frac{1+B_2}{2}} \\
 &- \frac{1}{2} \sqrt{2C_2 - \left(\frac{1+3B_2}{2}\right)} + 2 \sqrt{\left(\frac{1+B_2}{2}\right)(1-2C_2)}
 \end{aligned}$$

ergeben hätte.

10.

Die Gleichungen, welche für die Kanten der übrigen einfachen Gestalten des tessularischen Krystallsystemes gelten, lassen sich leicht aus den bereits gefundenen ableiten.

Ein Tetrakontaoktaëder verwandelt sich nämlich *erstlich* in ein *hexaëdrisches Trigonal-Ikositetraëder* (vergl. die 35^{ste} Figur im Grundr. d. M. mit der 28^{sten}), wenn die Kanten, welche die achtflächigen Ecke mit den vierflächigen verbinden, die Gröfse zweier rechter Winkel erreichen, oder was dasselbe heifst, wenn je zwei der in diesen Kanten sich begegnenden Flächen in eine Ebene zu liegen kommen. In diesem Falle wird in den Gleichungen (3) $B = -1$, mithin

$$a^2 + b^2 - c^2 = 1 = a^2 + b + c^2,$$

$$\text{also } c = 0.$$

Nennt man nun den Cosinus der Kante, welche die sechsflächigen Ecke des hexaëdrischen Trigonal-Ikositetraëders mit einander verbindet, in Übereinstimmung mit der 28^{sten} Fig. des Grundr. A' , und den Cosinus der anderen Kante B' , so sind A' , B' die Werthe, welche

die in (3) gebrauchten Cosinusse C , A für $c = 0$ erhalten. Man hat daher

$$(8) \quad A' = -2ab; \quad B' = -a^2, \quad \text{wobei } a^2 + b^2 = 1 \text{ ist.}$$

Zweitens geht ein Tetrakontaoktaëder in ein *oktaëdrisches Trigonal-Ikositetraëder* über, wenn die Kanten, welche die sechslächigen Ecke mit den vierflächigen vereinigen, 180° gleich werden (vergl. die 35^{ste} Figur des Grundr. d. M. mit der 29^{sten}). In diesem Falle verwandelt sich C in -1 , d. h. es wird

$$2ab + c^2 = 1 = a^2 + b^2 + c^2, \quad \text{also} \\ a^2 - 2ab + b^2 = 0, \quad \text{d. ist } a - b = 0, \quad \text{oder } a = b.$$

Es sey A'' der Cosinus jeder Kante, welche von einem achtflächigen Ecke des oktaëdrischen Trigonal-Ikositetraëders zum andern geht, und B'' der Cosinus der zweiten an dieser Gestalt noch vorkommenden Kante, so sind A'' , B'' die Werthe, deren die Cosinusse B , A für $a = b$ theilhaftig werden, folglich ist

$$(9) \quad A'' = -(2a^2 - c^2); \quad B'' = -(a^2 + 2ac); \\ 2a^2 + c^2 = 1.$$

Drittens nimmt ein Tetrakontaoktaëder die Gestalt eines *zweikantigen Tetragonal-Ikositetraëders* an, wenn die zwischen den achtflächigen und den sechslächigen Ecken befindlichen Kanten die Größe von 180° erlangen (vergl. die 35^{ste} Figur d. Grundr. d. M. mit der 30^{sten}). In Bezug auf diesen Fall ist $A = -1$ zu setzen, daher wird

$$a^2 + 2bc = 1 = a^2 + b^2 + c^2,$$

$$\text{folglich } (b - c)^2 = 0, \quad \text{d. h. } b = c.$$

Es sey A''' der Cosinus jeder Kante, welche von einem pyramidalen Ecke eines zweikantigen Tetragonal-Ikositetraëders ausgeht, und B''' der Cosinus jeder anderen Kante, so sind A''' , B''' die Werthe, welche

B, C für $b = c$ annehmen. Es ist also

$$(10) \quad A''' = -a^2; \quad B''' = -(2ab + b^2); \quad a^2 + 2b^2 = 1.$$

Nimmt man mit einem Tetrakontaoktaëder die erste und zweite der hier beschriebenen Veränderungen zugleich vor, so verwandelt sich dasselbe *viertens* in das *einkantige Tetragonal-Dodekaëder*. Der Cosinus der Kante desselben ergibt sich aus der Formel $A = -(a^2 + 2bc)$, wenn man daselbst $c = 0$ und $a = b$, also wegen $a^2 + b^2 + c^2 = 1$, $a^2 = \frac{1}{2}$ setzt. Es gehört demnach jede Kante dieser Gestalt zu dem Cosinus $-\frac{1}{2}$, d. h. sie beträgt 120° .

Das gleichzeitige Eintreten der ersten und dritten Veränderung staltet ein Tetrakontaoktaëder *funftens* in das *Hexaëder* um. Der Cosinus der Kanten dieser Gestalt folgt aus $C = -(2ab + c^2)$ für $c = 0$ und $b = c$, d. h. dieser Cosinus ist $= 0$, wie es seyn muß.

Bei dem Zusammenbestehen der zweiten und dritten Veränderung bietet jedes Tetrakontaoktaëder *sechstens* das *Oktaëder* dar. Um den Cosinus seiner Kanten zu erhalten, muß man in $B = -(a^2 + b^2 - c^2)$, $a = b = c$ annehmen. Hiedurch wird $B = -a^2$; allein es ist $a^2 + b^2 + c^2 = 1$, also $3a^2 = 1$, mithin der verlangte Cosinus $= -\frac{1}{3}$, welchem der Winkel $109^\circ 28' 16''$ entspricht.

11.

Es ist nunmehr nichts weiter übrig, als die Hälften dieser Gestalten zu betrachten.

Da jedes hexaëdrische Trigonal-Ikositetraëder als ein besonderer Fall eines Tetrakontaoktaëders für $a^2 + b^2 - c^2 = 1$ betrachtet werden kann, so wird man auch die Hälfte eines hexaëdrischen Trigonal-Ikositetraëders erhalten, wenn man an irgend einer Hälfte des Tetrakontaoktaëders dieselbe Voraussetzung macht.

Allein hiezu wird erfordert, daß eine Kante dieser letzteren Hälfte $= -(a^2 + b^2 - c^2)$ sey, was, wie die in 7. gegebenen Gleichungen lehren, nur bei dem dreikantigen Tetragonal-Ikositetraëder der Fall ist; es geht daher jedes dreikantige Tetragonal-Ikositetraëder, dadurch, daß die stumpferen der an den pyramidalen Ecken liegenden Kanten (welche in der 31^{sten} Figur des Grundr. d. M. den Buchstaben A an sich tragen) $= 180^\circ$ werden, in die Hälfte eines hexaëdrischen Trigonal-Ikositetraëders über. Hiedurch entsteht offenbar ein *hexaëdrisches Pentagonal-Dodekaëder* (Grundr. d. M. Fig. 20). Nennt man nun den Cosinus der charakteristischen Kante dieser Gestalt A' , und den Cosinus der anderen Kanten B' , so gehen, für $c = c$, B_2 und C_2 in A' und B' über. Man hat also

$$(11) \quad A' = -(a^2 - b^2); \quad B' = -ab; \quad a^2 + b^2 = 1.$$

Daß hier a und b genau dieselbe Bedeutung haben, wie in den Gleichungen (8), bedarf kaum einer Erwähnung.

Das oktaëdrische Trigonal-Ikositetraëder geht aus dem Tetrakontaoktaëder hervor, wenn die auf letztere Gestalt sich beziehenden Cosinusse a, b, c der Gleichung $2ab + c^2 = 1$ Genüge leisten. Eine Hälfte des Tetrakontaoktaëders, an welcher eine dem Cosinus $-(2ab + c^2)$ entsprechende Kante vorkommt, verwandelt sich also durch die so modificirten Werthe von a, b, c in die Hälfte eines oktaëdrischen Trigonal-Ikositetraëders. Die Kante von der erwähnten Beschaffenheit befindet sich, wie die in 7. entwickelten Gleichungen zeigen, nur an dem tetraëdrischen Trigonal-Ikositetraëder, und verbindet die rhomboëdrischen Ecke desselben. Fallen die durch diese Kante begrenzten Flächen genannter Gestalt in eine Ebene, so entsteht (vergl. Fig. 26 im Grundr. d. M. mit Fig. 18) ein *zweikantiges Tetragonal-Dodekaëder*. Es sey A'' der Cosinus jeder der aus den spitze-

ren, und B'' der Cosinus jeder der aus den stumpferen Ecken des zweikantigen Tetragonal-Dodekaäders ausgehenden Kanten, so sind A'' , B'' die Werthe, welche A_1 und C_1 in den Gleichungen (4) für $a=b$ erhalten. Dem zu Folge ist

$$(12) \quad A'' = -(a^2 - 2ac); \quad B'' = -(a^2 + 2ac); \\ 2a^2 + c^2 = 1,$$

wobei a und c dieselben Werthe besitzen, wie in den Gleichungen (9).

Die Hälfte des zweikantigen Tetragonal-Ikositeträders kann gleichfalls nur aus dem tetraëdrischen Trigonal-Ikositeträder gebildet werden, an welchem allein die Kante des Tetrakontaoktaäders, deren Cosinus bei der Umbildung dieser Gestalt in ein zweikantiges Tetragonal-Ikositeträder $= -1$ werden muß, vorkommt. Diese Kante, auf welche sich in den Gleichungen (4) C_1 bezieht, ist, wie eben diese Gleichungen zeigen, die stumpfere unter den beiden, in den vierflächigen Ecken des tetraëdrischen Trigonal-Ikositeträders zusammenlaufenden. Nimmt dieselbe die Gröfse zweier rechter Winkel an, so hat man (vergl. Fig. 26 im Grund. d. M. mit Fig. 15) ein *Trigonal-Dodekaäder* vor sich. Stellen die Symbole A''' und B''' die Werthe vor, welche A_1 und B_1 für $b=c$ erlangen, so finden die Gleichungen

$$(13) \quad A''' = -(a^2 - 2b^2); \quad B''' = -(2ab + b^2); \\ a^2 + 2b^2 = 1$$

Statt, in welchen a und b dieselben Werthe haben, wie in den Gleichungen (10).

Die Kanten, welche bei dem Übergange eines Tetrakontaoktaäders in das einkantige Tetragonal-Dodekaäder oder in das Hexaäder geebnet werden, kommen an keiner der Hälften des Tetrakontaoktaäders zugleich vor, wohl aber die Kanten, welche bei der Verwandlung des

Tetrakontaoktaeders in ein Oktaeder = 180° werden. Sie befinden sich an dem tetraëdrischen Trigonal-Ikositetraeder, welches für die mit erwähnter Verwandlung verbundene Annahme $a=b=c$ die Gestalt des Tetraeders annimmt. Den Cosinus der Kanten des letztern gibt die erste der Gleichungen (4) $= -(a^2 - 2a^2) = a^2 = \frac{1}{3}$.

Wie aus den Gleichungen (7) zu ersehen ist, erscheint keine der Kanten eines Tetrakontaoktaeders an seinen Vierteln; mithin kann auch keine der in 10. betrachteten Gestalten noch weiter zerlegt werden.

12.

Es ist nun ein Leichtes, die Gleichungen zwischen den Kanten der in 10. und 11. betrachteten einfachen tessularischen Gestalten darzustellen.

I. Für jedes hexaëdrische Trigonal-Ikositetraeder und das darin enthaltene hexaëdrische Pentagonal-Dodekaeder findet man mittelst der Gleichungen (8) und (11)

$$\begin{aligned}
 a &= \frac{1}{2} (\sqrt{1-A'} + \sqrt{1+A'}) = \sqrt{-B'} \\
 &= \sqrt{\frac{1-A'}{2}} = \frac{1}{2} (\sqrt{1-2B'} + \sqrt{1+2B'}), \\
 b &= \frac{1}{2} (\sqrt{1-A'} - \sqrt{1+A'}) = \sqrt{1+B'} \\
 &= \sqrt{\frac{1+A'}{2}} = \frac{1}{2} (\sqrt{1-2B'} - \sqrt{1+2B'}), \\
 A' &= -2\sqrt{-B'(1+B')} = -\sqrt{1-(A')^2} = 2B', \\
 B' &= -\frac{1}{2}(1 + \sqrt{1-(A')^2}) = -\left(\frac{1-A'}{2}\right) \\
 &= -\frac{1}{2}(1 + \sqrt{1-4(B')^2}), \\
 A'_1 &= -\sqrt{1-(A')^2} = 1 + 2B' = -\sqrt{1-4(B')^2}, \\
 B'_1 &= \frac{1}{2} A' = -\sqrt{-B'(1+B')} = -\frac{1}{2}\sqrt{1-(A')^2}.
 \end{aligned}$$

Diese Formeln lassen sich für die Fälle, in welchen A' , B' , A'_1 , B'_1 nicht als einfache rationale Brüche gegeben sind, zur Rechnung bequemer einrichten, wenn

man

$$A' = \cos. \alpha, \quad B' = \cos. \beta, \quad A'_1 = \cos. \alpha', \quad B'_1 = \cos. \beta'$$

setzt, und dieselben mit Hülfe der bekannten Eigenschaften der Kreisfunctionen transformirt. Hiedurch wird z. B.

$$a = \cos. \left(\frac{\alpha}{2} - 45^\circ \right) = \sin. \frac{1}{2} \alpha',$$

$$b = - \cos. \left(\frac{\alpha}{2} + 45^\circ \right) = \cos. \frac{1}{2} \alpha' = \sqrt{2} \cdot \cos. \frac{1}{2} \beta,$$

$$\alpha + \alpha' = 270^\circ, \text{ u. d. gl.}$$

II. Die Gleichungen (9) und (12) geben für die oktaëdrischen Trigonal-Ikositetraëder und die in denselben enthaltenen zweikantigen Tetragonal-Dodekaëder

$$a = \frac{1}{2} \sqrt{1 - A''} = \frac{1}{3} (\sqrt{1 - 2B''} + \sqrt{1 + B''})$$

$$= \frac{1}{3} (\sqrt{1 + A''_1} + \sqrt{1 - A''_1}) = \frac{1}{3} (\sqrt{1 - 2B''_1} + \sqrt{1 + B''_1}),$$

$$c = \sqrt{\frac{1 + A''}{2}} = \frac{1}{3} (\sqrt{1 - 2B''} - 2\sqrt{1 + B''})$$

$$= \frac{1}{3} (\sqrt{1 + A''_1} - 2\sqrt{1 - A''_1}) = \frac{1}{3} (\sqrt{1 - 2B''_1} - 2\sqrt{1 + B''_1}),$$

mittelst welcher Ausdrücke sich jeder der Cosinuse A'' , B'' , A''_1 , B''_1 aus jedem der übrigen, den Gleichungen (9) und (12) gemäß, bestimmen läßt.

III. Endlich findet man aus den Gleichungen (10) und (13) für die zweikantigen Tetragonal-Ikositetraëder und die in denselben enthaltenen Trigonal-Dodekaëder

$$a = \sqrt{-A'''} = \frac{1}{3} (\sqrt{1 - 2B'''} + 2\sqrt{1 + B'''})$$

$$= \sqrt{\frac{1 - A'''_1}{2}} = \frac{1}{3} (\sqrt{1 - 2B'''_1} + 2\sqrt{1 + B'''_1}),$$

$$b = \sqrt{\frac{1 + A'''}{2}} = \frac{1}{3} (\sqrt{1 - 2B'''} - \sqrt{1 + B'''})$$

$$= \frac{1}{3} \sqrt{1 + A'''_1} = \frac{1}{3} (\sqrt{1 - 2B'''_1} - \sqrt{1 + B'''_1}),$$

welche Ausdrücke die Berechnung jeder der Gröfsen A''' , B''' , A'''_1 , B'''_1 aus jeder der übrigen dieser Gröfsen vermitteln.

Ehe ich den Gegenstand dieses Aufsatzes verlasse, will ich, zur Verdeutlichung des in 7. Gesagten, noch zeigen, wie man mittelst der in 4. erklärten Bezeichnung der Grenzflächen eines Tetrakontaoktaeders die Flächen, welche zu einer beliebigen Hälfte oder zu einem Viertel desselben gehören, den im §. 128 des Grundrisses der Mineralogie erklärten Verfahrungsarten der Zerlegung einer einfachen tessularischen Gestalt gemäß, ohne Hülfe einer Abbildung der in der Frage stehenden Gestalt, angeben kann.

Das Zeichen, welches in 4. zur Darstellung jeder Grenzfläche eines Tetrakontaoktaeders angenommen wurde, besteht aus den Zeichen der drei Eckpunkte dieser Grenzfläche, wovon stets der eine in ein pyramidales, der zweite in ein rhomboëdrisches, der dritte in ein prismatisches Eck des Tetrakontaoktaeders fällt. Eine leichte Überlegung, welche ich hier füglich bei Seite setzen kann, lehrt, daß der Buchstabe, welcher das pyramidale Eck einer Grenzfläche der genannten Gestalt anzeigt, nothwendig unter den beiden Buchstaben vorkommt, welche das Zeichen des prismatischen Eckes bilden, und daß diese zwei Buchstaben wiederum in dem (aus drei Buchstaben bestehenden) Zeichen des rhomboëdrischen Eckes dieser Grenzfläche erscheinen müssen; ferner daß in dem Zeichen einer solchen Grenzfläche nie die, entgegengesetzte Beziehungen ausdrückenden, Buchstaben *O* und *U*, und eben so wenig *V* und *H*, oder *R* und *L* zugleich enthalten seyn können.

Wenn die Zeichen zweier Grenzflächen eines Tetrakontaoktaeders sich dadurch von einander unterscheiden, daß in dem einen *O* und in dem anderen *U*, oder in dem einen *V* und in dem anderen *H*, oder in dem einen *R* und in dem anderen *L* vorkommt, so kann man

in Bezug auf jeden dieser drei Fälle, für sich betrachtet, sagen, es herrsche in den Zeichen beider Flächen ein *Gegensatz*, und hiedurch erklärt sich von selbst die Redensart: »in den Zeichen zweier Flächen finde eine gerade oder eine ungerade Anzahl von Gegensätzen Statt.«

Man stelle die Buchstaben, durch welche die rhomboëdrischen Ecke eines Tetrakontaoktaëders in den Zeichen seiner Grenzflächen angedeutet werden, in eine bestimmte Ordnung, z. B. so, daß *O* oder *U* stets den ersten, *V* oder *H* den zweiten, *R* oder *L* den dritten Platz erhält, und betrachte die Gruppe dieser drei Buchstaben als eine in sich selbst zurückkehrende Periode, so daß der erste und der dritte Buchstabe als benachbarte gelten, oder jener wieder auf diesen folgt.

Man sehe ferner in dem Symbole jeder einzelnen Fläche des vorliegenden Tetrakontaoktaëders darauf, ob in dem Zeichen des prismatischen Eckes der mit dem Zeichen des pyramidalen Eckes gleichnamige Buchstabe auf den neben ihm stehenden, der so eben festgesetzten Ordnung gemäß, unmittelbar folgt, oder, ob dieser jenem unmittelbar vorangeht. Die Zeichen zweier Flächen, welche in diesem Punkte mit einander übereinkommen, mögen *gleichartige*, und diejenigen, bei welchen das Gegentheil obwaltet, mögen *ungleichartige* heißen.

In den Zeichen (*O, OVL, OL*) und (*H, OHR, HR*) findet also eine gerade Anzahl von Gegensätzen Statt, und sie sind zugleich ungleichartig.

Dies vorausgesetzt, gelten zum Behufe der Zerlegung eines Tetrakontaoktaëders nachstehende Bestimmungen:

- a) Wird irgend ein rhomboëdrisches Eck eines Tetrakontaoktaëders als *Hauptpunct* gewählt (Grundriß d. Mineral. §. 128), so entstehen die Zeichen der

übrigen Hauptpunkte aus dem Zeichen des ersten durch eine gerade, und die Zeichen der Nebenpunkte durch eine ungerade Anzahl von Gegensätzen.

- β) Die Zeichen der abwechselnden Flächen, unter jenen, welche ein rhomboëdrisches Eck eines Tetrakontaoktaëders umgeben, sind gleichartig, die Zeichen zweier unmittelbar auf einander folgenden Flächen aber ungleichartig.
- γ) Die Zeichen zweier paralleler Flächen eines Tetrakontaoktaëders sind gleichartig (und bei denselben zeigen sich drei Gegensätze).
- δ) Wenn bei der Zerlegung eines Tetrakontaoktaëders die abwechselnden Flächen an einem Hauptpunkte vergrößert werden, so muß dies an den übrigen Hauptpunkten mit jenen Flächen geschehen, welche mit ersteren gleichartig sind.

Bringt man das hier Gesagte hinsichtlich jedes der drei im §. 128 des Grundr. d. M. beschriebenen Verfahren der Zerlegung in gehörige Anwendung, und verbindet man hiemit zugleich den Inhalt der §§. 133 und 134, so ergibt sich die Schlußfolge:

- I. daß sämtliche Flächen eines Tetrakontaoktaëders, an deren Zeichen, je zwei mit einander verglichen, eine gerade Anzahl von Gegensätzen erscheint, ein tetraëdrisches Trigonal-Ikositetraëder;
- II. daß sämtliche Flächen, deren Zeichen gleichartig sind, ein dreikantiges Tetragonal-Ikositetraëder;
- III. daß sämtliche Flächen, deren Zeichen paarweise verglichen gleichartig und mit einer geraden Anzahl von Gegensätzen versehen sind, in Verbindung mit sämtlichen Flächen, welche den ersteren gegenüber gestellt, ungleichartige und eine ungerade An-

zahl von Gegensätzen darbietende Zeichen besitzen, ein Pentagonal-Ikositetraeder; endlich

IV. das sämtliche Flächen mit gleichartigen und eine gerade Anzahl von Gegensätzen darstellenden Zeichen ein tetraëdrisches Pentagonal-Dodekaeder begrenzen.

Hiernach ist es nun sehr leicht, aus dem Zeichen irgend einer Tetrakontaoktaederfläche die Zeichen der übrigen Flächen derselben Gestalt abzuleiten, welche mit ersterer Fläche zugleich an einer beliebigen Hälfte oder an einem Viertel dieses Tetrakontaoktaeders vorkommen, und diejenigen unter diesen Flächen anzugeben, welche dabei als Nachbarflächen der ersteren erscheinen.

Z u s a t z ,

die Berechnung des Verhältnisses je zweier linearen Abmessungen einer einfachen tessularischen Gestalt aus zwei gegebenen Kanten derselben betreffend.

Hat man die Cosinuse der Winkel, welche das aus dem Mittelpuncte einer einfachen tessularischen Gestalt auf eine ihrer Grenzflächen fallende Perpendikel mit den Haupttheilen der drei Axen bildet, durch Functionen von höchstens zwei Kanten dieser Gestalt ausgedrückt, so gelangt man auch ohne Mühe zur Kenntniß des Verhältnisses, in welchem jede zwei beliebige lineare Abmessungen derselben zu einander stehen.

Denn sind a' , b' , c' die irgend einem solchen Perpendikel entsprechenden Cosinuse, und ist p die für alle Grenzflächen einer einfachen tessularischen Gestalt gleiche Länge dieses Perpendikels; nimmt man ferner die Axen der Gestalt für die Axen der Coordinaten x ,

y, z an, so stellt

$$a'x + b'y + c'z = p$$

die Gleichung der Grenzfläche der Gestalt vor, auf welche sich dieses Perpendikel bezieht, wobei a', b', c' die bisher durchgehends gebrauchten Werthe $\pm a, \pm b, \pm c$ in der dieser Grenzfläche correspondirenden Ordnung und mit den gehörigen Zeichen besitzen.

Durch schickliche Verbindung der Gleichungen mehrerer Grenzflächen erhält man also, den bekannten Vorschriften der analytischen Geometrie gemäß, die Gleichungen der Kantenlinien, die Coordinaten ihrer Durchschnittspuncte, die Längen der Kantenlinien, die Längen der verschiedenen rhomboëdrischen, pyramidalen, prismatischen oder hemiprismatischen Axen u. d. gl. sämmtlich durch a, b, c und p ausgedrückt. In die gefundenen Ausdrücke kann man nun statt a, b, c die zur Bestimmung des Verhältnisses der Abmessungen der Gestalt nöthigen und als gegeben vorausgesetzten Kanten, und statt p die Länge jeder beliebigen linearen Dimension einführen.

So sind, zum Beispiel, die Gleichungen der Flächen $(V, OVR, OV), (V, OVR, VR), (V, OVL, OV), (O, OVR, OV)$ eines Tetrakontaoktaëders:

$$bx + ay + cz = p,$$

$$cx + ay + bz = p,$$

$$bx + ay - cz = p,$$

$$ax + by + cz = p.$$

Die drei ersten Flächen schneiden sich, wie aus ihren Zeichen erhellet, in dem Puncte V . Läßt man ihre Gleichungen zusammen bestehen, und sucht man die denselben zugleich Genüge leistenden Werthe von x, y, z , so findet man

für den Punct V : $x = 0, z = 0, y = \frac{p}{a}$.

Der hier für γ gefundene Werth gibt zugleich die Länge der halben pyramidalen Axe des Tetrakontaoktaëders an.

Nennt man dieselbe P , so hat man also $P = \frac{p}{a}$.

Die erste, zweite und vierte der genannten Flächen schneiden einander im Punkte OVR . Die Coordinaten dieses Punktes sind also

$$x = \gamma = z = \frac{p}{a + b + c}.$$

Hieraus folgt für die Länge der halben rhomboëdrischen Axe des Tetrakontaoktaëders, welche R heiße, wegen $R^2 = x^2 + \gamma^2 + z^2$ der Ausdruck

$$R = \frac{p\sqrt{3}}{a + b + c}.$$

Die erste, dritte und vierte obiger Flächen durchschneiden sich im Punkte OV . Die Coordinaten desselben sind also

$$z = \sigma, \quad x = y = \frac{p}{a + b},$$

und deshalb ist die Länge der halben prismatischen Axe des Tetrakontaoktaëders

$$Q = \frac{p\sqrt{2}}{a + b}.$$

Nimmt man $P = 1$ an, so ergibt sich $p = a$, mithin

$$R = \frac{a\sqrt{3}}{a + b + c}, \quad Q = \frac{a\sqrt{2}}{a + b},$$

wobei man für a, b, c die in 8. gefundenen Ausdrücke zu setzen hat.

Bezeichnet man die Längen der Kantenlinien des Tetrakontaoktaëders dadurch, daß man die Zeichen der Ecke, welche dieselben verbinden, neben einander schreibt, so hat man, weil überhaupt das Quadrat der Distanz zweier Punkte der Summe der Quadrate der Differenzen der gleichnamigen Coordinaten dieser Punkte gleich kommt:

$$(V, OVR) = \frac{p\sqrt{1+a^2+2bc}}{a(a+b+c)},$$

$$(V, OV) = \frac{p\sqrt{a^2+b^2}}{a(a+b)},$$

$$(OVR, OV) = \frac{p\sqrt{1+2ab+c^2}}{(a+b)(a+b+c)}.$$

Auf ähnliche Weise wird die Rechnung auch für die übrigen Gestalten geführt.

Die Formel, welche oben für die Länge der halben rhomboëdrischen Axe des Tetrakontaoktaëders gefunden wurde, kann, vorausgesetzt, daß man die Hälfte der pyramidalen, oder, wo diese fehlen, der ihre Stelle vertretenden prismatischen Axen für die Einheit ansieht, geradezu auf alle Gestalten angewendet werden, bei deren Ursprung aus dem Tetrakontaoktaëder sämtliche rhomboëdrische Ecke dieser Gestalt die Endpunkte der rhomboëdrischen Ecke der neuen Gestalt darbieten; also auf alle einfache tessularische Gestalten, die tetraëdrischen Trigonal-Ikositetraëder und die daraus hervorgehenden Gestalten ausgenommen. Bei diesen werden die rhomboëdrischen Axen durch den Mittelpunkt der Gestalt in ungleiche Theile getheilt. Für den kleineren dieser Theile gilt der oben gefundene Ausdruck

$$R = \frac{a\sqrt{3}}{a+b+c}.$$

Den Werth R' des anderen Theiles erhält man, wenn man die Coordinaten des Durchschnittspunctes der Tetrakontaoktaëderflächen

(V, OVR, OV) , (V, UVL, VL) , (O, OVR, OV) berechnet, und mittelst derselben den Abstand dieses Punctes vom Mittelpuncte bestimmt. Die erwähnten Coordinaten sind, wie die Gleichungen dieser Flächen, nämlich

$$\begin{aligned} bx + ay + cz &= p, \\ -cx + ay - bz &= p, \\ ax + by + cz &= p \end{aligned}$$

lehren:

$$x = y = \frac{p}{a + b - c}; \quad z = -\frac{p}{a + b - c};$$

$$\text{daher ist } R' = \frac{a\sqrt{3}}{a + b - c}.$$

Denkt man sich um ein in der in 4. gewählten Stellung befindliches Tetrakontaoktaëder ein Hexaëder beschrieben, dessen pyramidale Axen mit jenen des Tetrakontaoktaëders der Lage und Länge nach übereinstimmen, und wünscht man, *zum Behufe der Ableitung des Tetrakontaoktaëders aus dem Hexaëder*, die Stücke m und n zu kennen, welche die Erweiterung der Fläche (O, OVR, OV) (worauf sich die Cosinusse a, b, c beziehen) von den Obertheilen der rechten und linken verticalen Seite der Vorderfläche des Hexaëders abschneidet, so setze man in der Gleichung der Ebene (O, OVR, OV) , nämlich in

$$ax + by + cz = p,$$

ein Mal $y = z = \frac{1}{2}h$, und das andere Mal $y = \frac{1}{2}h$, $z = -\frac{1}{2}h$, wobei h die Seite des Hexaëders vorstellt. Man findet, wenn man die hiedurch sich ergebenden Werthe von x , der Unterscheidung willen, x' und x'' nennt, für die erste Substitution

$$x' = \frac{p - (b + c) \cdot \frac{1}{2}h}{a}$$

und für die zweite

$$x'' = \frac{p - (b - c) \cdot \frac{1}{2}h}{a}.$$

Aber, wie man leicht sieht, ist $\frac{1}{2}h = \frac{p}{a}$ und

$$m = \frac{1}{2}h - x', \quad n = \frac{1}{2}h - x'',$$

mithin hat man

$$m = \frac{(b + c) \cdot \frac{1}{2} h}{a}, \quad n = \frac{(b - c) \cdot \frac{1}{2} h}{a}.$$

Setzt man an die Stelle des Tetrakontaoktaeders ein hexaëdrisches Trigonal-Ikositetraeder, so wird $c = 0$. Es ist also in diesem Falle

$$m = n = \frac{b}{2a} \cdot h.$$

Läfst man das Tetrakontaoktaeder in ein oktaëdrisches Trigonal-Ikositetraeder übergehen, so wird $a = b$, folglich

$$m = \left(1 + \frac{c}{a}\right) \frac{1}{2} h, \quad n = \left(1 - \frac{c}{a}\right) \frac{1}{2} h,$$

und daher $m + n = h$.

Verwandelt sich das Tetrakontaoktaeder in ein zweikantiges Tetragonal-Ikositetraeder, so wird $b = c$, mithin

$$m = \frac{b}{a} \cdot h, \quad n = 0.$$

Für das einkantige Tetragonal-Dodekaeder muß, wie aus dem in 11. Gesagten hervorgeht, insbesondere

$$m = n = \frac{1}{2} h,$$

für das Hexaeder

$$m = n = 0,$$

und für das Oktaeder

$$m = h, \quad n = 0 \text{ seyn.}$$

Diese Resultate können zur Erläuterung der §§. 120 — 127 des Grundrisses der Mineralogie dienen.

II.

Allgemeine Untersuchungen über die Eigenschaften der Punkte des Raumes in Bezug auf die Hauptmomente der Kräfte;

von

Franz Xaver Moth.

(B e s c h l u s s.)

IV. Kürzester Abstand der Hauptachse eines Punctes vom Durchmesser. Alle Hauptachsen der Punkte einer Cylinderfläche, deren Achse der Durchmesser ist, liegen in den Berührungsebenen.

19. Wenn die Gleichungen zweier Geraden sind:

$$\left. \begin{aligned} y &= ax + b; \\ z &= a_1x + b_1; \end{aligned} \right\} \text{ und } \left\{ \begin{aligned} y &= \alpha x + \beta; \\ z &= \alpha_1x + \beta_1; \end{aligned} \right.$$

dann hat man für den kürzesten Abstand R dieser zwei Geraden von einander, den Ausdruck:

$$R = \frac{(a - \alpha)(b - \beta) - (a_1 - \alpha_1)(b_1 - \beta_1)}{\sqrt{[(a - \alpha)^2 + (a_1 - \alpha_1)^2 + (a\alpha - a_1\alpha_1)^2]}}$$

Wenden wir nun diesen allgemeinen Ausdruck auf den Fall an, wo die eine Gerade die Hauptachse eines Punctes, und die andere der Durchmesser des Systemes ist.

In diesem Falle hat man:

$$a = \frac{B}{A}; \quad a_1 = \frac{C}{A}; \quad \alpha = \frac{B}{A}; \quad \alpha_1 = \frac{C}{A}; \quad b = \frac{Z}{A}; \quad b_1 = \frac{-Y}{A};$$

$$\beta = \left(\frac{Ay_1 - Bx_1}{A} \right); \quad \beta_1 = \left(\frac{Az_1 - Cx_1}{A} \right).$$

Setzt man diese Werthe in den Ausdruck für R ; so wird man nach einigen Reductionen desselben haben:

$$R = - \left[\frac{C, \cdot (b, - \beta,) + B, \cdot (b - \beta)}{K,} \right] = \frac{D + (C, \beta' + B, \beta)}{K,}$$

oder

$$R = \left[\frac{D + (A, x, + B, y, + C, z,)}{K,} \right] = \left(\frac{D + u,}{K,} \right).$$

Setzt man für D und u , ihre Werthe aus den Gleichungen (11), (22); so hat man :

$$R = \left[\frac{\mathfrak{K}^2 + \mathfrak{K}^2 \cdot v, + \mathfrak{K}^2 \cdot (K^2 - \mathfrak{B}^2 - v,)}{\mathfrak{K}^2 \cdot K,} \right].$$

Die Reduction dieses Ausdruckes gibt also gleich :

$$R = \left[\frac{\mathfrak{K}^2 + \mathfrak{K}^2 \cdot K^2 - \mathfrak{K}^2 \cdot \mathfrak{B}^2}{\mathfrak{K}^2 \cdot K,} \right] = \left(\frac{\mathfrak{K}^2 \cdot K^2 - \mathfrak{D}^2}{\mathfrak{K}^2 \cdot K,} \right) = \frac{K,}{\mathfrak{K}^2};$$

und endlich

$$R = \frac{\sqrt{\mathfrak{K}^2 \cdot K^2 - \mathfrak{D}^2}}{\mathfrak{K}^2} = \frac{1}{\mathfrak{K}} \cdot \sqrt{\left(K^2 - \frac{\mathfrak{D}^2}{\mathfrak{K}^2} \right)}.$$

Dieses ist genau der nämliche Ausdruck, den wir oben Nro. 13 für den Abstand des Punctes $(x, y, z,)$ vom Durchmesser gefunden haben. Hieraus schliessen wir also, daß die Hauptachse in derjenigen Ebene liegen müsse, welche durch diesen Punct senkrecht auf R gelegt wird. Diese Ebene ist aber eine die krumme Oberfläche des Cylinders berührende, und zwar geschieht die Berührung in den unendlich vielen Puncten einer zum Durchmesser parallelen Geraden.

Vereinigt man mit diesem Resultate das in Nro. 11 erhaltene; so geht hieraus hervor, daß alle Hauptachsen der Puncte einer und derselben Cylinderfläche, deren Achse der Durchmesser des Systemes ist, in den Berührungsebenen gegen die Berührungslinie stets einerlei Neigung behalten, und daß diese Neigung mit dem Halbmesser des Cylinders wachse.

20. Daß die Hauptachsen der Puncte einer Cylinderfläche in die Berührungsebenen fallen, läßt sich noch auf folgende sehr einfache Art zeigen.

Die Gleichungen des Lothes, das vom Punkte (x, y, z) auf den Durchmesser des Systemes herabgelassen wird, sind bekanntlich:

$$\left. \begin{aligned} y - y_1 &= \left(\frac{y_0 - y_1}{x_0 - x_1} \right) \cdot (x - x_1); \\ z - z_1 &= \left(\frac{z_0 - z_1}{x_0 - x_1} \right) \cdot (x - x_1); \end{aligned} \right\}$$

worin x_0, y_0, z_0 die Coordinaten des Durchschnittspunctes dieses Lothes mit dem Durchmesser sind, und die obigen Werthe Nro. 13 haben. Setzt man diese Werthe in jene zwei Gleichungen, so erhält man auf der Stelle die folgenden:

$$\left. \begin{aligned} y - y_1 &= \frac{B_1}{A_1} (x - x_1); \\ z - z_1 &= \frac{C_1}{A_1} (x - x_1); \end{aligned} \right\} \dots (1)$$

Dieses vorausgesetzt, wird nun der Ausdruck für den Cosinus des Winkels, den die Hauptachse des Punctes (x, y, z) mit diesem Lothe macht, seyn

$$\left(\frac{AA_1 + BB_1 + CC_1}{K \cdot K_1} \right).$$

Da nun der Zähler dieses Ausdruckes verschwindet; so folgt hieraus, daß die Hauptachse dieses Punctes auf dem Lothe R , oder auf seiner Entfernung vom Durchmesser senkrecht stehe, oder daß sie in die Berührungsebene des Cylinders falle. Man kann diesen Satz auch allgemein so ausdrücken: Alle Hauptachsen sind berührende Linien der krummen Cylinderfläche. Die Gleichung der Berührungsebene ist:

$$A_1 \cdot (x - x_1) + B_1 \cdot (y - y_1) + C_1 \cdot (z - z_1) = 0 \quad (2)$$

In der That leisten ihr die Werthe der Coordinaten der Hauptachse dieses Punctes (x, y, z) für jeden Werth von x , Genüge, indem sich dieselbe, nachdem man

$$y - y_1 = \frac{B}{A} \cdot (x - x_1); \quad z - z_1 = \frac{C}{A} \cdot (x - x_1)$$

in ihr substituirt hat, auf die identische Gleichung

$$AA_1 + BB_1 + CC_1 = 0$$

reduzirt.

Man kann hier noch bemerken, daß die Gleichungen der Geraden, in welcher sich die Ebene und Cylinderfläche berühren, und die zum Durchmesser parallel ist, folglich seyn werden:

$$\left. \begin{aligned} y - y_1 &= \frac{B}{A} \cdot (x - x_1); \\ z - z_1 &= \frac{C}{A} \cdot (x - x_1); \end{aligned} \right\} \dots (3)$$

Nennt man die Gerade l , und bezeichnet die Hauptachse mit H ; so wird der Winkel $(H . l)$ für alle Lagen der berührenden Ebene derselben Cylinderfläche beständig bleiben, und nur mit der Entfernung der Ebene von dem ihr parallelen Durchmesser wachsen.

21. Wir wollen die Gleichung der Ebene entwickeln, in welcher die Hauptachse H und das Loth R liegt.

Es sey

$L \cdot (x - x_0) + M \cdot (y - y_0) + N \cdot (z - z_0) = 0$
ihre Gleichung. Da sie durch die Hauptachse H gehen soll; so hat man die Bedingungsgleichung:

$$A \cdot L + B \cdot M + C \cdot N = 0.$$

Wegen der Bedingung, daß sie auch durch R gehen soll; hat man ferner:

$$A_1 \cdot L + B_1 \cdot M + C_1 \cdot N = 0.$$

Die Vereinigung dieser beiden Gleichungen gibt nachstehende für LMN annehmbare Werthe:

$$\begin{aligned} L &= BC_1 - C_1 B = \mathfrak{X}_0; & M &= CA_1 - A_1 C = \mathfrak{Y}_0; \\ N &= AB_1 - B_1 A = \mathfrak{Z}_0; \end{aligned}$$

demnach ist

$$x_0 \cdot (x - x_0) + y_0 \cdot (y - y_0) + z_0 \cdot (z - z_0) = 0 \dots (1)$$

die gesuchte Gleichung der Ebene (*HR*).

Der Durchschnitt dieser Ebene mit der krummen Oberfläche des Cylinders gibt *eine Ellipse*, deren Gleichungen aus der Gleichung (1) der schneidenden Ebene (*HR*) und der der Cylinderfläche, für welche man hat:

$$R \cdot R = \sqrt{\left(K^2 - \frac{D^2}{R^2}\right)}, \text{ zu entwickeln sind.}$$

Bezeichnet man den Punct (x_0, y_0, z_0) des Durchmessers mit *I*, und zieht durch ihn eine zur Hauptachse parallele Gerade *IU*; so sind ihre Gleichungen:

$$y - y_0 = \frac{B}{A} (x - x_0); \quad z - z_0 = \frac{C}{A} (x - x_0) \dots (2)$$

Denkt man sich durch den Punct *I* senkrecht auf die Ebene der Geraden *R* und *IU* eine Gerade *IV* gezogen; so sind ihre Gleichungen;

$$y - y_0 = \frac{y_0}{x_0} (x - x_0); \quad z - z_0 = \frac{z_0}{x_0} (x - x_0) \dots (3)$$

22. Um die Gleichung dieser Ellipse in der einfachsten Gestalt zu erhalten, denke man sich den Anfangspunct der Coordinaten in den Punct (x_0, y_0, z_0) oder *I* übertragen, und die Puncte des Raumes gegen die drei auf einander senkrecht stehenden Geraden *IU, IR, IV*, welche man als ein neues System coordinirter Achsen betrachten kann, bezogen. Es seyen nun x, y, z die Coordinaten irgend eines Punctes *M'* gegen das ursprüngliche Achsensystem bezogen, gegen welches x_0, y_0, z_0 die Coordinaten des Punctes *I* sind; und x', y', z' seyen die Coordinaten desselben Punctes *M'* in Bezug auf den Anfangspunct *I* und die Achsen *IU, IR* und *IV*. In Rücksicht auf diese letztern Coordinaten sind x, y, z , und x_0, y_0, z_0 als unveränderliche Größen zu betrachten.

Dieses vorausgesetzt, hat man nun folgende Ausdrücke:

$$\left. \begin{aligned} x &= x_0 + \frac{A \cdot x_0}{K} + \frac{A_1 \cdot y_0'}{K_1} + \frac{x_0 \cdot z_0'}{\mathfrak{B}_0}; \\ y &= y_0 + \frac{B \cdot x_0}{K} + \frac{B_1 \cdot y_0'}{K_1} + \frac{y_0 \cdot z_0'}{\mathfrak{B}_0}; \\ z &= z_0 + \frac{C \cdot x_0}{K} + \frac{C_1 \cdot y_0'}{K_1} + \frac{z_0 \cdot z_0'}{\mathfrak{B}_0}. \end{aligned} \right\}$$

Die Gleichung der schneidenden Ebene wird nun seyn $z'_0 = 0$; und in dieser Beziehung hat man für jeden Punkt dieser Ebene:

$$\left. \begin{aligned} A &= \frac{\mathfrak{A} \cdot \mathfrak{D}}{\mathfrak{K}^2} - \frac{A_1}{K_1} \cdot x'_0 - \frac{A_0}{K_1} \cdot y'_0; \\ B &= \frac{\mathfrak{B} \cdot \mathfrak{D}}{\mathfrak{K}^2} - \frac{B_1}{K_1} \cdot x'_0 - \frac{B_0}{K_1} \cdot y'_0; \\ C &= \frac{\mathfrak{C} \cdot \mathfrak{D}}{\mathfrak{K}^2} - \frac{C_1}{K_1} \cdot x'_0 - \frac{C_0}{K_1} \cdot y'_0. \end{aligned} \right\}$$

Setzt man diese Werthe von $A B C$ in die Gleichung:

$$K^2 = A^2 + B^2 + C^2;$$

so wird man nach einigen Reductionen, und mit Benützung der Gleichungen in den Systemen (30), (33), (28) erhalten:

$$K^2 = \frac{\mathfrak{D}^2}{\mathfrak{K}^2} + \left(\frac{K_1^2}{K^2} \cdot x_0'^2 + \mathfrak{K}^2 \cdot y_0'^2 \right);$$

oder wegen $\left(K^2 - \frac{\mathfrak{D}^2}{\mathfrak{K}^2} \right) = \mathfrak{K}^2 \cdot R^2$:

$$y_0'^2 = \left[R^2 - \frac{K_1^2}{\mathfrak{K}^2 \cdot K^2} \cdot x_0'^2 \right].$$

Wir schliessen aus dieser Gleichung *der Ellipse*, daß die halbe kleine Achse derselben = R oder IS sey, und daß der Werth der großen halben Achse gleich sey

$\left[\frac{\mathfrak{K} \cdot K \cdot R}{K_1} \right]$. Der Abstand ihres Brennpunctes vom Punkte I (Excentricität) ist = $\left[\frac{\mathfrak{D} \cdot R}{K_1} \right]$.

V. Untersuchungen über die Hauptmomente und über die Lagen der Hauptachsen in einigen besonderen Fällen.

23. Die aus den bisherigen Untersuchungen gewonnenen Resultate über die Momente der Kräfte sind ganz allgemein, welches auch immer die Beschaffenheit dieser Kräfte, und der Ausdehnung des Systemes materieller Punkte, woran sie wirken, seyn mag. Es gibt aber einige besondere Fälle, in welchen diese allgemeinen Resultate modificirt werden, und die wir hier noch in Betrachtung ziehen wollen. Es sind dieß diejenigen, in welchen $\mathfrak{D} = 0$ ist, und von welchen wir schon oben angemerkt haben, daß für sie das kleinste Hauptmoment $= 0$ sey *), und daß in jedem andern Punkte das Hauptmoment $K = \mathfrak{R} \cdot R$, und folglich dem Abstände dieses Punktes vom Durchmesser proportional sey; daß endlich in diesem Falle alle am Systeme angebrachten Kräfte durch eine einzige ersetzt werden können.

Unter den Fällen, in welchen $\mathfrak{D} = 0$, führe ich als die merkwürdigsten folgende zwei an:

Erster Fall. Wenn $\mathfrak{A} = 0$, $\mathfrak{B} = 0$, $\mathfrak{C} = 0$; dann ist $A = \mathfrak{X}$, $B = \mathfrak{Y}$, $C = \mathfrak{Z}$, $K = \sqrt{(\mathfrak{X}^2 + \mathfrak{Y}^2 + \mathfrak{Z}^2)} = \mathfrak{B}$; hieraus folgt also, weil im Ausdrücke für K die Coordinaten x, y, z , des Punktes S wegfallen, daß die Hauptmomente für alle Punkte des Raumes beständig, und der Größe \mathfrak{B} gleich seyen.

Da ferner $\frac{\mathfrak{B}}{\mathfrak{A}} = \frac{\mathfrak{Y}}{\mathfrak{X}}$; $\frac{\mathfrak{C}}{\mathfrak{A}} = \frac{\mathfrak{Z}}{\mathfrak{X}}$; und da auch, wegen $X = 0$, $Y = 0$, $Z = 0$; so sind die Gleichungen des Durchmessers:

$$y = \frac{\mathfrak{Y}}{\mathfrak{X}} \cdot x; \quad z = \frac{\mathfrak{Z}}{\mathfrak{X}} \cdot x;$$

*) Einen einzigen Fall ausgenommen, von welchem sogleich die Rede seyn wird.

welche wegen $\frac{B}{A} = \frac{\mathcal{Y}}{\mathcal{X}}$, $\frac{C}{A} = \frac{\mathcal{Z}}{\mathcal{X}}$ zugleich die der Hauptachsen sind; hieraus folgt weiter, daß alle Hauptachsen einander parallel, und die Cosinuse der Winkel, welche sie mit den coordinirten Achsen machen, gleich $\frac{\mathcal{X}}{\mathcal{A}}$, $\frac{\mathcal{Y}}{\mathcal{A}}$, $\frac{\mathcal{Z}}{\mathcal{A}}$ sind.

Zweiter Fall. Wenn $\mathcal{X} = 0$, $\mathcal{Y} = 0$, $\mathcal{Z} = 0$, in welchem Falle die GröÙe \mathcal{D} auch verschwindet, und das kleinste Hauptmoment $\left(\frac{\mathcal{D}}{\mathcal{X}}\right)$ ebenfalls gleich Null wird; dann ist:

$$A = (\mathcal{C} \cdot y_1 - \mathcal{B} \cdot z_1); \quad B = (\mathcal{A} \cdot z_1 - \mathcal{C} \cdot x_1);$$

$$C = (\mathcal{B} \cdot x_1 - \mathcal{A} \cdot y_1);$$

$$\text{und } X = 0; \quad Y = 0; \quad Z = 0.$$

Die Gleichungen des Durchmessers sind daher:

$$y = \frac{\mathcal{B}}{\mathcal{A}} \cdot x; \quad z = \frac{\mathcal{C}}{\mathcal{A}} \cdot x;$$

und geht also durch den Anfangspunct der Coordinaten.

24. Wenn beide Fälle zu gleicher Zeit Statt finden, d. i., wenn nicht nur $\mathcal{X} = 0$, $\mathcal{B} = 0$, $\mathcal{C} = 0$; sondern auch $\mathcal{X} = 0$, $\mathcal{Y} = 0$, $\mathcal{Z} = 0$; dann ist $A = 0$, $B = 0$, $C = 0$, und nicht nur das Hauptmoment, sondern auch jedes andere Moment verschwindet, welches auch immer die Lage der Achse, auf die man das Moment bezieht, seyn mag. Man sagt in diesem Falle, daß alle Kräfte am Systeme im Gleichgewichte sind. In der That sind jene *sechs* Gleichungen, welche die Beschaffenheit des Systemes und der an ihm wirksamen Kräfte enthalten, die Bedingungsgleichungen *des Gleichgewichtes der Kräfte* am Systeme.

Man kann auf dieselben Resultate direct dadurch geleitet werden, daß man die Orte der Puncte sucht, in welchen K verschwindet. Denn da $K^2 = A^2 + B^2 + C^2$;

so kann diese Gröfse nicht anders gleich Null werden, als wenn $A=0$, $B=0$, $C=0$ wird. Wenn aus diesen Gleichungen die Gröfsen x, y, z eliminirt werden; so wird man die Gleichung $\mathfrak{D}=0$ erhalten. Dann wird, wenn diese letzte Bedingungsgleichung erfüllt wird, von jenen drei Gleichungen eine jede die Folge der beiden andern seyn. Alle diese Punkte liegen sonach im Durchmesser selbst. Soll K für jeden Punct (x, y, z) verschwinden; so müssen nicht nur $\mathfrak{X}=0$, $\mathfrak{Y}=0$, $\mathfrak{Z}=0$, sondern auch die Coefficienten der Coordinaten $\mathfrak{A} \mathfrak{B} \mathfrak{C}$ gleich Null seyn.

25. Wir wollen jetzt noch die Fälle betrachten, da zwei der Gröfsen $A B C$ verschwinden, und es sey zuerst $B=0$, $C=0$. Das Hauptmoment reducirt sich in diesen Punkten auf A ; diese Punkte selbst aber liegen in einer zum Durchmesser parallelen Geraden, deren Gleichungen seyn werden:

$$y, = \frac{\mathfrak{B}}{\mathfrak{A}} x, + \frac{\mathfrak{B}}{\mathfrak{A}}; \quad z, = \frac{\mathfrak{C}}{\mathfrak{A}} x, - \frac{\mathfrak{C}}{\mathfrak{A}};$$

die Gröfse des Hauptmomentes ist in diesen Punkten selbst $= \frac{\mathfrak{D}}{\mathfrak{A}}$. Der Halbmesser des Cylinders, worauf sich diese

Gerade befindet, ist ferner $= \frac{\mathfrak{D} \cdot \sqrt{(\mathfrak{B}^2 + \mathfrak{C}^2)}}{\mathfrak{K}^2 \cdot \mathfrak{A}}$. Da fer-

ner $\cos. \eta = \frac{\mathfrak{A}}{\mathfrak{K}}$ gefunden wird; so folgt hieraus, daß

der Winkel η , den die Hauptachse der Punkte der in Rede stehenden Geraden mit dem Durchmesser macht, eben derselbe sey, als jener, den der Durchmesser mit der Achse der x bildet.

Für die Punkte der Geraden, deren Gleichungen $A=0$, $C=0$ sind, hat man eben so als Hauptmoment

den Ausdruck $\frac{\mathfrak{D}}{\mathfrak{B}}$, und der Halbmesser des Cylinders ist $\frac{\mathfrak{D} \cdot \sqrt{(\mathfrak{A}^2 + \mathfrak{C}^2)}}{\mathfrak{K}^2 \cdot \mathfrak{B}}$. Ihre Hauptachsen sind gegen den Durch-

messer eben so stark geneigt, als dieser gegen die Achse y . Für die Gerade endlich, deren Gleichungen $A = 0$, $B = 0$ sind, und die auf einem Cylinder vom Durchmesser $\frac{D \cdot \sqrt{A^2 + B^2}}{R^2 \cdot C}$ liegt, hat man als Hauptmoment $\frac{D}{C}$.

26. Betrachten wir die Relation

$$X + C \cdot y, - B \cdot z, = 0,$$

d. i. $A = 0$, als die Gleichung einer Ebene, welche auf der coordinirten Ebene yz senkrecht steht, und zum Durchmesser parallel ist; so wird für jeden Punkt dieser Ebene der Werth des Hauptmomentes seyn:

$$K = \frac{1}{B} \sqrt{[(D - C \cdot (B + C \cdot x, - A \cdot y,))]^2 + B^2 \cdot (B + B \cdot x, - A \cdot y,)}.$$

Um die Punkte dieser Ebene zu bestimmen, in welchen das Hauptmoment am kleinsten wird, hat man die beiden Coordinaten aus den Gleichungen

$$\left(\frac{dK}{dx,}\right) = 0, \quad \left(\frac{dK}{dy,}\right) = 0$$

zu suchen. Jede von ihnen gibt aber die Gleichung

$$C \cdot B = B \cdot C \quad \text{oder}$$

$$(B + B \cdot x, - A \cdot y,) = \left(\frac{C \cdot D}{B^2 + C^2}\right)$$

$$\text{und } (D - C \cdot x, + A \cdot z,) = \frac{B \cdot D}{B^2 + C^2};$$

der Werth des Hauptmomentes ist also in diesem Falle

$\frac{D}{\sqrt{B^2 + C^2}}$; und der Halbmesser des Cylinders, worauf

diese Gerade liegt, ist $\frac{A \cdot D}{R^2 \cdot \sqrt{B^2 + C^2}}$. Diese Gerade ist

offenbar die Berührungslinie der in Rede stehenden Ebene mit der Cylinderfläche.

Für die Projection des Durchmessers in der Ebene, deren Gleichung $D + A \cdot z, - C \cdot x, = 0$ ist, findet man

eben so als das größte Hauptmoment: $\frac{\mathfrak{D}}{\sqrt{(\mathfrak{A}^2 + \mathfrak{C}^2)}}$; so wie endlich in allen Puncten der Projection des Durchmessers in der Ebene, deren Gleichung

$$\mathfrak{B} + \mathfrak{B} \cdot x, - \mathfrak{A} \cdot y, = 0$$

ist, das Hauptmoment den Werth $\frac{\mathfrak{D}}{\sqrt{(\mathfrak{A}^2 + \mathfrak{B}^2)}}$ hat.

VI. Allgemeine Gleichungen der von den beweglichen Hauptachsen der Puncte gegebener Linien erzeugten Flächen.

27. In der Theorie der Momente der Kräfte verdient noch eine ganz besondere Classe von Aufgaben, welche sich gleichsam von selbst zur Betrachtung darbieten, unsere Aufmerksamkeit. Es ist nämlich von Interesse, die krummen Flächen kennen zu lernen, welche die beweglichen Hauptachsen der Puncte gegebener Linien beschreiben. Ich werde nun in Kürze die allgemeine Auflösung dieses Problems und einiger ähnlicher gehen, und eine Anwendung davon in einigen besondern Fällen machen. Dieser schicke ich aber noch Folgendes voraus.

Nennt man die Coordinaten was immer für eines in der Richtung der Hauptachse liegenden Punctes M wie gewöhnlich $x y z$; so sind

$$A \cdot (y - y_1) = B \cdot (x - x_1); \quad A \cdot (z - z_1) = C \cdot (x - x_1) \quad (1)$$

die Gleichungen der Hauptachse des Punctes (x_1, y_1, z_1) .

Aus diesen Gleichungen lassen sich noch andere ableiten, welche man für sie gebrauchen kann, und die in gewissen Fällen nützliche Dienste leisten; daher ich sie hier noch entwickeln will.

Setzt man, um abzukürzen,

$$(\mathfrak{A} \cdot x + \mathfrak{B} \cdot y + \mathfrak{C} \cdot z) = e;$$

so gibt die erste der Gleichungen (1):

$$\left(\frac{x \cdot y - y \cdot x}{\mathfrak{G}}\right) + (xx_1 + yy_1 + zz_1 - r^2) = \\ = + z_1 \cdot \left(\frac{e - v}{\mathfrak{G}}\right) + \left(\frac{x \cdot y_1 + y \cdot x_1}{\mathfrak{G}}\right);$$

und die andere liefert die Gleichung:

$$\left(\frac{x \cdot z - z \cdot x}{\mathfrak{B}}\right) - (xx_1 + yy_1 + zz_1 - r^2) = \\ = - y_1 \cdot \left(\frac{e - v}{\mathfrak{B}}\right) + \left(\frac{x \cdot z_1 - z \cdot x_1}{\mathfrak{B}}\right).$$

Verbindet man diese zwei Gleichungen; so ergibt sich daraus nach einigen einfachen Reductionen:

$$A \cdot (e - v) = \mathfrak{D} \cdot (x - x_1) \dots (2)$$

Neben dieser hat man noch die zwei ähnlichen:

$$B \cdot (e - v) = \mathfrak{D} \cdot (y - y_1); \quad C \cdot (e - v) = \mathfrak{D} \cdot (z - z_1) \dots (3)$$

Nennt man Δ den Abstand des Punctes $(x \ y \ z)$ von $(x_1 \ y_1 \ z_1)$; so hat man, durch Verbindung dieser drei Gleichungen:

$$K \cdot (e - v) = \mathfrak{D} \cdot \Delta.$$

Jene drei Gleichungen lassen sich daher auch noch so schreiben:

$$A \cdot \Delta = K \cdot (x - x_1); \quad B \cdot \Delta = K \cdot (y - y_1);$$

$$C \cdot \Delta = K \cdot (z - z_1).$$

Bezeichnet man die Hauptachse mit H , und die Winkel, so sie mit den coordinirten Achsen bildet, mit $(H \cdot x)$, $(H \cdot y)$, $(H \cdot z)$; so ist

$$A = K \cdot \cos.(H \cdot x); \quad B = K \cdot \cos.(H \cdot y);$$

$$C = K \cdot \cos.(H \cdot z).$$

Diese sind die bekannten Gleichungen, welche den Satz enthalten, daß $A \ B \ C$ die Zerlegungen des Hauptmomentes K nach den coordinirten Achsen $x \ y \ z$ sind.

28. Wir wollen nun die Gleichungen (1) des vorigen Art. unter der folgenden Form darstellen:

$$\left. \begin{aligned} y_1 &= f(x, y, z, x_1); \\ z_1 &= F(x, y, z, x_1); \end{aligned} \right\} \quad (1)$$

Diese Gleichungen bestimmen für jeden Punct $(x y z)$ des Raumes diejenige krumme Linie, in welcher die Puncte (x, y_1, z_1) liegen, deren Hauptachsen alle durch jenen Punct $(x y z)$ gehen.

Wenn daher $y_1 = \varphi(x_1)$; $z_1 = \psi(x_1)$ die Gleichungen irgend einer krummen Linie sind; so braucht man nur aus den zwei Gleichungen

$$\left. \begin{aligned} f(x, y, z, x_1) &= \varphi(x_1); \\ F(x, y, z, x_1) &= \psi(x_1); \end{aligned} \right\} \quad (2)$$

die Gröfse x_1 zu eliminiren, um die Gleichung der Fläche zu erhalten, welche die Hauptachsen der Puncte (x, y_1, z_1) der gegebenen Curve beschreiben.

29. Wenn der Punct M (oder $x y z$) auf der beweglichen Hauptachse stets denselben Abstand vom Puncte S (oder $x_1 y_1 z_1$) behalten soll, den wir Δ nennen wollen; so findet man die Gleichungen der krummen Linie, welche der Punct M beschreibt, während die Hauptachse die verschiedenen Puncte einer gegebenen krummen Linie durchläuft, wenn man aus den Gleichungen (1) und der Bedingungsgleichung

$$(x - x_1)^2 + (y - y_1)^2 + (z - z_1)^2 = \Delta^2 \quad (3)$$

die Gröfßen y_1, z_1 eliminirt, wodurch man eine Gleichung zwischen $x y z$ und x_1 erhält, diese Gleichung mit den Gleichungen (2) verbindet, und endlich aus ihnen die Gröfse x_1 wegschafft.

Anstatt der Bedingungsgleichung (3) können noch andere gegeben seyn, wie z. B. diese, daß die Hauptachse stets eine Tangente an der krummen Linie, wozu

$x y z$ gehören, oder eine Normale an ihr u. s. w. seyn soll. Wie nun auch immer die Bedingung beschaffen seyn mag, stets wird sich dieselbe durch eine Gleichung ausdrücken lassen, deren Verbindung mit den übrigen bekannten Gleichungen zu denen der gesuchten krummen Linie hinführt.

30. Befinden sich die Punkte (x, y, z) auf einer gegebenen krummen Fläche, und fragt man nach den Orten der entsprechenden Punkte $(x' y' z')$, welche einerlei Abstand auf der Hauptachse vom Punkte (x, y, z) haben; so wird die allgemeine Auflösung dieses Problems im Folgenden bestehen.

Es sey

$$\Phi(x, y, z) = 0 \quad (1)$$

die Gleichung der krummen Fläche, auf welcher sich die Punkte S befinden sollen; mit dieser verbinde man die Gleichungen:

$$\left. \begin{aligned} y' &= f(x, y, z, x'); \\ z' &= F(x, y, z, x'). \end{aligned} \right\} \quad (2)$$

Die Werthe von x, y, z , aus diesen drei Gleichungen setze man noch in die Bedingungsgleichung:

$$(x - x')^2 + (y - y')^2 + (z - z')^2 = \Delta^2; \quad (3)$$

so wird die resultirende Relation zwischen $x y z$ die Gleichung der gesuchten krummen Fläche seyn.

Diese allgemeinen Betrachtungen geben Stoff zu sehr interessanten Untersuchungen, welche ich hier abbrechen, indem ich mich in ein größeres Detail nicht einlassen kann, und mich begnüge, im Allgemeinen bloß den Weg gezeigt zu haben, wie Probleme dieser Gattung aufgelöst werden.

III.

Über die Erschütterung, welche Thiere in dem Momente erleiden, als sie aufhören den Verbindungsbogen zwischen den Polen eines Electromotors zu bilden, und über eine andere physiologische Wirkung der Electricität;

von

S t. M a r i a n i n i,

Professor der Physik am Lyceum zu Venedig.

(In italienischer Sprache vom Hrn. Verfasser mitgetheilt, und übersetzt von Dr. C. Hock.)

Bei Wiederholung der Grundversuche, durch die *Volta* das passive Verhalten eines Frosches bei jenen Zuckungen bewies, in die er geräth, wenn er als Verbindungsbogen zweier ungleichartiger sich berührender Metalle dient, hat man oft bemerkt, daß die Zuckungen in dem Momente sich wiederholen, in welchem der Frosch aus der Verbindung gebracht wird. *Volta* und *Fowler* haben zuerst auf dieß Phänomen aufmerksam gemacht; es ward in der Folge von *Valli*, von mehreren Commissären der Pariser Academie der Wissenschaften, von *Ruthfort* und *Pjaff* gesehen, welcher letzterer diesen Umstand als einen wichtigen Einwurf gegen *Galvani's* sogenannte thierische Electricität betrachtete *). Eine Erklärung dieses Phänomens gab *Volta*; aber es scheint, dieser große Mann habe es nur eines flüchtigen Gedankens gewürdigt. Er spricht darüber nur im

*) S. *Histoire de Galvanisme*, par P. Sucs d. ältere. Erster Theil, p. 22, 35, 144, 213.

Vorübergehen in einer Note zum §. 49 seiner berühmten Denkschrift über die Identität des electricischen und galvanischen Fluidums, und zwar folgender Massen: »Eine solche Zuckung tritt nur beim ersten Andrang des electricischen Fluidums ein, manchmal auch in dem Momente, wo der leitende Kreis unterbrochen und dadurch ein solcher Strom plötzlich aufgehalten oder vielmehr durch das plötzlich eintretende Hindernifs umgekehrt wird, wie man sich leicht vorstellen kann *).« Diese Erklärung ward auch von andern Naturforschern angenommen, wie man aus dem §. 80 der vortrefflichen Denkschrift des Prof. *Configliacchi* (vom Jahre 1814) über die Identität des electricischen Fluidums mit dem sogenannten galvanischen ersieht.

Ich konnte nicht begreifen, wie durch eine Unterbrechung der Kette ein Umkehren des electricischen Stromes veranlaßt werden kann, und da mir daher diese Erscheinung äußerst sonderbar schien; nahm ich mir vor, sie auf dem Erfahrungswege näher zu prüfen: Aber die Meinungen der großen Naturforscher, auch wenn sie nur das Resultat einer kurzen Überlegung zu seyn scheinen, verdienen gründliche Würdigung; ehe man sie verläßt; und ich unterwarf daher vor allem die Meinung *Volta's* einer gründlichen Prüfung, die ich auch hier mittheile, ehe ich die Auseinandersetzung meiner eigenen Arbeit beginne.

I. Es unterliegt keinem Zweifel, daß nicht bei jeder Unterbrechung der Kette eine Zuckung in dem als Verbindungsbogen dienenden Thiere eintritt; allein unausgemittelt ist es, ob in solchen Fällen das Ausbleiben der Zuckungen durch den Nichteintritt der Ursache, die sie erzeugt, oder durch den Nichteintritt jener äußern

*) *Annali di Chimica del Brugnatelli.* 21ster Th. p. 199.

Umstände verursacht wird, die zum Gelingen des Versuches nothwendig sind. Über diesen Punct machte ich folgende Versuche:

Ein Frosch wurde so präparirt, daß nur der Rumpf und die untern Extremitäten übrig blieben, das Rückenmark zerstört, und er mit dem einen Beine in ein Glas Wasser, mit dem zweiten in ein anderes gestellt, dann in das eine Glas eine Kupfer-, in das andere eine Zinkplatte gelegt. Als die metallische Berührung zwischen den beiden Platten hergestellt war, zuckte der Frosch; und kaum hatten seine Zuckungen aufgehört, als ich die Platten trennte, und da fand eine neue, aber etwas schwächere Erschütterung Statt. Die Kette ward von neuem geschlossen und dann wieder geöffnet; es erfolgte dasselbe, und so oft ich auch das Schließen und Öffnen wiederholte, die Erscheinung blieb dieselbe. Doch wurden die Zuckungen beim Öffnen der Kette bei jedem neuen Versuche schwächer, und erschienen nach einiger Zeit gar nicht mehr. Ich legte dann den Frosch zwischen die Pole eines Electromotors mit vier Plattenpaaren, und die Zuckungen bei Öffnung der Kette erfolgten aufs neue; und auch hier wurden sie bei jedem neuen Versuche schwächer, und verloren sich endlich ganz. Aber nachdem ich vier neue Plattenpaare mit dem Electromotor verbunden hatte, erneuerten sich diese Zuckungen wieder. Ja sogar nach mehreren Stunden, in denen der Frosch den electricen Strömen ausgesetzt war, zeigte er doch eine schwache Muskelbewegung bei der Öffnung der Kette eines Apparats von vierzig Plattenpaaren.

Mit einem ähnlichen Apparate werden die bei Öffnung der Kette eintretenden Erschütterungen auch an unseren Fingern fühlbar, wenn man den einen in die Flüssigkeit taucht, wo sich die äußerste Kupferplatte,

den andern in die, wo sich die äußerste Zinkplatte befindet.

Diese Versuche, welche ich mit gleichem Erfolge mehrmal wiederholte, zeigen, dafs in der Unterbrechung des electricen Stromes die Grundursache des in Frage stehenden Phänomenes liegt, und dafs, wenn es unterbleibt, der Grund in der geringern Empfänglichkeit des Thieres für die electriche Erschütterung zu suchen ist.

II. Allein was geschieht mit dem electricen Strome, der die *Volta'sche Säule* durchkreist, wenn plötzlich die Verbindung zwischen den Polen aufgehoben wird? Es ist wahr, wir können uns denken, dafs durch das momentane Hindernis, auf welches er stofs, sein Lauf umgekehrt wird, wie eine Flüssigkeit in einem Canale rückwärts zu fliefsen anfängt, wenn eine plötzliche Hemmung eingetreten ist. Allein wenn wir die Sache nach den bisher angenommenen Principien zu erklären suchen, durch die *Volta* die wunderbare Wirkung seiner Electromotoren erklärte, können wir nicht so leicht die Überzeugung gewinnen, im Momente der Unterbrechung der Kette trete ein Rückflufs des electricen Stromes ein, und gar in solchem Grade, dafs er die thierischen Muskeln zu erschüttern vermag. Stellen wir in ein Glas mit Wasser eine Kupfer-, in ein anderes mit Wasser gefülltes Glas eine Zinkplatte, bringen die aus dem Wasser hervorragenden Theile der zwei Platten in Berührung, und ein präparirter Frosch, dessen untere Extremitäten in den beiden Gläsern stecken, schliesse die Kette. Nun können wir die Kette auf verschiedene Weise unterbrechen: 1) wenn wir die metallische Berührung der zwei Platten aufheben; 2) wenn wir eine Platte aus der Flüssigkeit herausziehen, aber ohne sie von der andern zu trennen; 3) wenn wir einen Fufs des Frosches aus der Flüssigkeit herausnehmen; 4) wenn wir beide

Füfse zu gleicher Zeit herausziehen, und wir wollen sehen, ob wir bei einer dieser Arten der Unterbrechung eine rückgängige Bewegung des electricischen Stromes gewahren können.

1. Wir können uns denken, dafs im Augenblicke der Berührung das Kupfer dem Zink Electricität mittheilt, welches diese an den flüssigen Leiter abgibt, durch den es wieder dem Kupfer zugeführt wird, so dafs das electricische Gleichgewicht sich wieder herstellt; aber da die Berührung fortdauert, theilt das Kupfer dem Zink von neuem eine gewisse Menge Electricität mit, die ihm auf demselben Wege wieder zurückerstattet wird, und diese Störungen und Wiederherstellungen des Gleichgewichtes folgen so rasch auf einander, dafs wir diesen Kreislauf des electricischen Fluidums für stätig halten. Heben wir nun die metallische Verbindung des Plattenpaares auf, so geschieht diefs in einem jener Augenblicke, wo das Gleichgewicht sich hergestellt hat, und dann kann von gar keiner fernern Bewegung der Electricität die Rede seyn; oder die Trennung der zwei Metalle geschieht in einem Augenblicke, wo eben eine Störung des Gleichgewichtes eingetreten ist; und da wird das Zink seinen Überschufs an Electricität an die Flüssigkeit abgeben, und diese Electricität wird durch den mineralischen Leiter in die Flüssigkeit des andern Glases übergehen, um dem Kupfer die verlorene Electricität zu ersetzen. Diefs heifst: Nach der Trennung der zwei Metalle dauert der electricische Strom noch eine sehr kurze Zeit fort, *aber in der vorigen Richtung.*

2. Heben wir eine, z. B. die Kupferplatte aus der Flüssigkeit, so geschieht diefs entweder, nachdem die Kupferplatte die gewohnte Menge Electricität dem Zinke schon mitgetheilt hat, oder in dem Augenblicke, in dem sie das Zink zu laden im Begriffe ist; im ersten Falle

hört im Momente der Unterbrechung jede electriche Strömung auf, und im zweiten ist die Electricität zwischen dem Zink, der Flüssigkeit und dem Frosche vertheilt, aber es kann durchaus kein Zurückströmen der Electricität Statt finden. Heben wir die Zinkplatte aus der Flüssigkeit, so hört auch in diesem Falle entweder alsogleich jeder electriche Strom auf, oder es folgt noch eine sehr schwache und momentane Bewegung *in der vorigen Richtung*, je nachdem die electriche Gleichgewichtsstörung schon eingetreten ist, oder eben eintreten soll.

3. Hebt man beide Platten aus den Gläsern, so ist ein einziger Fall denkbar, in dem ein Zurückströmen des electriche Fluidums Statt finden könnte, wann nämlich die Platten in dem Momente herausgezogen worden wären, in dem das in der Flüssigkeit vertheilte electriche Fluidum sich schon in dem Glase gesammelt hätte, worin das Kupfer stand, ohne jedoch dasselbe schon erreicht zu haben; denn da würde die angehäuften Electricität, da sie nicht mehr das Metall trifft, in das sie abfließen könnte, zum Theil zurückfließen, um sich in die Flüssigkeiten der beiden Gläser und den Frosch zu vertheilen. Allein hier muß man bedenken, daß die kleine Menge Electricität, welche vom Electromotor in der Flüssigkeit zurückgelassen wird, nicht hinreicht, die am Frosche beobachteten Zuckungen hervorzubringen; da es sogar eine ohne Vergleich größere Menge Electricität, wie die ein mit einem kleinen Funken des Electrophors geladener Körper hat, nicht vormag,

Wenn wir nach denselben Grundsätzen untersuchen, was bei Unterbrechung der Kette durch Herausziehen eines oder beider Füße des Frosches vorgeht, so sehen wir, daß auch hier kein electriche Strom in einer

Richtung eintreten kann, die der entgegengesetzt ist, welche der Strom vor Unterbrechung der Kette hatte.

Das hier in Bezug auf einen einfachen Electromotor Gesagte läßt sich gleichfalls auf einen zusammengesetzten anwenden. Wir sind daher zum Schlusse berechtigt, daß die Grundsätze, auf die *Volta* seine Theorie der Electromotoren baute, uns nicht gestatten, im Momente der Unterbrechung der Kette ein Zurückströmen der Electricität anzunehmen, das einen Frosch in Zuckungen versetzen könnte.

III. Sollen wir also berechtigt seyn, ungeachtet des Widerspruches der bisher gangbaren Theorie, in dem Momente, wo man die Verbindung zwischen den Polen der *Volta*'sehen Säule aufhebt, ein Zurückströmen der Electricität anzunehmen, so müssen andere Anzeigen als die erwähnten Zuckungen vorhanden seyn. Ich brachte daher die Zunge in einen von acht Plattenpaaren erregten Strom, aber nie empfand ich bei Unterbrechung der Kette auch nur im geringsten jenen eigenthümlichen Geschmack, den ein entgegengesetzter Strom hätte verursachen müssen. Ich habe in denselben Apparat einen Finger gebracht, der eine kleine Wunde hatte, aber jedes Mal, so oft ich die Kette unterbrach, hörte der brennende Schmerz, den ich erlitt, alsogleich auf, und nie empfand ich im Momente der Unterbrechung ein Steigen desselben. Die Lichtempfindung, die man hat, wenn der electriche Strom das Auge und die angrenzenden Theile durchstreicht, erneuerte sich zwar mit geringer Stärke, so oft man plötzlich die Kette unterbrach; allein eine solche Empfindung hängt bekanntlich nur von einer Bewegung im Auge selbst oder seinen benachbarten Theilen ab.

Ich habe auch einen Multiplicator der Einwirkung eines Becherapparats von zwanzig Plattenpaaren aus-

gesetzt, und als die Nadel vollkommen ruhig war (sie zeigte eine Abweichung von 8 Graden), die Kette unterbrochen; aber die Nadel fing in demselben Augenblicke an sich langsam dem magnetischen Meridiane zu nähern, ohne das geringste Anzeichen zu geben, sie habe im Momente der Unterbrechung des Umlaufes die Einwirkung eines entgegengesetzten Stromes empfunden. — Alles dies scheint mir zu beweisen, daß man im Momente der Unterbrechung der Kette keinen Strom bemerken könne, dessen Richtung dem vor Öffnung der Kette Statt gefundenen entgegengesetzt wäre.

IV. Was veranlaßt nun die in Frage stehenden Zuckungen? *Volta's* schon oft besprochene Annahme leitete mich auf die Untersuchung, ob denn die bei Unterbrechung der Kette Statt findenden Zuckungen wirklich jenen ähnlich sind, die in dem Thiere ein Strom hervorbrächte, welcher dem entgegengesetzt wäre, der vor Öffnung der Kette auf dasselbe wirkte. Und ein merkwürdiger Versuch, den wir dem Genius dieses großen Forschers verdanken, setzte mich in den Stand, diese Untersuchung, die mir am Anfange äußerst schwierig schien, mit einigem Glücke zu verfolgen.

Volta hat beobachtet, daß ein mittelst seiner Füße mit den Polen einer Säule in Verbindung stehender Frosch überhaupt binnen 25 bis 30 Minuten die Fähigkeit verliert, durch den Andrang des bisher bestehenden Stromes erschüttert zu werden; aber wohl kann er noch immer durch einen entgegengesetzten Strom erschüttert werden. Ich habe also einen ähnlichen Versuch gemacht, aber statt zu warten, daß der Frosch die Fähigkeit, durch den electricischen Strom erschüttert zu werden, ganz verliere, öffnete ich von Zeit zu Zeit die Kette, um sie gleich hernach von neuem zu schließen; und bemerkte durch mehrere Stunden, daß in dem Maße,

als die Erschütterungen beim Schliessen der Kette schwächer wurden, die beim Öffnen derselben stärker eintraten. Hieraus wird ersichtlich, dass die Unterbrechung des electricischen Stromes auf den Frosch eine ähnliche Wirkung ausübe, als ein entgegengesetzter Strom. Nur darf ich nicht verschweigen, dass unter vier bis fünf auf die erwähnte Weise zugerichteten Fröschen ein einziger mir die obigen Resultate mit Klarheit darbot. Es war ein sehr lebhaftes und dickes Männchen, hatte grosse Empfindlichkeit und ein zähes Leben; denn nach siebenzehn Stunden (seitdem er präparirt worden war) zeigte er noch dem unbewaffneten Auge Spuren von Zuckungen, wenn ein Apparat von vierzig Plattenpaaren auf ihn wirkte, obgleich er beinahe durch die ganze Zeit den Electromotoren ausgesetzt war.

V. Obgleich ich das (IV.) erwähnte Phänomen nur in einem Individuum klar ausgesprochen sah, meinte ich doch die *Volta'sche* Ansicht nicht verlassen zu dürfen; allein da ich gar keine andere Stütze für dieselbe fand, trachtete ich, durch irgend ein anderes Mittel zu beweisen, dass die besprochenen Zuckungen nicht durch den im Momente der Unterbrechung der Kette zurückfließenden electricischen Strom veranlasst werden. Ein solches Mittel ist folgendes:

Ich legte auf die gewöhnliche Weise einen Frosch mit seinen untern Extremitäten in die beiden äußersten Zellen (*tasse*) eines Becherapparates von sechs Plattenpaaren, und als die Zuckungen, welche gewöhnlich einige Zeit andauern, wenn das Thier frisch präparirt ist, aufgehört hatten, brachte ich, statt die Kette zu unterbrechen, die Enden eines homogenen Metallbogens in dieselben zwei Schälchen, in denen die zwei Füße des Frosches waren; aber in demselben Augenblicke zuckte dieser zusammen. Vielmal habe ich diesen Versuch wie-

derholt, und immer mit gleichem Erfolge. Und hier wird doch die Kette keineswegs unterbrochen, sondern blofs mit grofser Schnelligkeit vom Frosche abgeleitet, da sich der Electricität ein besserer Leiter darbietet.

Als ich bei einem Becherapparat von vierzig Paaren, die durch Meerwasser von einander getrennt waren, zwei Finger meiner Hand an die äufsersten Zellen hielt, habe auch ich diese Stöße empfunden, als ich die Ende eines Metallbogens dorthin brachte, wo zugleich die Finger lagen; auch andere Personen erfuhren dasselbe, bei denen keine vorgefaßte Ansicht, keine Befangenheit zu vermuthen war.

Wenn ich die erwähnten Zuckungen mit jenen verglich, die bei Unterbrechung der Kette eintreten, fand ich sie stets schwächer. Aber diefs darf uns nicht überraschen; denn ist wirklich das Aufhören des durch das Thier streichenden Stromes die Ursache der Erschütterung, so ist ja leicht einzusehen, dafs dieses Aufhören viel plötzlicher erfolgt, wenn man die Kette unterbricht, als wenn man einen Metallbogen in die Zellen stellt, in denen das Thier (im Wasser) steht, da dieses im letztern Falle noch immer einem Theile der Electricität zum Leiter dient.

VI. Nun wollte ich sehen, ob die Zuckungen, die das Thier erleidet, wenn man die Kette schliesst, auf jene Einflufs haben, in welche es bei Öffnung derselben geräth; oder mit andern Worten: ob die Erschütterung der Fibern bei Öffnung der Kette dadurch bedingt sey, dafs die beim Schlusse der Kette eintretenden Erschütterungen vorausgingen; ich fand, dafs diefs nicht der Fall sey. Ich hatte nämlich einen Frosch an die Enden eines Electromotors von acht Paaren befestiget, in dem die electriche Strömung noch nicht eingeleitet worden war, und schlofs dann die Kette, indem ich in die Flüs-

sigkeit jener zweier Gläser (Becher), wo der Apparat unterbrochen war, zwei wohl getrocknete Finger der einen Hand tauchte; aber der Frosch gerieth nicht in Zuckungen, wohl aber zuckte er alsogleich zusammen, wenn man die Finger herauszog. Trockne Finger bieten beim ersten Eintauchen in die Flüssigkeit einen sehr schlechten Leiter dar, daher der electriche Strom sich nur langsam durch sie hindurch Bahn brechen kann, und seine ganze Geschwindigkeit erst erlangt, wann die Finger stark durchnetzt sind; allein da er am Ende doch diese Geschwindigkeit erlangt hat, so befindet sich der Frosch zuletzt auch in denselben Umständen, als wenn man die Kette gleich durch einen guten Leiter geschlossen hätte, und zeigt daher im Momente der Unterbrechung dieselbe Erscheinung. Ich habe diesen Versuch mit zwei andern trockenen Fingern wiederholt, nur daß ich, statt die Kette zu unterbrechen, in die Zellen, in denen die Füße des Frosches steckten, einen Metallbogen stellte; die Zuckungen blieben nicht aus.

Wenn wir daher weder durch Schlüsse noch That- sachen berechtigt sind, ein Zurückströmen der Electricität im Apparate, nachdem die Verbindung zwischen den Polen aufgehoben wird, anzunehmen; wenn die Zuckungen des Thieres bei Hemmung des Stromes denen ähnlich sind, die durch einen entgegengesetzten Strom erzeugt werden; wenn zur Hervorrufung dieser Erschütterungen schon das bloße Ableiten des Stromes von den Thierfibern hinreicht, und wenn es endlich für das Gelingen des Phänomens ganz gleichgültig ist, ob diese schon früher durch das Einwirken der Electricität in Zuckungen gerathen sind oder nicht: so kann ich mir diese Sache nur aus der Annahme erklären, daß die Organe der Bewegung (*die Muskeln*) entweder wegen ihrer geringen Leitfähigkeit oder aus einer eigenthümlichen

Ursache nicht den gesammten electricischen Strom, der in sie eindringt, durchzuleiten vermögen, sondern einen Theil in sich aufnehmen, der bei jedem neuen Umlaufe vergrößert wird, und dafs diese in den Nerven des Thieres so zu sagen verdichtete Electricität, sobald der vorher eingedrungene Strom aufhört oder eine andere Richtung nimmt, aus denselben hervorbricht und so eine Zuckung bewirkt.

Hier hätte ich meine Arbeit enden müssen, wäre mir nicht ein Factum bekannt worden, das einiges Licht sowohl über das betrachtete Phänomen, als vielleicht auch über ein anderes nicht minder wichtiges verbreitet. Auf dieses wollen wir nun übergehen.

VII. *Volta* hat, als er noch *Galvani's* Hypothese in Schutz nahm, beobachtet, dafs ein Frosch, den er als Verbindungsbogen zwischen den beiden Belegungen einer Leidner Flasche brauchte, in Zuckungen gerieth, wenn die mit $+E$ geladene Belegung mit den Nerven, die mit $-E$ geladene mit den Muskeln in Verbindung stand; dagegen ruhig blieb, wenn er mit den Nerven die mit $-E$ geladene Belegung, und die andere mit den Muskeln verband.

Lehot hat beobachtet, dafs, wenn man mit der einen Hand den Schenkel eines frisch präparirten Frosches hielt, und seinen Nerv mit einem Zinkstreifen in Berührung brachte, dessen Ende in Quecksilber getaucht war, und man einen Finger der andern Hand gleichfalls in die Flüssigkeit tauchte, der Schenkel augenblicklich in Zuckungen gerieth. Wenn man im Gegentheile den Nerv mit dem Quecksilber in Berührung bringt, und dieses Metall mit einer Zinkplatte berührt, die man in der andern, nafs gemachten Hand hält, so zeigen sich gar keine Zuckungen oder nur sehr schwache, so lange als die Empfindlichkeit nicht äußerst geschwächt ist; aber

trennt man den Nerv vom Quecksilber, oder zerstört die Kette auf was immer für eine andere Art, so finden die Muskelbewegungen von neuem Statt. Herr *Lehot* hat dasselbe Resultat erhalten, wenn er was immer für zwei der folgenden Substanzen anwandte, als Zink, Blei, Zinn, Quecksilber, Wismuth, Kupfer, Silber, Graphit *).

Bellingeri, der diese Versuche des französischen Physikers weiter ausdehnte und mannigfach abänderte, hat unter andern gezeigt, daß man diese Erscheinungen nicht nur mit einfachen Elementen, sondern auch mit zusammengesetzten Apparaten erhält. Ich will einige Versuche dieser Art anführen, die ich anstellen zu müssen glaubte.

VIII. Ein Frosch wurde so präparirt, daß der Rumpf mit den untern Extremitäten nur mehr mittelst der beiden Cruralnervenbündel zusammenhing, dann wurde der Rumpf in die Zelle getaucht, in welche der positive Pol eines Electromotors auslief, und die beiden Aufsenglieder in die Zelle, wo der negative Pol endigte; da gerieth der Frosch in Zuckungen, so oft man die Kette schloß; aber wenn man die Kette öffnete, gewahrte man gar keine oder höchstens eine äußerst schwache Erschütterung. Aber kehrte man den Strom um, d. i. setzte man den Rumpf mit dem negativen, und die Aufsenglieder mit dem positiven Pole in Verbindung, so wandelte sich auch die Erscheinung um, und der Frosch gerieth nicht oder höchstens in äußerst schwache Zuckungen, wenn man die Kette schloß, aber in äußerst starke, wenn man sie öffnete **). — Wenn man auch die obern Extremi-

*) *Histoire de Galvanisme etc. Tome II., p. 124, 125.*

**) Die kleine Erschütterung, die man im letzten Versuche beim Schließen der Kette gewahrt, scheint ein Phänomen, das, wie so viele andere, mehr von der Schnelligkeit des Stroms, als von der Größe der Spannung

täten an dem Frosche läßt, gelingt doch der Versuch gleichfalls.

IX. Damit obige Erscheinung eintrete, ist keineswegs nothwendig, daß der Rumpf und die Aufsenglieder des präparirten Frosches ganz unter Wasser stehen, wie es in dem eben erwähnten Versuche der Fall war. Denn armirt man mit Metallfolie oder mit einem gewöhnlichen Drahte den Rumpf und einen oder beide Schenkel des Frosches, und setzt die Armirung des Rumpfes mit dem negativen, die des Schenkels mit dem positiven Pole in Verbindung, so wird der Frosch nicht erschüttert, wenn man die Kette schließt, aber wohl, wenn man sie öffnet. Gibt man dem Strome die entgegengesetzte Richtung, so wird auch aus der Erscheinung die entgegengesetzte.

X. Schnitt man den Rumpf weg, und band die Nerven an einen Metallstreifen, so trat die Erscheinung gleichfalls ein, wenn man die Aufsenglieder oder ihre Armirung mit dem einen Ende des Apparats, und die Armatur der Nerven mit dem andern in Verbindung setzte.

XI. Es ist auch keineswegs nothwendig, daß der electriche Strom aus den Aufsengliedern in die Nervenströme; denn wenn man einen oder beide Nerven mit zwei schmalen Bleistreifen unterband, die, wiewohl sie einander sehr nahe waren, sich doch nicht berührten, und man den Streifen, der den Nerven an einem seinem Ursprunge nähern Durchschnitte umwunden hielt, mit dem negativen, und den andern Streifen mit dem posi-

abhängt. Denn unzählige Male habe ich gesehen, daß es sich bei einem Apparate von ein oder zwei Paaren zeigte, aber nicht bei einem von sechs oder mehr Plattenpaaren. — Diese kleine Erschütterung tritt auch nur ein, wenn der Frosch viele Empfänglichkeit hat.

tiven Pole in Verbindung setzte, so gerieth er nicht in Zuckungen, ausser beim Unterbrechen der Kette *).

XII. Von welcher Natur die electromotorischen Elemente, der sie trennende Leiter, wie groß oder klein die Spannung des Apparates war, nie unterblieb die Erscheinung. Ist die Zahl der Plattenpaare beständig, so hängt die Stärke der Erschütterungen, die der Frosch beim Unterbrechen der Plattenpaare erleidet, von der Leitfähigkeit der Flüssigkeit, und bleibt die Flüssigkeit unverändert, von der Anzahl der Plattenpaare ab; alles wie bei den gewöhnlichen Stößen. Bei genauer Vergleichung obiger Stöße mit jenen, die der Frosch beim Schließen der Kette erleidet, fand ich, daß sie unter gleichen Umständen im Allgemeinen von gleicher Stärke sind.

Um so viel möglich die Größe der Zuckungen zu messen, pflege ich den Frosch mit den zwei untern Aussegliedern in ein flaches und gegen unten in ein Knie gebeugtes Glas zu stellen, so daß die Flüssigkeit bis dorthin reicht, wo die beiden Schenkel sich vereinigen; den Rumpf tauche ich zwei Drittheile seiner Länge nach in die Flüssigkeit eines zweiten dem ersten ähnlichen

*) Die in diesem und den drei folgenden §§. beschriebenen Versuche sind mit einigen der in dem erwähnten Mémoire des Herrn *Bellingeri* identisch oder analog. Ich erhielt von dieser Denkschrift erst Nachricht, als die meine schon ganz vollendet und zum Drucke bereit lag. Diese Erinnerung wäre ganz überflüssig, wenn nicht verschiedene Abschriften dieser meiner Arbeit im Umlauf wären, in welchen ich *Bellingeri's* nicht erwähnte; und wenn ich nicht gerne gegen den berühmten Prof. *Gamboni* meine Dankbarkeit an den Tag gelegt hätte, der, als ihm eine solche Abschrift zu Gesichte kam, die Güte hatte, mich aufmerksam zu machen, welche Verbindlichkeit ich gegen Herrn *Bellingeri* zu erfüllen hätte.

Glases, und diese beiden Gläser (in denen zwei aus den äußersten Zellen des Electromotors herabreichende Metallstreifen sich befinden) stelle ich so weit aus einander, daß die beiden Nerven aus einander gespannt sind. Nun beobachte ich mit Aufmerksamkeit, wie weit die Schenkel (im Momente der Erschütterung) sich aus der Flüssigkeit herausheben, und nach dieser Größe vergleiche ich die Stärke der Erschütterungen.

XIII. Wenn man den Rumpf mit den Aufsengliedern mittelst der *Muskeln* in Verbindung läßt, mögen nun auch die Nerven daran seyn oder nicht, so geräth der Frosch in Zuckungen beim Schließen der Kette, aber gar nicht oder nur äußerst schwach bei Unterbrechung derselben, welche Richtung übrigens der electriche Strom habe. Dasselbe erfolgt, wenn die erwähnten Nerven zwar entblößt, aber mit nassem Papier umwickelt oder in Wasser getaucht sind; und auch wenn der Rumpf durch einen Metallbogen mit dem Schenkel vereinigt ist, mögen nun die Nerven noch daran seyn oder nicht.

Auch ein Fuß allein zeigt dasselbe Phänomen, wenn man seinen Hauptnerven entblößt und zwei Punkte desselben mittelst zweier Metalldrähte mit den Polen eines Electromotors in Verbindung setzt. Allein wenn man die Muskeln an den Nerven läßt, oder noch besser, wenn man den Nerven ganz wegnimmt, so geräth der Fuß nur dann in Zuckungen, wenn man die Kette schließt, und welche Richtung übrigens der electriche Strom habe.

XIV. Weil also die Electricität, die aus einem Nerven in der Richtung seiner Verästung *) strömt, es ist,

*) Umschreibungen zu vermeiden, wollen wir von nun an sagen, die Electricität durchlaufe einen Nerv in der Richtung seines Ganges oder seiner Verästung, oder in

die den zur Erschütterung der thierischen Fibern nöthigen Reiz in ihm hervorruft, aber ihn nicht im Nerv erzeugt, wenn sie in der entgegengesetzten Richtung ausströmt, werden wir versucht anzunehmen, daß in dem letztern Falle die Erschütterung dann eintritt, wenn die Electricität aufhört ferner in den Nerv einzudringen, eben weil ein Theil derselben, der im Nerv zurückgehalten worden war, nun, da der Strom stocket, wieder heraustritt, und daher die Fibern erschüttert, über welche der Nerv sich ausbreitet *). Ein für die Annahme von einer Anhäufung der Electricität in dem in erwähnter Richtung von ihr durchstrichenen Nerven, ihrem allmählichen Wiederheraustreten und Erschüttern der Muskeln im Momente, wo der Strom aufgehört hat, günstiger Umstand ist, daß die Zuckungen beim Öffnen der Kette desto stärker sind, je längere Zeit sie geschlossen war.

Diese dadurch bewirkte Verstärkung der Zuckung, daß die Kette durch längere Zeit geschlossen blieb, wird noch auffallender, wenn man die Strömung erschwert. Ein Becherapparat von acht Paaren, bei dem bloß zwei Paare wirksam waren (die andern sechs wa-

entgegengesetzter Richtung, je nachdem der Punct, an dem die Electricität in den Nerv tritt, dessen Ursprunge näher oder entfernter liegt, als der Punct, an dem die Electricität den Nerv verläßt.

*) Einer der von Herrn *Lehot* rücksichtlich der theoretischen Ansicht des Galvanismus angenommenen Grundsätze ist folgender: Wenn man eine wirksame Kette zerstört, so kehrt das in dem Organe (des als Leiter dienenden Thieres) durch Bildung dieser Kette angehäuften Fluidum auf seinen vorigen Ort zurück, und es bildet sich ein Strom in einer dem vorigen entgegengesetzten Richtung.

ren aus kleinen Messingbogen zusammengesetzt), setzte, wie gewöhnlich, einen frisch präparirten Frosch jedes Mal in Zuckungen, als der Strom vom Rumpf in die Glieder ging; hatte er die entgegengesetzte Richtung, so trat die Erschütterung nicht beim Schlusse der Kette, sondern beim Öffnen derselben ein; und in letzterem Falle wurde bemerkt, daß, wenn die Kette nur einen Augenblick geschlossen war, die Zuckung beim Öffnen derselben viel schwächer war, als wenn sie eine längere Zeit hindurch geschlossen blieb *).

Bei diesem Versuche bemerkte man die stärkste Erschütterung, wenn die Kette durch 8 — 10 Secunden geschlossen geblieben war, sie war beinahe drei Mal so stark als jene, die man erhielt, wenn die Kette nur einen Augenblick lang geschlossen war **).

*) Könnte man die Zeit, in der die Kette geschlossen bleibt, auf eine unendlich kleine Gröfse bringen, so scheint es, würde bei obigem Versuch gar keine Erschütterung Statt finden. Wenn ich mich nicht irre, so geräth der Frosch bei dem §. 7 erwähnten Versuche *Volta's* nicht in Zuckungen, wenn die Entladung der Leidner Flasche in der Richtung von den Muskeln zu den Nerven geht, weil hier das Eintreten und Hemmen des electricischen Kreislaufes in ein Moment zusammenfällt.

***) Daß die fortwährende oder wiederholte Einwirkung der electricischen Ströme auf die thierischen Organe in ihnen Electricität anhäufe, die dann mit einem Male ihren Einfluß auf dieselben äußern, beweisen vielleicht auch folgende Thatsachen:

Als ich einen jungen Menschen von 25 Jahren (*Baptist Forcoin*), der mit der Paraplexie behaftet war, in kleinen und wiederholten Stößen mittelst des Becherapparats electricisirte, mußte ich bemerken, daß sich nach einer gewissen Anzahl Stöße der Kranke über einen lebhaften Schmerz in der Gegend der Lenden beklagte, gerade dort, wo er einige Narben hatte, die von der Acu-

XV. Allein obgleich die im vorigen Paragraphe erwähnte Erfahrung gedachte Annahme zu unterstützen schien, zeigte sich doch etwas, das ihr widerspricht. Zwei Frösche wurden auf die gewöhnliche Weise präparirt, der eine mit den Aufsengliedern (Extremitäten) an den negativen, der andere mit den Aufsengliedern an den positiven Pol eines Electromotors befestiget, und beide Rumpfe in die Flüssigkeit desselben Glases ge-

punctur herrührten, welche er einige Monate vorher erhalten hatte. Dieses lästige, aber vorübergehende, und wie der Stofs selbst nur augenblickliche Gefühl wurde von dem Kranken mit einem Stich oder einer tiefen Wunde verglichen. — Die Stöße waren dadurch beigebracht worden, daß man einen Fuß des Kranken mit dem positiven, den andern mit dem negativen Pol des Apparats mittelst Bleistreifen und angefeuchteten Kissen (*cuscineti*) in Verbindung brachte.

War der Apparat gut isolirt und abgetrocknet, und wurden hundert Paare angewendet, so spürte der Kranke dies unangenehme Gefühl zwischen dem 13^{ten} und 17^{ten} Stofse; nahm man nur achtzig Paare, so fiel diese Empfindung zwischen dem 25^{sten} und 32^{sten} Stofse, bei einem Apparat von vierzig Paaren etwas nach dem 70^{sten}, und endlich bei einem Apparat von zehn Paaren hatte der Kranke diese Empfindung erst nach 160 Stößen, und um vieles schwächer als die andern Male. Die Muskelzuckungen waren bei dem Apparate von zehn Paaren gar nicht merkbar.

An einem andern Individuum (*Pietro Martinuzzi*), der an derselben Krankheit litt, zeigte sich die Erscheinung, daß er nach einer bestimmten Anzahl Stöße einen spürte, der alle früheren an Stärke übertraf. Allein es ist genug, hier diese Erscheinungen nur erwähnt zu haben; ich behalte mir vor, sie ausführlicher zu behandeln, wenn ich die Geschichte mehrerer paralytischer Krankheiten bekannt machen werde, unter deren Heilmittel die Electricität zu rechnen ist.

taucht. Da gerieth, so oft man die Kette schloß, der erste Frosch in Zuckungen, der zweite nicht; und wenn man den zweiten Frosch in die entgegengesetzte Lage, d. i. den Rumpf dorthin, wo früher die Aufsenglieder waren, und diese an des Rumpfes Stelle brachte, wurden beide Frösche erschüttert beim Schließen der Kette, und keiner von beiden beim Öffnen derselben. Kehrete man endlich auch letztere Lage beider Frösche um, d. i. wurde der erste mit den Aufsengliedern an den negativen Pol, der zweite mit dem Rumpf an den positiven Pol befestiget, während der Rumpf des ersten in dem Glase unter Wasser gesetzt ist, in dem auch die Aufsenglieder des zweiten sich befinden: so ward keiner von beiden beim Schließen der Kette, jeder aus ihnen beim Öffnen derselben erschüttert. Zwar sind diese Erschütterungen immer etwas schwächer, als wenn man nur mit einem Frosche experimentirt; allein eben weil sie stets schwächer sind, und nicht bloß dann, wenn in einem von ihnen der Strom von den Gliedern zum Rumpfe, in dem andern vom Rumpfe zu den Gliedern geht, ersieht man, daß diese Schwächung des Effects nicht von einem Hindernisse herrühre, das die Nerven dem electricen Strome dann entgegen stellen, wenn er sie in einer ihrem Gange entgegengesetzten Richtung durchdringt, oder von einer Art einpoliger Leitfähigkeit, sondern davon, daß das electriche Fluidum mehr Hindernisse zu bekämpfen hat, wenn es durch zwei Frösche hinter einander, als wenn es nur durch einen dringen muß.

Um die Verschiedenheit zwischen den Wirkungen, welche man beim Experimentiren mit einem Frosche, und jenen, welche man beim Experimentiren mit zwei auf die erwähnte Weise gestellten Fröschen erhält, recht einzusehen, darf man nur Apparate von wenigen, etwa

zwei, drei bis vier Plattenpaaren brauchen. Man kann diese Versuche auf mancherlei Art abändern, indem man drei oder mehr Frösche anwendet; allein die Resultate werden vielleicht mehr Vergnügen, aber gewifs nicht mehr Belehrung gewähren.

XVI. Während wir indefs abwarten, bis neue Entdeckungen uns in den Stand setzen, zu erklären, warum denn eigentlich dann, wenn die Electricität die Nerven in einer ihrem Gange entgegengesetzten Richtung durchstreicht, im Momente der Öffnung der Kette eine Zuckung Statt findet, will ich mich hier auf die Bemerkung beschränken, dafs aus dieser Erscheinung sich höchst wahrscheinlich die kleinen Erschütterungen ableiten lassen, welche die Thiere in dem Momente erleiden, wo sie aufhören den Verbindungsbogen zwischen den Polen eines electromotorischen Apparats zu bilden.

Vor Allem müssen wir zuerst beachten, dafs alle Umstände, welche zur Hervorbringung oder Abänderung des einen dieser Phänomene beitragen, auch das andere hervorzubringen oder abzuändern vermögen. Auch hier z. B. ist es nicht nöthig, den electricischen Strom, der aus den Nerven in einer ihrem Gange entgegengesetzten Richtung hervordringt, zu unterbrechen, damit eine Erschütterung Statt finde; sondern zur Erschütterung des Frosches ist es hinreichend, den electricischen Strom dadurch von den Nerven zu entfernen, dafs man einen Metallbogen in die äufsersten Zellen des Apparates bringt. Ferner, wenn der Electromotor, der auf die Nerven des Frosches wirkt, aus einer bestimmten Anzahl Paare, wie z. B. aus zwanzig, dreifsig oder mehreren besteht, ist es keineswegs nothwendig, den ganzen Strom abzuleiten, sondern es genügt die Unterdrückung seines grössten Theiles, indem man den Metallbogen in die zweite

und vorletzte, oder in andere zwei von diesen nicht sehr entfernte Zellen bringt. Ferner hat keines der beiden Phänomene Statt, wenn man die Kette nach und nach auflöst, oder den electricischen Strom nur allmählig vom Thiere entfernt.

Zweitens scheint es, daß bei jedem electricischen Strome, der die Bewegungsorgane eines Thieres durchstreift, ein Theil desselben in irgend einen Nerv in einer dessen Gänge entgegengesetzten Richtung eindringt, und dadurch bei Hemmung des Umlaufes die Muskeln, an welchen der Nerv sich verästet, zusammenzucken. Wenn man z. B. einen Frosch auf die Weise stellt, daß die eine seiner untern Extremitäten am positiven, die andere am negativen Pol sich befindet, so bewegt sich im ersten Fusse, sobald man die Kette schließt, der electricische Strom in einer dem Gange der Nerven entgegengesetzten Richtung, und im zweiten folgt er dem Gange der Nerven. Daher wird der letztere beim Schließen der Kette, ersterer beim Öffnen derselben erschüttert. Und da die Schenkel mit einander vereinigt sind, so überträgt die Zuckung des einen die Bewegung in den anderen, und es scheinen daher jedes Mal beide erschüttert zu werden. Und wenn in diesem Falle die Erschütterungen, so beim Unterbrechen der Kette eintreten, dennoch schwächer sind als jene, die beim Schließen derselben Statt finden, so rührt dieß daher, daß der Nerv nicht bloßgelegt ist, und daher nur wenig Electricität ihn durchströmt. Man kann sich leicht überzeugen, daß die Sache sich so verhalten muß, wenn man einen Fuß vom andern trennt, und beide nur mit dem Rumpfe mittelst ihrer Nerven zusammenhängen läßt, und übrigens, wie vorher, einen Fuß mit dem negativen, den andern mit dem positiven Pol in Verbindung setzt;

da zuckt der erste, so oft man die Kette schließt, der zweite, so oft man sie öffnet *).

Drittens, wenn man einen Frosch präparirt, ohne die Lenden zu trennen, aber dagegen die Cruralnerven herausschneidet, so werden seine Aufsenglieder nur beim Schließen der Kette erschüttert, welche Richtung der Strom auch habe. Dasselbe zeigt sich, wenn wir die Glieder mit dem Rumpfe durch zwei Muskelbänder vereinigt lassen, oder wenn wir mit einem Fuß oder einer Muskel allein experimentiren.

Man ersieht indess aus dem Vorausgegangenen, daß ein bedeutender Unterschied zwischen den Erschütterungen obwaltet, welche durch unmittelbare Einwirkung der Electricität auf die Muskeln hervorgebracht werden, und die wir deswegen *idiopathische* Zuckungen nennen wollen, und jenen, welche aus der Einwirkung der Electricität auf die Nerven entstehen, welche die Bewegungen der Muskeln leiten, und welche wir *sympathische* Zuckungen heißen können. Und wir müssen diesen Unterschied stets berücksichtigen, wenn wir den bisher erwähnten ähnliche Versuche machen wollen, um nicht manches Mal in Irrthum geführt zu werden.

XVII. Wir haben gesehen (XIV.), daß wenn das electriche Fluidum einen Nerven von seinem Ursprunge an bis zu seinem Ende, oder wenigstens in dieser Richtung durchströmt, ein Stofs erfolgt, aber dieser nicht Statt findet, wenn das Fluidum den Nerv in entgegengesetzter Richtung durchströmt. Dies würde kein Stauen erregen, wenn nach unserer anfänglichen Annahme der Nerv wegen einer gewissen einpoligen Leitfähigkeit

*) Eine der gegenwärtigen analoge Erfahrung ist auseinandergesetzt in der schon erwähnten *Histoire* von *Lehat*. Th. 2, S. 134.

oder besondern Eigenschaft den Durchgang der Electricität entweder ganz hinderte, oder doch erschwerte; allein diese Annahme haben wir irrig gefunden. Warum also äußert die Electricität, welche, wenn sie einen Nerv nach der Richtung seines Ganges durchströmt, eine so bedeutende Wirkung hervorbringt, gar keine Wirkung, wenn sie ihn in entgegengesetzter Richtung durchströmt? Wir wissen, daß, wenn in Folge unseres freien Willens ein Muskel sich zusammenzieht, etwas vom Ursprunge des Nervs ausgeht und sich verbreitet, das bis zu diesem Muskel bis an sein Ende sich hinzieht; und daß, wenn ein empfindendes Wesen den Eindruck gewahr wird, den ein Gegenstand auf eines seiner Organe macht, etwas vorhanden seyn muß, das vom Ende des angeregten Nervs ausgeht, und bis an dessen Ursprung sich verbreitet. Wenn daher die Electricität dann eine Zuckung erzeugt, wenn sie vom Ursprunge der Nerven bis an ihr Ende strömt, sollte sie nicht auch, wenn sie die Nerven im entgegengesetzten Sinne durchströmt, eine Empfindung veranlassen? Die von *Volta* entdeckte Thatsache, daß wenn man eine von der Oberhaut entblößte Stelle in die Kette eines Electromotors bringt, die schmerzhafteste Empfindung in diesem Theile stärker ist, wenn er sich am negativen Pole befindet, ist dieser Behauptung keineswegs günstig. Allein da ich dessen ungeachtet bedachte, daß die lebhaftere Empfindung, welche man am negativen Pole hat, auch von den Stoffen herrühren kann, welche sich dort entwickeln, und nicht von einer mechanischen Einwirkung der Electricität, entschloß ich mich über diesen Gegenstand einige Versuche anzustellen, welche ich hier kurz beschreibe.

XVIII. Ein Frosch wurde so präparirt, daß seine untern mit einander verbundenen Aufsenglieder an dem übrigen Leibe nur mittelst der bloß gelegten und wohl

geputzten Cruralnerven hingen, und zwar ohne dem Frosch selbst die Haut und den Kopf abzutrennen, und indem man das Eingeweide so wenig als möglich aus der Ordnung brachte. In diesem Zustande wurde er mit den Hinterfüßen in die Zelle gebracht, wo die erste Kupferplatte des Electromotors stand, und die Vorderfüße tauchte man in die Flüssigkeit, in der die letzte Zinkplatte sich befand, so daß der Frosch mit dem Kopfe und der Brust auf den Rand der Zelle gestützt war. Als man hernach die Kette schloß, gerieth der Frosch in Zuckungen, vorzüglich in den Hinterfüßen *), aber er verrieth kein Anzeichen eines Schmerzes, obwohl man die Kette durch beinahe zwanzig Secunden geschlossen liefs. Ohne den Frosch aus der Lage zu bringen, in der er sich befand, kehrte ich die Aufeinanderfolge der Platten um, und als ich hierauf die Kette schloß, zuckte der Frosch zusammen, aber viel weniger als das erste Mal, und nach einem Momente begann er ängstlich zu athmen, d. i. er blies sich stark auf, zog dann den rechten Fuß aus der Flüssigkeit, und setzte ihn auf den Rand der Zelle; als die Circulation wieder aufgehoben wurde, fuhr er zusammen, und wurde hierauf wieder ruhig. Ich stellte die Platten abermals in die Ordnung, in der sie am Anfange des Versuches waren; mit dem Schlusse der Kette wurde der Frosch erschüttert, aber er gab kein Zeichen, daß er etwa die Zeit hindurch, in der die Kette geschlossen war — ungefähr eine Minute — schmerzlich angeregt gewesen sey. Ich kehrte von neuem die Folge der Platten um, und der Frosch zeigte von neuem, wie hart der electriche Strom ihm falle. Beim

*) Es ist unnütz, hier die Stöße anzudeuten, die durch unmittelbare Einwirkung des electriche Stomes auf die Muskeln der Vorderfüße, des Rückens u. s. w. hervorgebracht wurden.

dritten Wechsel bewegte der Frosch nur ein wenig den Fuß und die Seiten, beim vierten zeigte er erst nach beinahe einer Minute, während welcher er in der Kette sich befand, schwache Spuren von Schmerz; und dieß waren überhaupt die letzten, die man bemerken konnte.

Einige Male habe ich dennoch bemerkt, daß wenn der electriche Strom die Nerven in der Richtung ihrer Verästung durchströmte, das Thier Anzeichen von Schmerz auch in dem Momente äußerte, in dem die Kette aufgehoben worden war.

Der Electromotor bestand aus zehn Plattenpaaren, die Flüssigkeit war Regenwasser, das eine Auflösung von etwa dem fünfzigsten Theil Kochsalz enthielt.

XIX. Statt den Frosch auf die im vorigen Paragra-
phe beschriebene Weise zu präpariren, kann man die obere Hälfte des einen seiner Cruralnerven bloßlegen (ohne dem Fleische den geringsten Schaden zuzufügen), und wenn man ihm ein kleines Siegellackplättchen untergelegt hat, um ihn zum Theile außer Berührung mit den unten liegenden nassen Theilen zu bringen, armirt man das so frei liegende Stück an zwei verschiedenen Querschnitten mit zwei dünnen Staniolstreifen, und setzt einen derselben mit dem positiven, den andern mit dem negativen Pol eines *Volta'schen* Apparats in Verbindung. Nur muß man bedenken, daß, wenn man auf diese Weise verfährt, es beim ersten Anblicke scheint, als wenn die Phänomene ganz verkehrt vor sich gingen. Denn communicirt der dem Rumpfe nähere Streifen mit dem positiven Pole, so gibt das Thier Zeichen von Schmerz, und wenn mit demselben Pole jener Streifen in Verbindung steht, der den Nerv an dem vom Rumpfe entfernteren Querschnitte umfaßt, kann man nichts als die gewöhnliche Zuckung bemerken. Allein im gegen-

wärtigen Falle durchläuft das electriche Fluidum, wenn es von der Belegung, die mit dem positiven Pole in Verband steht, zu der abströmen will, die mit dem negativen Pole sich vereinigt, nicht jenes Stück des Nerven, das von den beiden Belegungen eingeschlossen ist, sondern es fließt durch die Eingeweide, als die viel besseren Leiter; daher, wenn die dem Rumpfe nähere Belegung des Nerven am positiven Pole sich befindet, der electriche Strom oder wenigstens der größte Theil desselben sich in einer dem Gange des Nerven entgegengesetzten sich bewegt, und deshalb das Thier, außer den Zuckungen in den vom electriche Fluidum durchstrichenen Muskeln, noch Anzeichen einer schmerzhaften Empfindung an den Tag legt; und wenn gedachte Belegung mit dem negativen Pol in Verbindung steht, so bewegt sich der electriche Strom oder wenigstens der größte Theil desselben in der Richtung der Verästung des Nerven, und daher geräth der Frosch wohl in Zuckung, gibt aber kein Zeichen, daß er von außergewöhnlichen Empfindungen ergriffen sey.

XX. Präparire man nun den Frosch auf die eine oder die andere der erwähnten Arten, nie sind die angezeigten Resultate leicht zu erhalten. Wenn die Nerven zum wenigsten in einer bestimmten Streeke vor der Berührung feuchter Körper nicht hinlänglich behütet, wenn sie mit Blut gefüllt oder mit irgend einer Feuchtigkeit benetzt, oder nicht gut gereinigt und von den Faserchen befreit worden sind, die gewöhnlich an ihnen hängen, erhält man nur dunkle und zweideutige Erfolge. Am meisten muß die Aufmerksamkeit darauf gerichtet seyn, daß die Electricität keinen andern Weg, als eben die Nerven habe, um von den Vordertheilen zu den Schenkeln zu gelangen, wenn der Frosch auf die erste Art präparirt ist, oder von der einen Belegung zur an-

dern, wenn der Frosch gerade nach der zweiten Art zugerichtet worden ist. Nicht minder streng muß man darauf sehen, daß der Electromotor gut isolirt sey, d. i. daß jede Zelle von außen gut abgetrocknet werde, denn sonst werden die, wiewohl kleinen, electricischen Ströme, die in diesem Falle das Thier durchstreichen, leicht die Reinheit der Resultate beflecken, und das Thier selbst so matt machen, daß es in kurzer Zeit nur Zuckungen, wie im trocknen Zustande, zeigt.

Überdies muß ich bekennen, daß trotz aller dieser Vorsichten sich das Thier einige Mal, als kaum die Herri-
 richtung desselben vollendet war, wie in einem Zustande der Starrsucht befand, und außer den Zuckungen kein anderes Zeichen eines Eindruckes der electricischen Ströme von sich gab. Ob dieß von den bei der Herri-
 richtung ausgestandenen Qualen oder von dem Zustande seiner Gesundheit, seines Alters, Temperaments, von der Behandlung, welche es litt, nachdem man es aus seinem Elemente genommen hatte, oder von andern Umständen abhängt, konnte ich bis jetzt noch nicht bestimmen.

Manchmal, während das Thier, wenn es eben erst präparirt war, nur zweideutige Resultate gab, zeigte es ganz deutliche, wenn man es einige Minuten hatte ausruhen lassen.

Gewöhnlich gibt der auf die zweite Art präparirte Frosch, wenn auch das Innere nicht im geringsten beunruhigt worden ist, und er viel mehr Lebenskraft behält, doch viel dunklere Resultate, als wenn er auf die erste Art präparirt wurde. Es scheint, daß im letzteren Falle der beinahe gänzliche Blutverlust (denn man hatte die Aorta quer durchgeschnitten) dazu beiträgt, das Thier mehr gefühllos für den Zustand, in dem es sich befindet, und daher tauglicher zu machen, die *Schmerz*

erregende *) Wirkung der Electricität zu empfinden, oder wenigstens diese Empfindung zu erkennen zu geben.

Manchmal, wenn sich bei einem Apparate von sechs oder sieben Paaren keine Symptome einer Schmerzempfindung zeigten, offenbarten sie sich, wenn ich einen Apparat von dreissig Paaren an dessen Stelle brachte; ein anderes Mal war dieser Wechsel der Apparate unnütz.

Vielleicht werde ich diese Resultate leichter erhalten, wenn ich mit andern Thieren experimentiren werde, was ich bis jetzt nicht thun konnte. Aber auch, wenn man sich auf Frösche beschränkt, glaube ich, daß jeder, der diese Versuche zu wiederholen Lust hat, mit ein wenig Geduld genügende Resultate erhalten wird. Und wahrlich nur dadurch, daß ich nicht so schnell die Geduld verlor, gelang mir ein Versuch, dessen Resultate meine Erwartung weit überstiegen. Der Versuch war folgender:

XXI. Ein junger, weiblicher Frosch von mittlerer Dicke, lebhaft und ein großer Quacker, wurde eine Stunde, nachdem ich ihn vom Fischhändler erhalten hatte, rücklings auf einer Holzleiste ausgespannt, an welcher die Hinterfüße zusammen durch eine Schleife, und jeder der Vorderfüße durch eine andere befestigt waren, so zwar, daß das Athemholen nicht im Geringsten erschwert war. Hierauf wurde er auf die erste Art präparirt, d. i. so, daß die Hinterfüße mit dem übrigen Leibe nur durch die beiden Cruralnerven zusammenhängen. Hierauf wurde der Frosch alsogleich losgebunden, der rechte Vorderfuß mit einem Bleistreifen umwickelt, dessen anderes Ende mit einem Pole eines *Volta'schen* Apparates in Verbindung stand, die Hinterfüße wurden

*) Ich gebe ihr diesen Namen, um sie von der *erschütternden* Wirkung zu unterscheiden.

beide zusammen mit einem zweiten Bleistreifen umwickelt, der mit dem andern Pole communicirte. Der Frosch wurde mit den Vorderfüßen und dem Bauche auf eine Glasplatte gelehnt, und die Hinterfüße wurden mit der Hand, an welcher ich einen isolirenden Handschuh trug, in die Höhe gehalten. Nach ungefähr einer Minute, als alles so geordnet war und der Frosch sich hinlänglich ruhig zeigte, begann ich ihn den electricischen Strömen auszusetzen, und erhielt folgende Resultate:

Wenn der electricische Strom die Nerven in der Richtung ihres Ganges durchströmte, zuckte der Frosch die Hinterfüße zusammen, wenn man die Kette schloß, und wenn man sie unterbrach, stiefs er einen starken und anhaltenden Schrei mit aller Kraft seiner Lunge aus, indem er sich zu gleicher Zeit auf seinen Vorderfüßen erhob und sich zusammen krümmte; allein die Hinterfüße geriethen nicht in Zuckungen. Durchdrang aber der electricische Strom die Nerven in einer ihrem Gange entgegengesetzten Richtung, da gab der Frosch beim Schließsen der Kette einen starken, von Convulsionen begleiteten Schrei von sich, einen Schrei, den er zwei-, drei- bis vier Mal wiederholte, wenn man die Kette durch einige Zeit geschlossen liefs; und wenn man die Kette löste, so zuckten die Hinterfüße zusammen, und der Frosch hörte auf zu schreien und sich zusammen zu winden.

Diesen Wechsel der Erscheinungen beobachtete ich mit einem und auch mit drei und acht Plattenpaaren, im Ganzen zehn bis zwölf Mal.

Nachdem ich so sichere Resultate erhalten habe, glaube ich Folgendes festsetzen zu können: Wenn das electricische Fluidum einen Nerv in der Richtung seiner Verästung durchströmt, bringt es eine Muskelzuckung hervor, und im Momente, wo es aufhört in den Nerv

einzudringen, eine Empfindung *); und wenn das electriche Fluidum in einer seinem Gange entgegengesetzten Richtung durchstreicht, bringt es eine Empfindung hervor, und im Momente, wo es einzudringen aufhört, findet die Muskelzuckung Statt **).

XXII. Wenn man indess betrachtet, dafs im Momente, wo die Einwirkung eines electrichehen Stromes auf einen Nerv aufhört, gerade jene Affection eintritt, die ein dem vorigen entgegengesetzter Strom hervorbringen würde, scheint wiederum die Hypothese zulässig, dafs die Nerven die Eigenschaft besitzen, einen Theil der sie durchströmenden Electricität zurückzuhalten, welche sie dann in der entgegengesetzten Richtung durchzieht, sobald die Circulation gehemmt worden ist. Allein man sollte nun beweisen, dafs diese Organe wirklich diese Eigenschaft hätten, was jedoch äufserst schwierig ist; und wenn man wirklich diesen Beweis geführt hätte, müfste man noch begreiflich machen, warum denn die in den Nerven zurückgehaltene Electricität eine Bewegung annimmt, die derjenigen entgegengesetzt ist, welche sie in die Nerven gebracht hat. Gewifs würde man viel schneller eine Erklärung aller Phänomene dieser Art geben können, wenn man zugäbe, dafs es in den Nerven *natürliche* electriche Ströme gebe, welche, durch die künstlichen Ströme verdrängt, mit Gewalt wieder hervortreten, sobald letztere aufgehört hätten.

Wenn es eine thierische Electricität gibt, wie *Galvani* immer behauptet hat, oder, was vielleicht auf das

*) Der Kürze wegen will ich, uneigentlich, Empfindung jene Modification des Nervs nennen, die in dem lebenden Thiere eine Empfindung zu verursachen vermag.

**) Wohl verstanden, dafs hier nur von jenen Nerven die Rede ist, die Bewegungen und Gemeinempfindungen hervorzubringen dienen.

selbe hinausgeht, wenn die Identität des electricischen und des Nervenfluidums, die schon von mehreren Naturforschern vermuthet wurde, als wahr erprobt wird, so scheinen gegenwärtige Versuche uns den Weg anzuzeigen, auf dem wir zur klaren Einsicht in dieselbe werden gelangen können.

Aber die Schlüsse, welche ich ohne Bedenken blofs aus der genauen Untersuchung der Erschütterung ableiten zu dürfen glaube, welche die Thiere im Momente erleiden, wo sie aufhören den Verbindungsbogen zwischen den Polen eines Electromotors zu bilden, sind folgende:

1. Dafs die Grundsätze, auf denen bisher die Theorie der *Volta'schen* Apparate gestützt ist, uns nicht berechtigen, in ihnen, in dem Momente, wo die electricische Circulation gehemmt ist, ein Rückströmen der Electricität anzunehmen.
2. Dafs, wenn sogar ein solches Rückströmen Statt fände, die Erschütterung des Thieres im gedachten Momente nicht von seinem Einwirken herrührt.
3. Dafs die zwei Arten der von der Electricität in den Muskeln hervorgebrachten Zuckungen, nämlich die idiopathischen und die sympathischen, von einander unterschieden zu werden verdienen, weil die ersten eintreten, in was immer für einer Richtung der electricische Strom die Nerven durchdringt, und die zweiten nur, wenn sie der Strom in der Richtung ihrer Verästung durchstreicht.
4. Dafs die Erschütterung, welche die Thiere erleiden, wenn sie plötzlich aufhören den Verbindungsbogen zwischen den Polen eines Electromotors zu bilden, davon abhängt, dafs wenn die Electricität die Nerven in einer ihrer Verästung entgegengesetzten Richtung durchströmt, nicht wie sonst beim

Schliessen der Kette, sondern beim Öffnen derselben eine Erschütterung eintritt.

5. Dafs wenn die Electricität in einer ihrem Gange entgegengesetzten Richtung in die Nerven tritt, sie nicht eine Zuckung, sondern eine Empfindung verursacht.
6. Dafs eine solche Empfindung auch dann Statt findet, wenn ein die Nerven in der Richtung ihres Ganges durchdringender Strom aufgehoben wird*).

*) Diese Denkschrift wurde in Briefform im Verlaufe des Jahres 1827 der k. k. Academie zu Roveredo überreicht, von welcher auch ein Auszug in den Anhang (über vaterländische Geschichte und Litteratur) des Tiroler Boten eingerückt wurde. In diesen Auszug waren auch die hier aufgezählten Schlussätze aufgenommen.

IV.

Übersicht der meteorologischen Beobachtungen in Wien im Jahre 1828.

(Stand des Barometers 19.946 Wiener Klafter über dem mittleren Spiegel der Donau.)

Barometerstand in P. Zoll bei 0° R. in jedem Monate.

1 8 2 8.	Mittlerer.	Höchstster.	Tiefster.	Mittlere monatliche Variation.
Jänner	27.737	28.322	27.122	0.200
Februar	27.550	27.939	27.100	0.839
März	27.440	27.864	26.966	0.898
April	27.469	28.000	26.989	1.011
Mai	27.509	27.793	27.253	0.540
Juni	27.597	27.765	27.282	0.483
Juli	27.444	27.621	27.148	0.473
August	27.501	27.747	27.046	0.701
September	27.641	27.914	27.375	0.539
October	27.723	28.100	27.321	0.679
November	27.704	28.128	27.420	0.708
December	27.757	28.215	27.345	0.870
Jährl. Durchschn.	27.589	28.322	26.966	1.356

Mittlerer Barometerstand nach den verschiedenen Beobachtungsstunden.

1 8 2 8.	Um 8 Uhr früh.	Um 3 Uhr Nachmittags.	Um 10 Uhr Abends.
Jänner	27.734	27.729	27.749
Februar	27.554	27.534	27.548
März	27.446	27.432	27.440
April	27.528	27.502	27.511
Mai	27.531	27.494	27.471
Juni	27.616	27.583	27.593
Juli	27.461	27.425	27.448
August	27.520	27.495	27.512
September	27.648	27.629	27.647
October	27.729	27.684	27.736
November	27.700	27.700	27.683
December	27.756	27.748	27.768
Jährl. Durchschnitt	27.602	27.580	27.592

Barometerstand bei verschiedenen Winden.

Windsrichtung.	Barometerstand.	Anzahl der Beobachtungen, aus denen das Mittel entsprang.
S.	27.601	93
SSO.	27.556	6
SO.	27.643	156
OSO.	27.535	28
O.	27.563	21
ONO.	27.551	1
NO.	27.591	23
NNO.	27.520	6
N.	27.736	60
NNW.	27.684	30
NW.	27.675	177
WNW.	27.572	249
W.	27.578	160
WSW.	27.562	24
SW.	27.544	46
SSW.	27.626	78

Berechnet man hieraus nach der *Lambert'schen* Formel die mittlere Windsrichtung, so erhält man sie durch den Winkel φ , welchen sie mit dem Meridian macht, indem man $S=0^\circ$, $W=90^\circ$, $N=180^\circ$, $O=270^\circ$ setzt. Es ist nämlich

$$\varphi = 123^\circ \frac{2}{3}.$$

Temperatur der Luft nach Réaumur.

1 8 2 8.	Mittlere.	Größte.	Kleinste.	Differenz zwischen d größten und kleinsten.
Jänner	-1° 01	8.3	-11.5	19.8
Februar	-1° 59	8.0	-12.5	20.5
März	4° 73	13.0	- 5.0	18.0
April	9° 88	19.5	- 0.4	19.9
Mai	13° 15	21.2	6.8	14.4
Juni	15° 94	26.0	10.5	15.5
Juli	17° 77	27.0	11.5	15.5
August	15° 11	22.0	11.0	11.0
September . . .	12° 43	20.5	5.8	14.7
October	7° 29	18.2	- 2.0	20.2
November . . .	4° 14	11.0	- 3.0	14.0
December . . .	1° 87	9.0	- 9.0	18.0
Jährl. Durchschn.	8° 31	27.0	-12.5	39.5

Beschaffenheit der Atmosphäre.

1 8 2 8.	HeitereTage	Wolken mit Sonnen- schein.	Trüb.	Nebel.	Regen.	Schnee.	Gewitter.	Herrschender Wind.
Jänner . . .	2	15	14	7	9	5	2	SO. und NW.
Februar . . .	2	13	14	9	7	10	—	SO. und NW
März	1	13	17	2	17	4	—	WNW.
April	2	27	1	1	8	3	1	WNW.
Mai	4	26	1	—	10	—	2	WNW. u. SO.
Juni	1	27	2	—	14	—	6	WNW.
Juli	3	26	2	—	11	—	5	WNW.
August	1	24	6	1	16	—	1	WNW. u. W.
September . .	1	24	5	4	13	—	1	WNW.
October	3	16	12	11	7	1	1	NW. u. SO.
November . . .	—	14	16	13	7	—	—	WNW. u. SO.
December . . .	—	17	14	9	5	2	—	NW.
Jährl. Durch- schnitt	20	242	104	57	124	25	19	WNW. u. NW.

V.

Fortschritte der Physik in der neuesten Zeit.

Meteorologie.

1. Über das Gesetz der stündlichen Änderungen des Luftdruckes. Von *Carlini*.

(Memorie della soc. ital. delle sc. Tom. X)

Gegenwärtige Abhandlung hat zum Zweck, das Gesetz zu entwickeln, nach welchem die stündlichen regelmäßigen Veränderungen des Luftdruckes erfolgen, und das, was dabei auf Rechnung der anziehenden Kraft der Sonne kommt, von dem zu sondern, was dieser Himmelskörper durch seine erwärmende Kraft bewirkt. Dafs

die beobachteten regelmässigen Schwankungen des Barometerstandes durch diese zwei Ursachen hauptsächlich bestimmt werden, ist keinem Zweifel unterworfen, so wie es klar ist, daß durch jede derselben eine besondere atmosphärische Ebbe und Fluth erzeugt wird; allein es fallen die Ebben und Fluthen, die von beiden Wirkungen herrühren, nicht mit einander zusammen. Durch die erwärmende Kraft der Sonne wird eine Fluth hervorgebracht, die in 24 Stunden wiederkehrt, und die *Carlini* die *dynamische* nennt, während durch ihre anziehende Kraft eine Fluth erzeugt wird, die in 24 Stunden zwei Mal eintritt, und daher eine Periode von 12 Stunden hat.

Carlini hatte sich eine Reihe von guten in gleichen Zeitabschnitten beobachteten Barometerbeobachtungen verschafft. Er selbst hat am 28. Mai zu beobachten angefangen, und dieses bis zum 29. Juni Tag und Nacht von vier zu vier Stunden fortgesetzt, mit einer bloßen Unterbrechung von drei Tagen. Nach einer vorläufigen Prüfung der Beobachtungsergebnisse hielt er es für sicherer, diese Beobachtungen in kürzeren Zeitabschnitten, etwa nach je zwei Stunden, auf einander folgen zu lassen. Er begann daher von neuem zu beobachten, und setzte seine Bemühung bis zur Hälfte des Juli fort. Um aber doch auch die ersteren Beobachtungen brauchen zu können, suchte er den Barometerstand, welcher mitten zwischen zwei Beobachtungszeiten Statt fand, durch folgendes Verfahren: Er suchte aus den Barometerhöhen, welche bei den nach je zwei Stunden angestellten Beobachtungen um 0 Uhr Statt hatten, das Mittel, und that dasselbe für alle Barometerhöhen, die um 4, 8, 12, 16, 20 U. beobachtet wurden; hierauf fand er eben so das Mittel für jede Beobachtungsstunde aus jenen Barometerhöhen, die um 2, 6, 10, 14, 18, 22 U. angestellt

wurden, und suchte dann die Differenz zwischen der halben Summe zweier zunächst auf einander folgenden Barometerhöhen der ersten Art und der mittleren Barometerhöhe der Zwischenstunde. Diese stets sehr kleine Größe diente als Correction für das Mittel, welches aus je zwei der nach vier Stunden auf einander folgenden Beobachtungen berechnet worden war, und gab dadurch nahe genug den um 2, 6, 8, 14, 18 etc. Uhr Statt habenden Luftdruck. Daß diese Correction erst angebracht wurde, nachdem der Barometerstand auf den Eispunct reducirt war, versteht sich von selbst. Doch scheint es, als habe *Carlini* nicht jede einzelne Barometerhöhe nach der dabei beobachteten Quecksilbertemperatur, sondern, was minder gut war, den mittleren Barometerstand nach dem mittleren Wärmegrad corrigirt. Da es sich bei diesen Beobachtungen nicht um die absolute Barometerhöhe, sondern nur um die kleinen Variationen der Höhe handelte, so wurde der Schwimmer des hierbei gebrauchten Gefäßbarometers nicht regulirt, um den dabei leicht zu begehenden Fehler zu vermeiden, sondern es wurde die jeder Zeit mittelst einer Loupe abgelesene Barometerhöhe erst nach der Hand durch Rechnung auf ein beständiges Niveau des Quecksilbers im Gefäße gebracht. *Carlini* gibt in seiner Denkschrift diese Correctionsmethode vollständig an. Wir übergehen sie, und lassen gleich die Resultate der Beobachtungen folgen. Dabei bedeutet t die wahre Beobachtungszeit, p'' den beobachteten Barometerstand, t den Stand des mit dem Barometer verbundenen Thermometers, b den corrigirten Barometerstand, d die halbe Summe zweier zunächst auf einander folgenden Barometerhöhen, und D die Differenz zwischen d und der den Stunden 2, 6, 8, 12 etc. entsprechenden Barometerhöhen.

<i>t</i>	<i>p</i> ''	<i>t</i>	<i>b</i>	<i>d</i>	<i>D</i>
0	334.580 P. L.	21°.28	332.8547		
2	334.438 »	21°.57	332.6898	332.6752	+ 0.0147
4	334.270 »	21°.91	332.4957		
6	334.188 »	21°.65	332.4346	332.5347	- 0.1001
8	334.278 »	21°.04	332.5738		
10	334.335 »	19°.96	332.7173	332.7097	+ 0.0076
12	334.416 »	19°.37	332.8457		
14	334.366 »	18°.85	332.8379	332.8401	- 0.0022
16	334.340 »	18°.57	332.8346		
18	334.384 »	18°.65	332.8716	332.9091	- 0.0375
20	334.565 »	19°.50	332.8936		
22	334.635 »	21°.21	332.9154	332.9191	- 0.0037

Die mittleren Barometerhöhen in den von vier zu vier Stunden gemachten Beobachtungen vom 28. Mai bis 19. Juli waren:

<i>t</i>	<i>p</i> ''	<i>t</i>	<i>b</i>
0	334.4008	19.282	332.8375
4	334.1088	19.496	332.5296
8	334.1566	18.882	332.5502
12	334.2998	17.930	332.8461
16	334.1984	17.154	332.8078
20	334.4090	17.936	332.9544

Nimmt man aus zwei auf einander folgenden Beobachtungen die halbe Summe, und setzt die der gleichen Stunde entsprechenden Werthe von *D* dazu, so erhält man die interpolirten Barometerhöhen, wie folget:

<i>t</i>	Halbe Summe.	<i>D</i>	<i>b</i>
2	332.6835	+ 0.0147	332.6982
6	332.5399	- 0.1001	332.4398
10	332.6981	+ 0.0076	332.7057
14	332.8296	- 0.0022	332.8247
18	332.8811	- 0.0375	332.8436
22	332.8960	- 0.0037	332.8923

Bevor aus diesen Beobachtungen ein Ausdruck für die periodischen Variationen des Luftdruckes abgeleitet werden konnte, überzeugte sich *Carlini* davon, daß ihre Anzahl groß genug sey, um die zufälligen Veränderungen des Barometerstandes unschädlich zu machen. Dieses konnte man aber keineswegs aus den Differenzen von verschiedenen Ordnungen abnehmen, weil es sich hier um eine Function handelt, welche aus einer Reihe von Sinussen besteht, die stufenweise um 30° oder 60° wachsen. Dahin führt eine Reihe, die *Lagrange* in den Berliner Ephemeriden für das Jahr 1763 entwickelt, und deren allgemeines Glied folgendes ist:

$$A_n = a \sin. (\alpha + n\varphi) + b \sin. (\beta + n\delta) \\ + c \sin. (\gamma + n\psi) + \dots$$

Man gebe der Größe n successive die Werthe -3 , -2 , -1 , 0 , $+1$, $+2$ etc., und setze voraus, es seyen die Werthe von A_{-3} , A_{-2} , A_{-1} , A_0 , A_1 , A_2 etc. bekannt. Besteht nun der Werth von A_n nur aus dem einen Gliede $a \sin. (\alpha + n\varphi)$, so hat man:

$$A_{-3} = a \sin. (\alpha - 3\varphi),$$

$$A_{-2} = a \sin. (\alpha - 2\varphi),$$

$$A_{-1} = a \sin. (\alpha - \varphi),$$

$$A_0 = a \sin. \alpha,$$

$$A_1 = a \sin. (\alpha + \varphi),$$

$$A_2 = a \sin. (\alpha + 2\varphi),$$

$$A_3 = a \sin. (\alpha + 3\varphi).$$

Stellen nun B_{-3} , B_{-2} , . . . B_1 , B_2 etc. die successiven Differenzen zwischen A_{-3} , A_{-2} , A_{-1} etc. vor, so ist

$$B_{-3} = 2a \sin. \frac{1}{2}\varphi \cos. (\alpha - \frac{3}{2}\varphi),$$

$$B_{-2} = 2a \sin. \frac{1}{2}\varphi \cos. (\alpha - \frac{1}{2}\varphi),$$

$$B_{-1} = 2a \sin. \frac{1}{2}\varphi \cos. (\alpha - \frac{1}{2}\varphi),$$

$$B_1 = 2a \sin. \frac{1}{2} \varphi \cos. (\alpha + \frac{1}{2} \varphi),$$

$$B_2 = 2a \sin. \frac{1}{2} \varphi \cos. (\alpha + \frac{3}{2} \varphi),$$

$$B_3 = 2a \sin. \frac{1}{2} \varphi \cos. (\alpha + \frac{5}{2} \varphi).$$

Werden eben so die zweiten Differenzen mit C_{-2} , C_{-1} , etc., die dritten mit D_{-2} , D_{-1} , etc. bezeichnet, so erhält man:

$$C_0 = -4a \sin.^2 \frac{1}{2} \varphi \sin. \alpha,$$

$$C_{-2} = -4a \sin.^2 \frac{1}{2} \varphi \sin. (\alpha - 2\varphi),$$

$$C_{-1} = -4a \sin.^2 \frac{1}{2} \varphi \sin. (\alpha - \varphi),$$

$$C_1 = -4a \sin.^2 \frac{1}{2} \varphi \sin. (\alpha + \varphi),$$

$$C_2 = -4a \sin.^2 \frac{1}{2} \varphi \sin. (\alpha + 2\varphi),$$

etc. etc.

$$D_{-2} = -8a \sin.^3 \frac{1}{2} \varphi \cos. (\alpha - \frac{3}{2} \varphi),$$

$$D_{-1} = -8a \sin.^3 \frac{1}{2} \varphi \cos. (\alpha - \frac{1}{2} \varphi),$$

$$D_1 = -8a \sin.^3 \frac{1}{2} \varphi \cos. (\alpha + \frac{1}{2} \varphi),$$

$$D_2 = -8a \sin.^3 \frac{1}{2} \varphi \cos. (\alpha + \frac{3}{2} \varphi),$$

etc. etc.

Man setze nun in der Reihe der Differenzen von ungerader Ordnung

$$B_0 = \frac{1}{2} (B_{-1} + B_1), \quad D_0 = \frac{1}{2} (D_{-1} + D_1), \quad \text{etc.}$$

und man erhält folgende regelmäfsig fortschreitende Werthe:

$$A_0 = a \sin. \alpha = 2^0 a \sin. \alpha \sin.^0 \frac{1}{2} \varphi,$$

$$B_0 = 2a \cos. \alpha \sin. \frac{1}{2} \varphi \cos. \frac{1}{2} \varphi = 2^0 a \cos. \alpha \sin.^0 \frac{1}{2} \varphi \sin. \varphi,$$

$$C_0 = -4a \sin. \alpha \sin.^2 \frac{1}{2} \varphi = -2^2 a \sin. \alpha \sin.^2 \frac{1}{2} \varphi,$$

$$D_0 = -8a \cos. \alpha \sin.^3 \frac{1}{2} \varphi \cos. \frac{1}{2} \varphi = -2^2 a \cos. \alpha \sin.^2 \frac{1}{2} \varphi \sin. \varphi,$$

$$E_0 = 16a \sin. \alpha \sin.^4 \frac{1}{2} \varphi = 2^4 a \sin. \alpha \sin.^4 \frac{1}{2} \varphi,$$

$$F_0 = 32a \cos. \alpha \sin.^5 \frac{1}{2} \varphi \cos. \frac{1}{2} \varphi = 2^4 a \cos. \alpha \sin.^4 \frac{1}{2} \varphi \sin. \varphi,$$

etc. etc.

Es ist leicht einzusehen, dafs, wenn man im obigen Ausdrücke von A_n mehrere Glieder, wie

$$a \sin. (\alpha + n\varphi) + b \sin. (\beta + n\delta) \text{ etc.}$$

beibehält, die Reihen A_0, C_0, E_0 etc., B_0, D_0 eben so viele geometrische Progressionen enthalten, und daher eine recurrirende Reihe vorstellen. Aber solche Reihen haben die Eigenschaft, daß

$$\frac{C_0}{A_0}, \frac{E_0}{C_0} \text{ etc.}, \frac{D_0}{B_0}, \frac{F_0}{D_0} \text{ etc.}$$

sich einem beständigen Werthe nähern, und dieser Werth ist für beide Reihen $-2^2 \sin.^2 \frac{1}{2} \varphi$, in der Voraussetzung, daß der Coefficient a von $\sin.(\alpha + n\varphi)$ unter allen Coefficienten des Werthes von A_n der größte ist. Umgekehrt wird man schliessen können, daß sich der Werth von A_n durch eine Function von der Form

$$A_n = a \sin.(\alpha + n\varphi) + b \sin.(\beta + n\delta) \text{ etc.}$$

darstellen läßt, sobald A_n in Zahlen ausgedrückt von der Art ist, daß die successiven Differenzen der vorhin angezeigten Ordnung in der Form

$$\frac{C_0}{A_0}, \frac{E_0}{C_0} \text{ etc.}, \frac{D_0}{B_0}, \frac{F_0}{D_0} \text{ etc.}$$

sich einem constanten Werthe nähern.

Um dieses Criterium auf obige Werthe von b anzuwenden, ziehe man von jedem Gliede das arithmetische Mittel aus allen ab, und setze für Mitternacht (12 U.) $n=0$, für 14 U. $n=1$, für 16 U. $n=2$ etc., für 10 U. $n=-1$ etc., und man erhält

$$A_0 = 0.1019, \quad C_0 = -0.1618, \quad E_0 = 0.3130, \\ B_0 = 0.0595, \quad D_1 = 0.0098, \quad F_0 = -0.0158,$$

$$G_0 = -0.8306, \quad I_0 = 2.7654,$$

$$H_0 = 0.0288, \quad K_0 = 0.1657,$$

und hieraus

$$\frac{A_0}{C_0} = -1.6, \quad \frac{E_0}{C_0} = -1.9, \quad \frac{G_0}{E_0} = -2.7, \quad \frac{I_0}{G_0} = 3.3,$$

Die Werthe $\frac{D_0}{B_0}$ etc. sind so klein, daß sich dar-

aus weder zu Gunsten noch zum Nachtheil unserer Hypothese etwas ableiten läßt. Die Regelmäßigkeit der ersteren Werthe spricht offenbar für die hinreichende Anzahl der Barometerbeobachtungen.

Man kann demnach annehmen, daß jene beobachteten Werthe mit Hülfe einer constanten Gröfse und eines veränderlichen Antheils von der Formel

$$a \sin. (\alpha + n \varphi) + b (\sin. \beta + n \delta) \text{ etc.}$$

dargestellt werden. Man setze nun dem Vorhergehenden gemäß voraus, es drücke das erste Glied dieser veränderlichen Gröfse die dynamische, das zweite die physische Fluth der Atmosphäre aus, und bezeichne den Barometerstand, welcher der wahren astronomischen Zeit H entspricht, mit b ; so ist

$$b = x + a \sin. (\alpha + 15^\circ H) + b \sin. (\beta + 30^\circ H);$$

oder, was zur weiteren Ausführung der Rechnung bequemer ist,

$$b = x + y \sin. h + y' \cos. h + z \sin. 2h + z' \cos. 2h,$$

wobei $h = 15^\circ H$ ist. Setzt man nun successive für h die Werthe $0, 2, 4 \dots 22$, und bezeichnet die entsprechenden Resultate von b mit b^0, b', b'' etc., so erhält man zwölf Gleichungen von der Form

$$b^0 = x + y \sin. 0^\circ + y' \cos. 0^\circ + z \sin. 0^\circ + z' \cos. 0^\circ,$$

$$b' = x + y \sin. 30^\circ + y' \cos. 30^\circ + z \sin. 60^\circ + z' \cos. 60^\circ,$$

$$\dots \dots \dots$$

$$b'' = x + y \sin. 330^\circ + y' \cos. 330^\circ + z \sin. 300^\circ + z' \cos. 300^\circ.$$

Weil man mehrere Gleichungen hat, als Unbekannte zu bestimmen sind, so kann man sich zur Ausmittelung der letzteren der Methode der kleinsten Quadratsumme bedienen. Nach dieser Methode erhält man

$$x = 332.7442, \quad y = -0.1919, \quad y' = 0.0177, \\ z = -0.0350, \quad z' = 0.0900,$$

und mithin

$$b = 332.7442 - 0.1919 \sin. h + 0.0177 \cos. h \\ - 0.0350 \sin. 2h + 0.0900 \cos. 2h.$$

Setzt man nun für h successive die Werthe 0° , 30° , 60° etc., so bekommt man die berechneten Werthe der folgenden Tafel, die, wie die beigesezten beobachteten Werthe zeigen, nur sehr wenig von letzteren entfernt sind.

h	b berechnet.	b beobachtet.	Differenz.
0°	332.8519	332.8375	— 0.0144
30°	332.6782	332.6982	+ 0.0200
60°	332.5115	332.5296	+ 0.0181
90°	332.4623	332.4398	— 0.0225
120°	332.5545	332.5502	— 0.0043
150°	332.7082	332.7057	— 0.0025
180°	332.8165	332.8461	+ 0.0296
210°	332.8396	332.8247	— 0.0149
240°	332.8263	332.8078	— 0.0185
270°	332.8461	332.8436	— 0.0025
300°	332.9045	332.9544	+ 0.0499
330°	332.9308	332.8923	— 0.0385

Obige Formel läßt sich auch compendiöser darstellen, indem man die Sinusse und Cosinusse desselben Winkels in einen Ausdruck zusammenfassen kann. Man erhält nämlich den Werth

$$b = 332.7442 + 0.1927 \sin. (174^\circ 44' + h) \\ + 0.0965 \sin. (111^\circ 15' + 2h);$$

oder, wenn man die Coefficienten zum Behufe der Correction des Quecksilberstandes im Gefäße des Barometers mit $\frac{36}{35}$ multiplicirt:

$$b = 332.7442 + 0.1982 \sin. (174^\circ 44' + h) \\ + 0.0993 \sin. (111^\circ 15' + 2h).$$

Um die Maxima und Minima zu finden, differenzire man diese Gleichung, und setze ihr Differentiale = 0.

Auf diese Weise wird

$$0.1982 \cos. (174^\circ 44' + h) + 0.1986 \cos. (111^\circ 15' + 2h) = 0.$$

Diese Gleichung läßt sich aber nicht direct auflösen, man kann sie aber auflöslich machen, wenn man die Coefficienten der zwei Cosinusse einander gleich setzt. Dadurch wird nämlich

$$\begin{aligned} \cos. (174^\circ 44' + h) &= - \cos. (111^\circ 15' + 2h) \\ &= \cos. (291^\circ 15' + 2h), \end{aligned}$$

und man erhält eine der gesuchten Wurzeln, wenn man setzt

$$174^\circ 44' + h = 291^\circ 15' + 2h \text{ oder } h = 243^\circ 29',$$

und die anderen, indem man setzt:

$$274^\circ 44' + h = 360^\circ - 291^\circ 15' + 2h,$$

$$174^\circ 44' + h = 2.360 - 291^\circ 15' + 2h,$$

$$174^\circ 44' + h = 3.360 - 291^\circ 15' + 2h,$$

woraus man erhält

$$h = 324^\circ 40', \quad h = 84^\circ 40', \quad h = 204^\circ 40'.$$

Um nun die Correction zu finden für den durch obige Gleichsetzung der zwei Coefficienten begangenen Fehler, sey h' ein genäherter Werth von h und $h = h' + \delta$, und es sey einer der Coefficienten im Werth von b gleich $p - \omega$, der andere $p + \omega$, mithin p der Mittelwerth beider, und ω eine sehr kleine Gröfse; man setze ferner $174^\circ 44' = m$, $291^\circ 15' = n$, so hat man die Gleichung $(p - \omega) \cos. (m + h' + \delta) = (p + \omega) \cos. (n + 2h' + 2\delta)$; und wenn man dieses entwickelt, und die Gröfsen der zweiten Ordnung in Bezug auf ω und δ vernachlässiget, so wird

$$\begin{aligned} p \delta \cos. (m + h') - \omega \cos. (m + h') - p \delta \sin. (m + h') &= \\ = p \cos. (n + 2h') + \omega \cos. (n + 2h') - 2 p \delta \sin. (n + 2h') \end{aligned}$$

oder

$$\delta = \frac{\omega}{p} \cdot \frac{\cos. (n + 2h') + \cos. (m + h')}{2 \sin. (n + 2h') - \sin. (m + h')}$$

$$= \frac{2\omega}{p} \cdot \frac{\cos. (m + h')}{2 \sin. (n + 2h') - \sin. (m + h')}$$

Setzt man nun für h' die vorhin gefundenen Werthe $84^\circ 40'$; $204^\circ 40'$; $243^\circ 29'$; $324^\circ 40'$; so wird nach der Ordnung $\delta = -0.00009 = -0'.4$; $\delta = -0.00147 = -6$; $\delta = 0.00096 = 4$ und $\delta = 0.00060 = -3$, und daher ergeben sich die Werthe von h wie folgt:

$h = 84^\circ 40'$; $h = 204^\circ 34'$; $h = 243^\circ 33'$; $h = 324^\circ 43'$; und daher die wahre Sonnenzeit, zu welcher die Maxima und Minima Statt finden für den Sommer:

Stund. desMax.	Stunden des Min.	Größte und kleinste Höhe.		Schwankung.	
13 ^h 38'	5 ^h 39'	332.8431	332.4517	- 0.0147	- 0.4861
21 ^h 39'	16 ^h 14'	332.9378	332.8284	0.3914	0.1094

Die Stunden $5\frac{1}{2}$, $1\frac{1}{2}$ nach Mitternacht, 4 und $9\frac{1}{2}$ U. früh wären demnach in Mailand die günstigsten Beobachtungsstunden für das Barometer, wenn man nur darauf ausginge, den Werth jener Maxima und Minima zu bestimmen, hingegen die ungünstigsten, wenn man die Stunden dieser Maxima und Minima erfahren wollte. Wer daher sowohl das eine als das andere zu bestimmen wünschte, der müßte entweder täglich acht Mal beobachten, nämlich zu der Zeit, wo die Ungleichheiten successiv den größten positiven und negativen Werth haben, oder überhaupt öfters nach gleichen Zwischenzeiten. Aus dem Vorhergehenden sieht man zugleich, daß man den mittleren Luftdruck nicht durch das arithmetische Mittel aus dem größten und kleinsten Werthe erhält. Nach obigen Beobachtungen ist das vormittägige

Max. 332.9378, das nachmittägige Min. 332.4517, mithin das Mittel aus beiden 332.6947, während das wahre 332.7442 beträgt. Dazu kommt noch, daß man, um das Maximum und Minimum zu erhalten, bei jeder Jahreszeit zu einer anderen Stunde beobachten muß, weil die Zeit das Maximum und Minimum mit der Jahreszeit ändert. Die vorhin angegebenen Perioden beziehen sich auf die Sommermonate; um sie für den Winter zu bestimmen, stellte *Carlini* zur Zeit des Wintersolstitiums (vom 1. December 1826 bis 20. Jänner 1827) 40tägige Beobachtungen an, und zwar auf solche Weise, daß in den ersten und dritten zehn Tagen um 0, 4, 8, 12, 16, 20 Uhr von Mitternacht an, in den zweiten und vierten hingegen um 0, 2, 6, 10, 14, 18, 22 Uhr beobachtet wurde. Die Mittelwerthe des Luftdruckes zu verschiedenen Stunden waren folgende:

Iste und IIIte Decade.		IIte und IVte Decade.	
Stunde.	Barometerstand bei 0° R.	Stunde.	Barometerstand bei 0° R.
0	332.4526	0	331.3332
4	332.3231	2	331.0812
8	332.3892	6	331.0344
12	332.3629	10	331.0933
16	332.3317	14	331.0150
20	332.5483	18	331.0252
		22	331.3852

Die Resultate dieser Beobachtungen sind nicht unmittelbar mit einander vergleichbar, weil sie eine Größe enthalten, welche von den unregelmäßigen Schwankungen der Atmosphäre abhängt. Um diese zu finden, sucht *Carlini* aus den von vier zu vier Stunden angestellten Beobachtungen das arithmetische Mittel, in welchem alle Ungleichheiten durch Sinusse und Cosinusse der Bogen, die aliquote Theile der ganzen Peripherie sind,

ausgedrückt werden können. Heißt man $\beta_0, \beta_2, \beta_4$ etc. die Barometerhöhen der ersten Beobachtungsreihe, $\beta_1, \beta_3, \beta_5$ etc. die der zweiten, so ist

$$\frac{1}{6} (\beta_0 + \beta_2 + \beta_4 + \beta_6 + \beta_8 + \beta_{10}) = 332.4013,$$

$$\frac{1}{6} (\beta_1 + \beta_3 + \beta_5 + \beta_7 + \beta_9 + \beta_{11}) = 331.0891,$$

und daher die halbe Differenz beider Mittel $= 0.6561$, welche zu den Beobachtungen der ersten Reihe addirt, und von denen der zweiten Reihe abgezogen, die Werthe von b gibt. Weil man auf diese Weise für b_0 zwei Werthe erhält, so kann man das Mittel beider als wahren Werth ansehen. Es wird für

$$H = 0^h \quad b_0 = 331.8929, \quad H = 12^h \quad b_6 = 331.7068,$$

$$2^h \quad b_1 = 331.7373, \quad 14^h \quad b_7 = 331.6711,$$

$$4^h \quad b_2 = 331.6670, \quad 16^h \quad b_8 = 331.6756,$$

$$6^h \quad b_3 = 331.6905, \quad 18^h \quad b_9 = 331.6813,$$

$$8^h \quad b_4 = 331.7331, \quad 20^h \quad b_{10} = 331.8911,$$

$$10^h \quad b_5 = 331.7494, \quad 22^h \quad b_{11} = 331.9413.$$

Verfährt man nun wieder wie vorhin nach der Methode der kleinsten Quadratsumme, so erhält man:

$$b = 331.7532 - 0.0331 \sin. h + 0.0557 \cos. h$$

$$- 0.0471 \sin. 2h + 0.0489 \cos. 2h,$$

woraus sich folgende Werthe ergeben:

h	b berechnet.	b beobachtet.	Differenz.
0^0	331.8578	331.8929	+ 0.0351
30^0	331.7686	331.7373	- 0.0313
60^0	331.6871	331.6670	- 0.0201
90^0	331.6712	331.6905	+ 0.0193
120^0	331.7129	331.7331	+ 0.0202
150^0	331.7536	331.7494	- 0.0042
180^0	331.7464	331.7069	- 0.0395
210^0	331.7050	331.6711	- 0.0341
240^0	331.6887	331.6756	- 0.0131
270^0	331.7374	331.6813	- 0.0561
300^0	331.8261	331.8922	+ 0.0661
330^0	331.8834	331.9413	+ 0.0579

Obige Formel, blofs durch Sinusse ausgedrückt, und die Coefficienten mit $\frac{36}{35}$ zur Correction des Niveau des Quecksilbers im Gefäße des Barometers reducirt, gibt

$$b = 331.7532 + 0.0667 \sin. (120^\circ 44' + h) + 0.0698 \sin. (133^\circ 54' + 2h),$$

aus welcher man zur Bestimmung des Maximum und Minimum erhält:

$$0.0667 \cos. (120^\circ 44' + h) + 0.1396 \cos. (133^\circ 54' + h) = 0.$$

Durch blofses Versuchen erhält man die Näherungswerthe

$$h = 80^\circ, \quad h = 160^\circ, \quad h = 235^\circ, \quad h = 335^\circ,$$

oder mit dem fehlenden Theil

$$h = 81^\circ 10', \quad 160^\circ 47', \quad 233^\circ 51', \quad 336^\circ 21';$$

mithin erhält man folgende Stunden des Maximum und Minimum:

Stunde des Maximum.	Barometerstand	Stunde des Minimum.	Barometerstand
10 ^h 43'	331.7574	5 ^h 25'	331.6672
22 ^h 25'	331.8891	15 ^h 35'	331.6854

Es fällt demnach das Maximum und das Minimum im Winter in andere Stunden als im Sommer, auch die Excursionen des Barometers sind in beiden Jahreszeiten verschieden, und zwar ist die erste und letzte im Sommer viel größer als die dazwischen liegenden. Am besten übersieht man alles dieses durch graphische Darstellung sowohl der dynamischen als der physischen Fluth im Winter und Sommer. Es drückt nämlich der Ausdruck $19.92 \sin. (174^\circ 44' + h)$ die physische Fluth im Sommer, und der Ausdruck $16.67 \sin. (120^\circ 44' + h)$

dieselbe im Winter aus, und die punctirte Curve in Fig. 13 stellt erstere, dieselbe in Fig. 14 die letztere vor. Die dynamische Fluth gibt für den Sommer die Formel $9.93 \sin.(111^\circ 15' + 2h)$, und für den Winter die Formel $6.98 \sin.(133^\circ 54' + 2h)$ an. Diese Fluthen werden in Fig. 13 und 14 durch die mit kleinen Strichen bezeichnete Curve dargestellt. Die Summe der Ordinaten beider Fluthen gibt die totale beobachtete Fluth an, und die ganz ausgezogene Curve stellt diese vor. Schon der bloße Anblick dieser Figuren zeigt, daß die dynamische Fluth im Winter und Sommer fast denselben Gang nimmt. Aber die physische Fluth ist im Sommer fast drei Mal größer als im Winter, welches sich aus den im Sommer viel größeren Temperaturdifferenzen leicht erklären läßt.

Da die bisher besprochenen Phänomene sich nur auf Mailand beziehen, so blieb noch übrig zu sehen, wie sie sich in verschiedenen Breiten und selbst in derselben Breite bei verschiedener Beschaffenheit des Bodens verhalten. Dazu benützt *Carlini* zuerst die von *Chiminello* zu Padua angestellten Beobachtungen, nachdem er sie um $\frac{1}{160}$ L. corrigirt hatte. Sie sind folgende:

Stunde.	Barometerstand.	Stunde.	Barometerstand.
0	334.1062	12	333.9687
2	333.9687	14	333.9750
4	333.8125	16	333.9375
6	333.7250	18	334.0125
8	333.8250	20	334.1375
10	333.9500	22	334.1812

Aus diesen ergibt sich die Gleichung

$$b = 333.9666 + 0.1488 \sin.(151^\circ 31' + h) + 0.1039 \sin.(123^\circ 44' + 2h),$$

aus welcher folgende Werthe abgeleitet werden:

<i>h</i>	<i>b</i> berechnet.	<i>b</i> beobachtet.	Differenz.
0°	334.1240	334.1062	— 0 0178
30°	333.9559	333.9687	+ 0 0128
60°	333.7956	333.8125	+ 0.0169
90°	333.7494	333.7250	— 0.0244
120°	333.8246	333.8250	+ 0.0004
150°	333.9329	333.9500	+ 0.0171
180°	333.9820	333.9687	— 0.0133
210°	333.9637	333.8750	+ 0.0113
240°	333.9512	333.9375	— 0.0137
270°	334.0110	334.0125	+ 0.0015
300°	334.1222	334.1375	+ 0.0153
330°	334.1867	334.1812	— 0.0055

Um die Coefficienten der allgemeinen Gleichung für den Winter zu Padua zu finden, benutzt *Carlini* die vom 1. Jänner bis 6. Februar 1778, und die vom 10. October bis 22. December desselben Jahres von *Chiminello* angestellten Beobachtungen, die folgende Werthe von *b* geben:

Stunde.	Luftdruck.	Stunde.	Luftdruck.
0	337.1250	12	337.2312
2	336.8937	14	337.0000
4	336.9250	16	336.9375
6	337.0250	18	336.9187
8	337.1625	20	337.0125
10	337.2687	22	337.2125

Die Methode der kleinsten Quadratsumme führt hieraus zu der Gleichung

$$b = 337.0594 + 0.0641 \sin. (301^\circ 24' + h) + 0.1621 \sin. (143^\circ 57' + 2h),$$

aus der sich wieder folgende specielle Werthe ergeben:

<i>h</i>	<i>b</i> berechnet.	<i>b</i> beobachtet.	Differenz.
0°	337.1016	337.1250	+ 0.0234
30°	336.9646	336.8937	— 0.0709
60°	336.9000	336.9250	+ 0.0250
90°	336.9959	337.0250	+ 0.0291
120°	337.1798	337.1625	— 0.0173
150°	337.2844	337.2687	— 0.0157
180°	337.2110	337.2315	+ 0.0202
210°	337.0260	337.0000	— 0.0260
240°	336.8970	336.9375	+ 0.0405
270°	336.9291	336.9187	— 0.0104
300°	337.0671	337.0125	— 0.0546
330°	337.1562	337.2125	+ 0.0563

Differenzirt man die beiden vorhergehenden, auf Padua sich beziehenden Gleichungen, und setzt das Differenziale gleich Null, so findet man:

$$0.1488 \cos.(151^\circ 31' + h) + 0.2078 \cos.(123^\circ 44' + 2h) = 0,$$

$$0.0641 \cos.(301^\circ 24' + h) + 0.3242 \cos.(143^\circ 37' + 2h) = 0,$$

woraus sich folgende Werthe für die Zeit des Maximum und Minimum ergeben:

Stunden.	Barometerhöhe.	Excursion.	
5 ^h 38'	333.7475	+ 0.2346 Min.	} Sommer.
12 ^h 13'	333.9811	— 0.0334 Max.	
17 ^h 31'	333.9487	+ 0.2384 Min.	
22 ^h 7'	334.1871	— 0.4396 Max.	
3 ^h 51'	336.8892	+ 0.3954 Min.	} Winter.
10 ^h 12'	337.2853	— 0.3964 Max.	
16 ^h 36'	336.8889	+ 0.2687 Min.	
22 ^h 15'	347.1576	— 0.2677 Max.	

Demnach wird auch durch diese Beobachtungen die Wahrheit bestätigt, daß die stündlichen Schwankungen des Barometers aus zwei Theilen bestehen, deren einer vom einfachen, der andere vom doppelten Stun-

denwinkel abhängt, und daß der Coefficient des ersten im Sommer zwei bis drei Mal größer ist, als im Winter; ferner daß sich der Coefficient des zweiten Theiles sehr wenig mit der Jahreszeit ändert, endlich daß die Stunden der Minima und Maxima im Sommer nicht dieselben sind, wie im Winter, und daß die zwei Minima im Winter eher eintreten, als im Sommer, während das Morgenmaximum im Winter etwas später kommt. Folgende Tafel stellt alles dieses noch klarer dar, bei welcher der beständige Theil von *b* weggelassen ist.

	M a i l a n d.		P a d u a.	
	Sommer	Winter.	Sommer	Winter.
Physische Fluth. Coefficient	+0.1982	+0.0667	+0.1488	+0.0641
Const. des Arguments	174° 44'	120° 44'	151° 31'	301° 24'
Dynamische Fluth. Coefficient	+0.0993	+0.0698	+0.1039	+0.1621
Const. des Arguments	111° 15'	133° 54'	123° 44'	147° 17'
Minimum des Abendes	5 ^h 39'	5 ^h 25'	5 ^h 38'	3 ^h 51'
Excursion	+0.3914	+0.0902	+0.2346	+0.3954
Minimum der Nacht .	13 ^h 38'	10 ^h 43'	12 ^h 13'	10 ^h 12'
Excursion	+0.0147	+0.0720	+0.0334	+0.3964
Minimum des Morgens	16 ^h 14'	15 ^h 35'	17 ^h 31'	16 ^h 36'
Excursion	+0.1094	+0.2037	+0.2384	+0.2687
Maximum des Morgens	21 ^h 39'	22 ^h 25'	22 ^h 7'	22 ^h 15'
Excursion	+0.4861	+0.2209	+0.04396	+0.2677

Der Coefficient der dynamischen Oscillation ist für Mailand etwas kleiner im Sommer, als im Winter, doch scheint diese Differenz bloß von Beobachtungsfehlern abzuhängen. Aber für Padua ist diese Differenz bedeutend, und sogar der zu den Mailänder Beobachtungen gehörigen entgegengesetzt; die Constante des Argumentes der physischen Winterfluth für Padua differirt fast um 180° von der zu Mailand, welches nach *Carlini's* Meinung von einer mangelhaften Reduction der Barometerstände auf den Eispunkt abhängt.

Es ist auch möglich, daß die Elemente, von denen die atmosphärischen Oscillationen abhängen, in den einzelnen Jahren eben so variiren, wie die Temperatur, die Richtung der Winde etc. Um die verschiedenen Ursachen des so ungemein complicirten Phänomens einiger Maßen zu sondern, wäre zu wünschen, daß man die in verschiedenen Orten beobachteten Mittelwerthe mit einander vergleichen könnte. Dazu benützt *Carlini* mehrere an mehreren Orten Italiens im Jahre 1823 gleichzeitig angestellte Beobachtungen, welche durch eine an die meisten Astronomen Europas ergangene Einladung der Berliner Academie veranlaßt wurden. Diese Beobachtungen mußten vom 18. Jänner an bis zum 18. Juli von zwei zu zwei Stunden von 8 Uhr früh bis 10 Uhr Abends angestellt werden. In Oberitalien wurden diese Beobachtungen an sieben Plätzen, nämlich zu Mailand, Pavia, Turin, Padua, Modena, Bologna und Florenz, jedoch in ungleicher Anzahl, angestellt. Die folgende Tafel enthält die Mittelwerthe der Barometerstände auf 0° R. reducirt:

Stunden.	Mailand.	Pavia.	Turin.	Padua.	Modena.	Bologna.	Florenz.
20	331.906	333.146	325.890	335.079	334.647	332.725	334.777
22	331.885	333.039	325.753	335.035	334.592	332.804	334.741
0	331.760	332.963	325.603	335.000	334.458	332.688	334.263
2	331.632	332.781	325.528	334.952	334.238	332.503	334.413
4	331.560	332.516	325.244	334.846	334.068	332.359	334.282
6	331.516	332.491	325.466	334.736	334.039	332.349	334.268
8	331.632	332.611	325.685	334.899	334.383	332.489	334.507
10	331.778	332.880	325.839	334.992	334.336	332.605	334.836

Aus diesen Werthen erhält man mittelst der anfänglich entwickelten Formel durch die Methode der klein-

sten Quadratsumme folgende Gleichungen für die Barometerhöhe b .

M a i l a n d :

$$b = 331.7812 + 0.2071 \sin. (136^\circ 56' + h) \\ + 0.0544 \sin. (349^\circ 13' + 2h).$$

P a v i a :

$$b = 332.9584 + 0.4001 \sin. (138^\circ 9' + h) \\ + 0.1112 \sin. (306^\circ 36' + 2h).$$

T u r i n :

$$b = 332.7259 + 0.2811 \sin. (157^\circ 30' + h) \\ + 0.0997 \sin. (20^\circ 50' + 2h).$$

P a d u a :

$$b = 335.0302 + 0.1992 \sin. (145^\circ 40' + h) \\ + 0.0774 \sin. (296^\circ 44' + 2h).$$

M o d e n a :

$$b = 334.3405 + 0.1701 \sin. (109^\circ 57' + h) \\ + 0.1693 \sin. (40^\circ 59' + 2h).$$

B o l o g n a :

$$b = 332.5908 + 0.1538 \sin. (112^\circ 35' + h) \\ + 0.1169 \sin. (14^\circ 11' + 2h).$$

F l o r e n z :

$$b = 334.7482 + 0.5326 \sin. (162^\circ 20' + h) \\ + 0.0836 \sin. (274^\circ 19' + 2h).$$

Alle Glieder, welche der physischen Fluth angehören, zeigen eine hinreichende Gleichmäßigkeit, indem die Coefficienten von $\sin. h$ durchaus negativ, die von $\cos. h$ durchaus positiv sind, mithin die Constanten des Argumentes durchaus im zweiten Quadranten, und zwar

zwischen 110° und 162° liegen. Die Glieder hingegen, welche zur dynamischen Fluth gehören, variiren sehr stark in der Gröfse und im Zeichen, müssen daher in der Folge noch näher studirt werden. Hier ist es genug, gezeigt zu haben, wie dieses scheinbar so variable Phänomen der Rechnung unterworfen werden kann.

Nun noch einige Bemerkungen über die unregelmäßigen Barometerschwankungen. Gewöhnlich nimmt man an, dafs der Unterschied zwischen der grössten und kleinsten Barometerhöhe desto kleiner ist, je höher ein Ort liegt; hier aber, wo der Höhenunterschied der Stationen zwar sehr klein ist, zeigt es sich, dafs die grössten Excursionen des Barometers immer der kleineren Höhe entsprechen. Die folgende Tabelle gibt die Excursionen des Barometers an den beigesetzten Orten an, wie sie aus den vom 18. Juni bis 18. Juli 1823 angestellten Beobachtungen dadurch gefunden wurden, dafs nach Hinweglassung der kleinen, unterhalb $\frac{1}{4}$ L. liegenden, den stündlichen Veränderungen angehörigen Variationen, die Summe der jedem Beobachtungsorte entsprechenden successiven gröfseren Differenzen durch die Anzahl dieser Veränderungen (12) getheilt wurde. Nebenbei stehen die mittleren Barometerhöhen:

O r t.	Mittlere Excursion des Barometers.	Mittlere Barometerhöhe.
Padua	2.39 L.	335.03 L.
Florenz	2.47 »	334 75 »
Mailand	2 83 »	331.74 »
Bologna	3.02 »	332.59 »
Modena	3.06 »	334 34 »
Pavia	3.13 »	332.96 »
Turin	3.16 »	325.73 »

Hier findet also am höchsten Orte (Turin) die grösste Variation Statt.

Zur näheren Bestimmung des Ganges der größeren Barometerschwankungen in Betreff der Zeit ihres Eintrittes an verschiedenen Orten, hat *Carlini* den Augenblick angegeben, wo an jedem Orte ein Barometerstand Statt fand, welcher mitten zwischen dem Maximum und Minimum der vorhin angegebenen Excursion lag. Die folgende Tafel gibt an, um wie viel eher oder später dieses an jedem Beobachtungsorte Statt findet, als zu Mailand.

Pavia, . früher $1^h . 9$, Turin, . später $0^h . 5$,

Padua, . später $3^h . 4$, Modena, früher $0^h . 9$,

Bologna, früher $0^h . 6$, Florenz, früher $2^h . 2$.

Gesetzt, es sey der Zeitunterschied in Vergleich mit Mailand ausgedrückt durch eine unbekannte Constante x , multiplicirt durch die Längendifferenz, mehr einer anderen unbekanntem y , multiplicirt mit der Breiten-differenz, und man erhält:

$$\begin{array}{ll} 0x - 17y = -1^h . 9, & -6x - 24y = 0^h . 5, \\ 11x - 4y = 3^h . 4, & 7x - 49y = -0^h . 9, \\ 8x - 58y = -0^h . 6, & 8x - 102y = -2^h . 2, \end{array}$$

woraus sich nach der Methode der kleinsten Quadrate ergibt:

$$334x - 1523y = 5.7, \quad -1523y + 1706y = 310,$$

oder

$$x = 0.167. \quad y = 0.033.$$

Es sey nun α die Länge, β die Breite von Mailand, $\alpha + p$, $\beta + q$ die Länge und Breite eines anderen Beobachtungsortes, δ die Zeit, wo der zu Mailand vorhin bezeichnete mittlere Barometerstand eintritt, $t + \delta$ die, wo an anderen Orten dasselbe Statt findet, so erhält man nahe:

$$t + \delta = t + \frac{p}{6} + \frac{q}{30},$$

wenn p in Zeitminuten, q in Gradminuten ausgedrückt ist, und erstere einen positiven Werth hat für Orte, die östlich von Mailand liegen, q hingegen für die, welche eine nördlichere Lage haben, t und δ aber in Stunden und ihren Decimaltheilen ausgedrückt sind. Da nun δ die nach dem Mailänder Meridian gezählte Zeit ist, so ist die nach dem Beobachtungsorte gezählte $\delta' = \delta - p$, und daher

$$\delta' = 9p + 2q.$$

Diese Formel lehrt im Allgemeinen, daß sich die Barometerschwankungen von West nach Ost, und von Süd nach Nord fortpflanzen. Um die Lage der Linie zu finden, deren Richtung die Luftwelle beschreibt, muß man p und q nach einerlei Einheit ausdrücken, wodurch man erhält $\delta' = 0.9$. Da ist nun $p' + 2q$ die Tangente des Winkels, unter welcher die genannte Linie gegen den Meridian geneigt ist. Der Winkel beträgt demnach 24° , und in der um 66° gegen den Meridian geneigten Linie müssen die Barometerschwankungen nahe gleichzeitig mit denen zu Mailand erfolgen; eine Linie, die nahe mit dem Zuge der Küsten des adriatischen Meeres zusammenfällt.

Man drücke nun durch $px + qy$ den mittleren Werth aus, um welchen die Schwankungen in Mailand früher oder später eintreten, als anderwärts. Substituirt man nun für p und q die der Lage der Beobachtungsorte entsprechenden Werthe, und setzt jeden dieser Ausdrücke der mittleren an diesem Orte beobachteten Excursion gleich, so erhält man endlich

$$\begin{aligned} 334x + 1811y &= 131.1, \\ 1811x + 17010y &= 593.9, \end{aligned}$$

und hieraus

$$x = 0.4670,$$

$$y = - 0.0137.$$

Demnach pflanzen sich die Oscillationen der Atmosphäre in der Richtung der Länge drei bis vier Mal schneller fort, als in der Richtung der Breite.

Carlini hat in derselben Denkschrift auch den täglichen Gang der Wärme und der Luftfeuchtigkeit nach demselben Principe untersucht, nach welchem er die regelmässigen Barometerschwankungen erörterte. Allein die Resultate der Rechnung stimmen nicht so genau mit der Erfahrung zusammen, wie die auf Luftschwankungen Bezug habenden, welche *Carlini* auf so geistreiche Weise zu behandeln wufste.

2. Beobachtungen des Barometer- und Thermometerstandes zu Malmanger und Ullenswang in Norwegen, vom Jahre 1798 bis 1828.

Von *Herzberg*.

(*Edinb. journ. of sc. N. 18, p. 292.*)

Im dritten Bande, S. 248 dieser Zeitschrift sind dem Leser die von *Herzberg* während 29 Jahren beobachteten höchsten und niedrigsten Barometerstände in Malmanger und Ullenswang mitgetheilt worden. Derselbe Beobachter macht in *Brewster's Journal of science* die Resultate seiner dreissigjährigen Beobachtungen des Barometer- und Thermometerstandes an demselben Orte bekannt, und es dürfte den Freunden meteorologischer Forschungen nicht unwillkommen seyn, diese Resultate, so wie die früheren, hier zu finden.

Die Beobachtungen *Herzberg's* wurden vom Jahre 1798 bis 1807 zu Malmanger in der Diöcese von Bergen in einer Breite von $59^{\circ} 58'$, und einer Höhe von 64

rheinl. Fufs über der Meeresfläche angestellt; von 1807 an bis zum Jahre 1828 aber zu Ullenswang in einer Breite von 60° 19', in einer Höhe von 32 rheinl. Fufs über der Meeresfläche. Die Barometerhöhe ist in französischen Zollen ausgedrückt, und auf 0° R. reducirt. Hier folgen die Resultate der Beobachtungen:

Jahr	Barometerstand.	Thermometer nach. R.	Mittlere Temperatur der Monate Mai, Juni, Juli und August.
1798.	27 Z. 11.6 L.	+ 6.99	+ 13.3
1799.	28 » 0.2 »	6.15	11.8
1800.	27 » 10.1 »	5.84	10.9
1801.	27 » 11.5 »	6.55	12.8
1802.	27 » 11.2 »	4.85	9.5
1803.	28 » 0.1 »	4.50	10.6
1804.	27 » 11.8 »	5.30	10.8
1805.	27 » 11.9 »	5.50	11.1
1806.	27 » 11.6 »	5.27	10.9
1807.	27 » 11.5 »	5.10	11.4
1808.	28 » 0.3 »	5.72	13.0
1809.	28 » 0.4 »	5.12	12.2
1810.	28 » 0.7 »	4.96	10.6
1811.	27 » 11.8 »	6.75	12.0
1812.	28 » 0.4 »	7.70	10.3
1813.	28 » 0.5 »	6.63	12.9
1814.	28 » 0.6 »	5.50	10.9
1815.	28 » 1.1 »	5. 0	11.8
1816.	27 » 11.6 »	5. 7	12.0
1817.	27 » 11.1 »	5.96	11.2
1818.	28 » 0.1 »	6.62	12.0
1819.	28 » 0.3 »	6.50	12.8
1820.	28 » 0.9 »	5.80	11.9
1821.	27 » 11.4 »	6.10	11.0
1822.	27 » 11.9 »	6.75	12.0
1823.	27 » 11.8 »	5.64	10.7
1824.	27 » 9.5 »	6.77	11.9
1825.	28 » 0.1 »	6.69	12.5
1826.	28 » 0.7 »	6.75	12.6
1827.	27 » 11.4 »	5.60	11.3
	27 » 11.87 »	5.08	11.62

Die Temperatur der Quellen wechselt an dem Beobachtungsorte von 5° — 6° R., stimmt also mit der mittleren Temperatur der Luft nahe überein. Die geringste Jahrestemperatur herrschte in den Jahren 1802 und 1812. Merkwürdig ist es, daß diese Jahre zugleich die unfruchtbarsten waren.

3. Mittlere Temperatur zu Penzanse. Von Giddy.

(*Edinb. journ. of sc. N. 17.*)

Thermometerbeobachtungen, die sieben Jahre lang zu Penzanse fortgesetzt wurden, geben im Durschschnitte folgende Resultate:

Jahre.	Maximum.	Minimum.	Mittlere Temp.
1821.	73° F.	26° F.	52° 5 F.
1822.	78° »	28° »	53° 0 »
1823.	70° »	27° »	51° 0 »
1824.	72° »	30° »	51° 5 »
1825.	84° »	29° »	52° 0 »
1826.	80° »	26° »	53° 5 »
1827.	73° »	24° »	51° 5 »

Also beträgt das Maximum im Durchschnitt 75° 1/2, das Minimum 25.1, und der Mittelwerth 52° 0. Giddy hat noch andere Beobachtungen, die von 1807 bis 1827 reichen, bekannt gemacht, und nach diesen die mittlere Temperatur gleich 54° 5 gefunden. Allein die Beobachtungen wurden nur um 8 U. früh und um 2 U. Nachmittag angestellt, und müssen daher ein Resultat geben, welches nicht als der wahre Mittelwerth der herrschenden Temperatur angesehen werden kann. Brewster suchte daraus den wahren Mittelwerth nach den Ergebnissen der zu Leith in den Jahren 1824, 1825 und 1826 angestellt

ten Beobachtungen. Diesen gemäß übertrifft das Mittel aus den um 8 U. früh und um 2 U. Nachmittag angestellten Beobachtungen die wahre mittlere Temperatur des Beobachtungsortes um $2^{\circ}.03$. Wird diese Gröfse von obigem Resultate abgezogen, so erhält man $52^{\circ}.47$ als mittlere Temperatur; eine Gröfse, die mit der aus obigen Beobachtungen sich ergebenden hinreichend übereinstimmt. Berechnet man nach *Brewster's* Formel, von der schon Bd. 4, S. 337 dieser Zeitschrift die Rede war, diese Gröfse, so erhält man $52^{\circ}.2$.

Die Temperaturbeobachtungen, die während der Beobachtung zu verschiedenen Zeiten während der Beobachtung zu folgenden Resultaten:

Zeit	Maximum	Minimum	Mittlere Temp.
8 U. früh	52.5	48.5	50.5
2 U. Nachmittag	53.0	49.0	51.0
Mittlere Temperatur	52.47	48.5	50.5

Als Prüfung der Maxima im Durchschnitt $52^{\circ}.47$ das Mittel aus den Beobachtungen, die von 8 bis 2 U. früh und von 2 bis 8 U. Nachmittag gemacht, und nach dieser die mittlere Temperatur gleich $52^{\circ}.03$ gefunden. Allein die Beobachtungen werden nur am 1. Juli und am 2. Juli gemacht, und lassen daher ein Resultat geben, welches nicht als ein wahres Mittel der Beobachtungen angesehen werden kann. Dementselbst wurde daher der wahre Mittelwert nach den Beobachtungen am 1. Juli in den Jahren 1847 und 1848 ermittelt.

Alphabetisches Register für die ersten fünf Bände.

Die römischen Zahlen bedeuten den Band, die arabischen die Seite des Bandes.

A.

- A**blenkung der Magnetenadel durch Maschinenelectricität, II. 40, III. 440.
- Absorption der Dünste, IV. 368; des Lichtes, II. 85.
- Aequator, magnetischer der Erde, I. 64. Mittlere Temperatur am Aequator, IV. 335.
- Airy*, Fehler im Auge, III. 452.
- Akustik. Bewegung der Schwingungsknoten, IV. 109. Bildung der dritten *Tartin'schen* Tons, I. 327. Einfluß des Mittels auf die Tonhöhe, I. 221. Entstehung der Klangfiguren, I. 323. Fortpflanzung der vibrirenden Bewegung in Flüssigkeiten, I. 335. Geschwindigkeit des Schalles in der Luft, I. 210. Gestalt der Klangfiguren, I. 226. Molecularbewegung schallender Körper, I. 225. Nutzen des Trommelfelles und des äußern Ohrs, I. 331. Polarisation des Schalles und doppelte Brechung, I. 218. Schwingungen gespannter Saiten, I. 223; der Luft in Orgelpfeifen, I. 328. Transversale Schwingungen, IV. 104. Versuche über das Gehör, IV. 104.
- Alkoate, V. 362.
- Alkohol aus gährendem Brod, II. 283. Rectification desselben, III. 411; V. 358.
- Althein, IV. 114; äpfelsaures, IV. 115.
- Ammoniak, bildet es sich beim Kalklöschchen, II. 315.
- Amici*, Eigenschaft des Lichtes beim Anblick kleiner Punkte durch Fernröhre, I. 282. Mikroskope, I. 301.
- Ampère*, mag Versuche, II. 335.
- Amphibien. Temperatur derselben, III. 385.
- Analyse des verwunschenen Burggrafen, V. 1; des zu Pakfong verwendeten Nickels, III. 19; des Eisenbrunnen bei Prefsburg, III. 280; der Luhatschowitzer Trinkquelle, IV. 171; des silberhält. Goldes, III. 501.
- Anderson*, Höhenformel mit der Correction für die Luftfeuchtigkeit, I. 37.
- Analcim, II. 21.
- Anomalie des Sehens, IV. 378.
- Apparat, electro-magnetischer, I. 200; zum Auffangen der Gase bei electricen Zersetzungen, III. 320.

Aräometer zur schnellen Bestimmung des spec. Gewichtes fester Körper, I 5. Graduirenden derselben, I. 316.

Arago, Einfluß der Nordlichter auf die Magnetonadel, IV. 340. Hagelableiter, IV. 324. Rotationsmagnetismus, II. 329.

Atmosphäre. Grenze derselben, III. 383. Wärmeabnahme nach oben, III. 475. Wirkung des Mondes auf sie, IV. 231.

Auge. Dauer des Eindruckes in demselben bei verschiedenen Farben, IV. 380. Einfachsehen mit zwei Augen, V. 111 u. 117. Fähigkeit, sich der Entfernung anzupassen, II. 91. Fehler derselben, III. 452. Einfachsehen mit beiden Augen, V. 111. Aufrechtsehen, V. 117.

August, Psychrometer, I. 465; IV. 64.

Auflösung. Aufgaben aus der Wahrscheinlichkeitsrechnung, I. 228; arithmetische, V. 281; geogetische, II. 517; magnetische, I. 117. System mehrerer Gleichungen vom ersten Grade, V. 209.

Azotgehalt der Vegetabilien, II. 537.

B.

Babbage, Rotationsmagnetismus, I. 130.

Bacelli, Rotationsmagnetismus, I. 142.

Bachmann, über unterphosphors. Kalk, III. 24. Analyse des Eisenbrunnen bei Prefsburg, III. 280. Manganpräparate, IV. 312.

Baily, unveränderliches Pendel, V. 101.

Balard, Brom, II. 283.

Barclay, Quadrant, II. 348.

Barlow, Versuche über Magnetismus rotirender Eisenkugeln, I. 132. Wirkung einer massiven und hohlen rotirenden Kugel, III. 79. Tägliche Variation der Stärke des Erdmagnetismus, III. 82. Neigung und Stärke der Magnetonadeln, III. 332.

Barometer. Höhemessung mit demselben, I. 55 u. 170; das seinen Gang selbst angibt, II. 238; ungewöhnlich hoher Stand, IV. 47; Reisebarometer, II. 74; Stand desselben bei verschiedenen Winden, V. 243; Gang zu Paris, V. 246.

Batterie, galvanische, I. 190. Bau fester Körper, III. 240.

Baumgartner, Aräometer, I. 5. Instrument zur Bestimmung der doppelten Brechung, I. 30. Rotationsmagnetismus, I. 146. Electro-magnetischer Apparat, I. 200. Magnetisirung durch Licht, I. 263. Circuläre Polarisation, II. 1. Meteorologische Beobachtungen, II. 59 u. 218. Verminderung des Aussehlagswinkels der Magnetonpendeln durch rotirende Metallscheiben, II. 419. Einfluß des Sonnenlichtes auf oscillirende Magnete, III. 96 u. 157. Zur Theorie der Beugung des Lichtes, III. 443. Ueber Hygrometer, IV. 50; V. 293. Beiträge zur Berechnung achromatischer Fernröhre, III. 129; zur Lehre von der Entwicklung der Functionen, II. 254; zur Beugung, III. 443.

Becquerel, Einfluß der Temperatur auf Berührungselectricität, I. 430. Phosphoreszenz, II. 83. Electricität

eines Metalldrahtes in einer Flamme, IV. 251. Electricität durch Spalten und Drücken, IV. 252; des Turmalins, IV. 356. Lichtsauger, II. 83.

Bellani, Festwerden und Krystallisiren, III. 481. Thermobarometer, IV. 228.

Berechnung achromatischer Fernröhre, III. 120, 285.

Bericht über den Gang einer Pendeluhr, I. 299.

Berührungselectricität. Erregung derselben, III. 104. Scheidungen durch dieselbe, III. 123.

Berzelius, Entdeckung des Arseniks, I. 308.

Beschreibung eines Instrumentes zur Messung der Expansivkraft des Dampfes, I. 383; einer Kaffehmaschine, II. 269.

Bevan, Elasticität des Eises, III. 246.

Bewegungen, electriche, III. 120, 348.

Beweis der Unauflöslichkeit der Gleichungen, welche den 4^{ten} Grad übersteigen, I. 253; des Kräfteparallelogramms, II. 279; des *Taylor'schen* Lehrsatzes, II. 536; eines analyt. Lehrsatzes, III. 175.

Blackkadder, Farbe der Flammen, I. 407. Registerthermometer, II. 78. Absorption des Lichtes, II. 85. Barometer, das seinen Gang markirt, II. 238. Thermometer und Hygrometer derselben Art, II. 240.

Blitzröhren, IV. 490.

Bouvard, Barometerveränderung, tägliche zu Paris, V. 122. Einfluss des Windes auf das Barometer, V. 243. Depression des Quecksilbers im Barometer, III. 384.

Brechung, doppelte, am Analcim, II. 21; Instrument, sie

zu erkennen, I. 30; des Schalles, I. 218.

Brechungsvermögen elastisch. Flüssigkeiten, I. 159; der Flüssigkeiten in Höhlen der Krystalle, I. 414.

Brewster, Wiederkennbarmachen der Zeichnungen auf Münzen, I. 30. Doppelte Brechung im Analcim, II. 21. Optische Täuschungen, II. 248. Flüssigkeit in Krystallen überhaupt, I. 421; im Saphir, III. 78. Temperatur am Aequator, IV. 335.

Brillen, isochromatische, II. 281; cylindrische, III. 454.

Brillennmesser, III. 457.

Brom, II. 282, 484; V. 127, 249.

Buchanan, Luftpumpe, III. 127.

Bunten, Heber, I. 69. Reisebarometer, II. 74.

Bürg (R. v.), Veränderung des Eispunctes an Thermometern, III. 18; über Hygrometer, IV. 50; V. 293.

Burg, Kräfteparallelogramm, II. 279.

C.

Camera obscura mit meniskusförmigem Prisma, I. 71.

Carlini, Gesetze der Barometeränderungen, V. 468.

Cat. optischer Versuch, II. 251.

Cauchy, analytischer Lehrsatz, I. 88. Neuer Calcul, I. 342. Anwendung auf Summirung der Reihen, I. 359. Ansicht des unendlich Kleinen und Großen, und Anwendung auf Berührung, II. 336.

Chemie, physikal., III. 493; IV. 112, 322; V. 249, 356.

Chladni, Klangfiguren, I. 226.

Christie, Rotationsmagnetismus, I. 130; II. 322. Einfluss des Sonnenlichtes auf oscillirende Magnete, III. 96.

- Variation der Magnethadel, IV. 81. Wirkung der Theile magnetischer Körper auf einander, IV. 93.
- Collimator, schwimm., I. 186.
- Colladon, Compressibilität der Flüssigkeiten, IV. 236. Rotationsmagnetismus, I. 139.
- Schneiden des Eisens mit Kupfer, I. 86.
- Compensationspendel, I. 186.
- Compressibilität der Flüssigkeiten, IV. 236.
- Compressionsversuche, III. 243, 245; IV. 236.
- Convergenz der Reihen, V. 10.
- Chyometer, I. 311.
- Czermak, Temperatur der Amphibien, III. 385.

D.

- Darier, Schneiden des Eisens mit Kupfer, I. 86.
- Davies, über das Verbrennen, II. 512, 513.
- Davy, Verhältniß zwischen electrischen und chemischen Erscheinungen, II. 447. Wirkung der Mineralsäuren auf Kupfer, IV. 362. Vulcanische Erscheinungen, V. 222. Farbe des Wassers, V. 238. Witterungsanzeigen, V. 241.
- Desprez, Hitze beim Verbrennen, IV. 365; bei verschiedenem Drucke, IV. 367.
- Dick, reflectirendes Telescop, I. 451.
- Differenzialthermometer, III. 471.
- Digitalin, IV. 450.
- Dreieck, neue Eigenschaften, II. 396.
- Druck der See in der Tiefe, V. 110.
- Drummond, Apparat zu starkem Lichte, II. 236.
- Duleau, Festigkeit des Eisens, I. 76.

- Dulong, Brechungsvermögen elast. Flüssigkeiten, I. 159.
- Durchsichtigkeit des Weltraumes, II. 84.
- Dünste. Expansivkraft derselben, I. 459; III. 476; V. 313.
- Verdichtung derselb., V. 334.

E.

- Ebene ohne Abweichung in China und St. Helena, IV. 88.
- Eigenschaft des Lichtes beim Anblick kleiner Punkte mit Fernröhren, I. 282.
- Eigenschaften, neue, des geradlinigen Dreieckes, II. 396; der dreiseitigen Pyramide, II. 530.
- Eisen, gediegenes, III. 497. Festigkeit und Elasticität, I. 75, 84; III. 1; IV. 129.
- Eisenborid. Bereitung desselben, V. 251.
- Electricität bei chemischen Wirkungen, III. 336; eines Metalldrahtes in einer Flamme, IV. 251; durch Spalten und Drücken erregte, IV. 252; Leitfähigkeit für dieselbe, III. 462; der Regenschauer, I. 295. Electricische Erschütterung im galvanischen Kreise, V. 433.
- Electrisirmaschine. Versuche damit, III. 439.
- Electro-chemische Erscheinungen neuer Classe, II. 435; III. 65.
- Electrometrische Untersuchungen, III. 110.
- Emmctt, Bau fester Körper, III. 240.
- Entwicklungen aus der Theorie der geraden Linie und der Ebene, IV. 288.
- Entzündung des Schießpulvers durch die Electricität, und über ihren Durchgang durch Wasser, II. 46.

Erman, Einfluß der Liquefaction auf d. Volumen, III. 242.
Ettingshausen, Auflösung eines Systems mehrerer Gleichungen, V. 209; zweier arithmetischer Aufgaben, V. 287. Bestimmung des Vergrößerungsverhältnisses der Mikroskope, V. 316. Entwicklung der Gleichungen zwischen den Kanten der Gestalten des tessular. Krystall-systemes, V. 385.
 Eudiometer, I. 192.
 Expansivkraft des Wasserdunstes, I. 459; Formel darüber, III. 476; bei niederen Temperaturen, V. 313; Instrument zum Messen derselben, I. 383.

F.

Faraday, über das Daseyn einer Grenze der Verdunstung, II. 226.
 Farbe der Flammen, I. 403, 407; undurchsichtiger Körper, II. 87; über weisse, IV. 380.
Farish, isometrische Perspective, II. 252.
 Fernröhre, achromatische, II. 360; III. 458; V. 120. Berechnung derselben, III. 129, 285; IV. 257. Vergleichung zwischen dioptrischen und catadioptrischen, II. 361.
 Festigkeit und Elasticität des Eisens und Stahles, I. 75; III. 1; IV. 129; verschiedener Körper, II. 469.
 Festwerden d. Erdschichten, II. 461; anderer Körper, III. 476.
 Feuchtigkeit der Luft. Einfluß auf Höhenmessung, I. 37; am 17. Juli 1826, II. 220 u. III. 76. Instrumente zur Bestimmung derselben, II. 240, 492; IV. 50, V. 293.

Fierlinger, Verfertigung der Mineralwässer, V. 257.
Fischer, Monochord, I. 184. Versuche über die Schwingungszahl der Saiten, I. 224. Flächen, developpable, I. 110. Flamme, über dieselbe, III. 204. Farbe derselben, I. 407. Gestalt derselben, V. 334.
Flaugergues, Verrückung des Eispunctes an Thermometern, II. 504. Wirkung des Mondes auf die Atmosphäre, IV. 231.
 Flüssigkeiten in Krystallen, I. 417; III. 78; V. 107.
Foggo, Electricität der Regenschauer, I. 295.
 Formeln über Potenzen des Sinus und Cosinus, I. 96.
 Fortschritte der Physik in der neuesten Zeit, I. 74, 209, 323, 456; II. 80, 244, 353, 502; III. 104, 240, 325, 451; IV. 81, 228, 322, 454; V. 107, 222, 223, 467.
Foster, Einwirkung einer rotirenden Eisenscheibe auf eine Magnetenadel, IV. 90.
Fox, Verdichtung der Dünste, V. 334.
Frankenheim, über die Wärme der Gase, II. 285.
Fresnel, circuläre Polarisation des Lichtes, II. 1.
 Frosch. Vergleichung seiner Empfindlichkeit mit einem Multiplicator, IV. 250.

G.

Gang einer Pendeluhr, I. 299.
 Gas, neues brennbares, IV. 113.
 Gaslampe, sich selbst nährend, II. 237.
 Gehör. Versuche darüber, IV. 101.
 Gewicht, specifisches, der gepulverten Körper zu finden, I. 318; V. 323; mittelst Aräo-

meter, I. 1; mittelst Heber, II. 76; V. 328.
Giddy, Temperatur zu Penzanse, V. 493.
 Gleichung. Unmöglichkeit, jene, welche den vierten Grad übersteigen, allgemein aufzulösen, I. 253. Kennzeichen der Anwesenheit imaginärer Wurzeln, I. 379. Integrirung der Differenzialgleichung der *n*ten Ordnung, IV. 35. Bemerkungen über Differenzialgl., V. 27. Auflösung eines Systemes von Gleichungen, V. 209; zwischen den Kanten der Gestalten der Krystalle des Tessularsystems, V. 385. Bemerkungen über Differenzialgleichungen, V. 27.
 Gleichgewicht. Gesetze desselben, auf neue Art entwickelt, I. 468; II. 93; III. 37, 182; V. 180.
 Glühen des Kalkes in der Oxygenflamme, I. 390.
Godmann, Anomalie im Sehen, IV. 378.
 Gold. Goldoxyde, III. 500. Zusammensetzung des silberhaltigen Goldes, III. 501.
Goldingham, Schallfortpflanzung, I. 216.
Goring, Verbesserung des *Amici*'schen Mikroskopes, I. 301.
Graham, Absorption der Dünste, IV. 368. Alkohol, aus gährendem Brod gewonnen, II. 283. Auflöslichkeit der Salze, III. 493. Alkoate, V. 358. Einfluß der Luft auf Krystallisation, V. 252.
 Graphit, künstlicher, V. 383.
Green, Druck der See in der Tiefe, V. 110.
Gregory, Schallfortpflanzung, I. 215.
Greisinger, Vortheile des Banquier beim Pharaospiele, IV.

210. Gleichbeleuchtete Linien, IV. 385.
Griffiths, Siedhitze von Salzaufösungen, I. 291.

H.

Haarhygrometer, II. 29; IV. 50; V. 293.
 Hagel u. Hagelableiter, IV. 324.
Hall, über das Festwerden der Erdschichten, II. 461. Zersetzung des Wassers, V. 250.
Hallaschka, hoher Barometerstand im Jänner 1828, IV. 47.
Hansteen, Beobachtungen über die Abnahme der magnetischen Kraft der Erde, II. 212.
Hare, Chyometer, I. 311. Eudiometer, I. 192. Opium zu entdecken, IV. 112. Volumeter, V. 99.
Harkort, Reagens auf Kali, V. 383.
Harris, electriche Wage, III. 126. Leitfähigkeit für Electricität, III. 462.
Hart, galv. Batterie, I. 190.
Harvey, Unfähigkeit, gewisse Farben zu erkennen, II. 245.
Hawkins, über Brillen, III. 456.
 Heber, *Buntens*, I. 69; *Hempels*, I. 70; andere Einrichtung, I. 70.
Herschel, über Rotationsmagnetismus, I. 130. Absorption des Lichtes, I. 85. Vergleichung der Fernröhre, II. 361.
Herzberg, höchster und niedrigster Barometerstand, III. 248; mittlerer Barometerstand u. Temperatur, V. 493.
 Höfe, III. 380.
 Höhenmessung mit einem Barometer, I. 55, 170.
 Höhlungen in Krystallen. Anzahl und Anordnung, I. 417. Gestalt, 419. Beschaffenheit der darin enthaltenen Flüss-

sigkeiten, 421. Besondere Erscheinungen, 427.

Holger, Dr. v., Analyse des zu Pakfong verwendeten Nickels, III. 19. Wirkung des Zuckers auf Kupfersalze, III. 401. Analyse des verwunschenen Burggrafen, V. 1.

Hydrocyansäure. Entdeckung derselben in Leichnamen, IV. 112.

Hydrometer, heberförmiges, zur Bestimmung der Temperatur des Wassers bei der größten Dichte, II. 76.

Hygrometrie, I. 456.

Hygrometer. Ueb. dasselbe, IV. 50. Vergleichung des Schwefelätherhygrometers mit dem *Leslie'schen*, 58; des Haarhygrometers mit dem *Leslie'schen*, 64; des Haarhygrometers mit dem Schwefelätherhygrometer, 70. Ueber dasselbe, V. 293.

I.

Jacquin, F. v., Methode, die Vergrößerung an Mikroskopen zu finden, IV. 1. Bemerkungen über Mikroskope, V. 129.

Instrumente, neue verbesserte, I. 69, 184, 301, 451; II. 74, 236, 348, 487; III. 123, 320; IV. 228; V. 94, 328.

Instrument zur Messung der Expansivkraft der Dünste, I. 383; zur Bestimmung des Feuchtigkeitszustandes einer Luftmasse, II. 492; optische, II. 358.

Integration der linearen Differenzialgleichung n ter Ordnung, IV. 35.

Jod, im Mineralwasser von Bonington bei Leith, II. 283; Wirkung auf Kieselflußssäure, IV. 322.

Joddunst bei Erhitzung des Chlorkalkes, V. 8.

Ivory, Untersuchungen über die Länge des Secundenpendels und Ellipticität der Erde, II. 194. Expansivkraft der Wasserdünste, III. 476.

K.

Kaffehmaschine, III. 269; aus einem Heronsball, I. 321.

Kaleidophon, III. 324.

Kali. Reagens auf dasselbe, V. 383.

Kalk, unterphosphorigsaurer, III. 24.

Kater, schwimmender Collimator, I. 186.

Kennzeichen der Anwesenheit imaginärer Wurzeln in Gleichungen, I. 379.

Kerzendocht, verbesserter, V. 384.

King, Sicherheitsrohr, III. 321. Maximumthermometer, V. 104.

Knallgasgebläse, II. 352.

Knar, Beiträge zur Lehre der Functionen, II. 254. Entwicklung der Functionen, II. 366. Beweis eines Satzes zur Vergleichung der Differenzialquotienten mit Combinationen, III. 175. Ueber Parallellinien, III. 414. Berichtigung, IV. 427.

Kräftenparallelogramm, einfach zu beweisen, II. 279.

Kralovansky, über das Lithon, III. 152.

Krystallisation. Erscheinungen dabei, III. 481. Vergrößerung der Krystalle, 492. Einfluß der Luft auf dieselbe, V. 252.

Kulik, Kaffehmaschine, I. 321. Schwingungszeit des einfachen Pendels, I. 337.

Kupffer, Veränderungen der

Schwingungsdauer einer Magnetnadel, III. 325. Vertheilung der magnetischen Kraft, IV. 84.

L.

Labaraque, Sodaflüssigkeit, IV. 118.

Ladungssäule. Ueber dieselbe, III. 118.

Länge des Secundenpendels in verschiedenen Breiten, und die davon abgeleitete Ellipticität der Erde, II. 194.

Lamla, Summirung einer Reihe, III. 27. Integration der linearen Differenzialgleichung *n*^{ter} Ordnung, IV. 35.

Lassaigne, Bereitung des Eisenborides, V. 251.

Latta, Klima von Spitzbergen, III. 373.

Leitfähigkeit für Electricität, III. 105, 462; des Holzes für Wärme, V. 330.

Lehrsatz, analytischer, I. 88.

Leslie, Apparat zur Bestimmung der Dichte gepulverter Körper, V. 323. Methode, das spec. Gewicht gepulverter Körper zu finden, I. 318. Untersuchung über Lichtsauger, II. 80. Stärke des Schalls, I. 222.

Libri, über die Flamme, III. 204.

Licht, sehr intensives, I. 306. Anziehung und Abstofsung desselben, V. 335. Kalte Natur desselben, V. 343. Polarisation, circuläre, desselben, II. 1. Doppelte Brechung desselben im Analcim, II. 21. Brechung in Gasen, I. 159.

Lichtsauger. Untersuchung von *Leslie*. II. 80.

Linien, gleichbeleuchtete, IV. 385.

Linien von Saphir, IV. 379; achromatische Objective, III. 129, 285; IV. 257; V. 120; aplanatische zu Mikroskopen, V. 94; mit Flüssigkeiten, II. 358; III. 458; Oculare, astronomische, IV. 17; terrestrische, IV. 195; pankratische, IV. 501.

Lithon. Ueber dasselbe, III. 152.

Littrow, Berechnung achromatischer Fernröhre, III. 129; Nachtrag dazu, III. 285; Verbesserung der achrom. Object., IV. 257; über astronom. Oculare, IV. 17; über terrestrische, IV. 195; über das pankratische Ocular, IV. 501. Auflösung eines geodätischen Problems, II. 517.

Longmine, Verbrennen, II. 513.

Ludwig, Brom in der Mutterlauge aus Hall, II. 417.

Luft, athembare, worin kein Licht brennt, IV. 235.

Luftelectricität. Quelle derselben, III. 464.

Luftpumpe ohne Hahn und Ventil, III. 127.

Luhatschowitzer Trinkquelle. Untersuchung derselben, IV. 171, 277.

M.

Mac-Keever, Brennen, II. 514. Mafsstäbe, II. 418.

Magnetnadel. Aenderung ihrer Stärke, III. 82. Neigung und Stärke, III. 332. Ablenkung durch Maschinenelectricität, III. 257, 442. Wirkung eines Ueberzuges und des Sonnenlichtes auf sie, III. 96, 157, 247. *Lebaillif's* Versuche damit, III. 246. Schwingungen im Schatten und Son-

- nenlichte, III. 157. Theorie der täglichen Variation, IV. 81. Veränderung der mittleren Schwingungsdauer, III. 325. Wirkung einer rotirenden massiven und hohlen Eisenkugel auf sie, III. 79. Einer Eisenscheibe, IV. 90. Rotirender Körper überhaupt, I. 129; II. 321, 419; IV. 90, 93.
- Magnetisirung durch Licht, I. 263.
- Magnetismus, II. 336; III. 246, 325; IV. 81, 491.
- Magnetismus der Erde. Stärke und Richtung desselben, III. 332. Tägl. Variation, III. 82.
- Manganoxyde, V. 371.
- Manganpräparate, IV. 312; schwefelsaures Manganoxydul, 312; Schwefelmangan, 318.
- Marcel, über spec. Wärme der Gase, III. 214.
- Marianini, electrometrische Untersuchungen, III. 110. Multiplikator, IV. 42. Verminderung der electricen Spannung der *Volta'schen* Säule, III. 355. Erschütterung im electricen Kreise, V. 433.
- Marx, optische Untersuchungen, II. 358.
- Meikle, heberförmiges Hydrometer zur Bestimmung der Temperatur des Wassers bei der größten Dichte, II. 76. Heber zur Bestimmung des spec. Gewichtes, V. 328.
- Messen eines elect. Stromes, I. 430; hoher Temperaturen, I. 447; II. 75; IV. 364.
- Meteorologie, III. 248, 372; IV. 324; V. 122, 222, 468.
- Methode, vortheilhafte, Wasser zu hitzen, II. 499.
- Mikrometer. Controllirung derselben, V. 316.
- Mikroskope, *Amici'sche*, verbessert, I. 301; aplanatische, V. 94. Methode, die Vergrößerungszahl zu finden, IV. 1; V. 316.
- Mills, neues Pyrometer, II. 75.
- Mineralsäure. Wirkung auf Kupfer, IV. 362.
- Mineralwasser. Verfertigung künstl., V. 257. Analyse des Eisenbrunnen bei Prefsburg, III. 280. Analyse des Luhatshowitzers, IV. 171.
- Miscellen, II. 281, 417.
- Mitis, Versuche über die absolute Festigkeit einiger öst. Stahlgattungen etc., III. 1. Stärke und Elasticität des Eisens, IV. 129.
- Mittel gegen das Rosten, V. 249.
- Moll, Geschwindigkeit des Schalles, I. 213.
- Momente. Eigenschaften derselben, V. 267.
- Mond. Seine Wirkung auf die Atmosphäre, IV. 231; als Lichtsauger, II. 80.
- Monochord, I. 184.
- Moore, Gradiren der Aräometer, I. 316.
- Morosi, Wärmeerregung durch Reibung, II. 504.
- Moth, Eigenschaften der Punkte des Raumes in Bezug auf die Hauptmomente, V. 267, 419. Relationen im sphär. Dreiecke, IV. 254. Entwicklungen aus der Theorie der geraden Linie und der Ebene, IV. 288.
- Multiplikator. Magnetismus seiner Drähte, IV. 491; galvanischer, IV. 42.
- Muncke, Sehen unter Wasser, II. 92.
- Murray, Mittel gegen das Rosten, V. 249. Wärmevertheilung in einer galv. Batterie,

I. 286. Verbesserter Kerzen-
docht, V. 384.

N.

Navier, Versuche über die
Stärke verschiedener Kör-
per, II. 469.

Nebensonnen, III. 380.

Neumann, Bruchstücke zer-
schossen. Glastafeln, IV. 193.

Nicol, Flüssigkeiten in Kry-
stallen, V. 107.

Nickel. Analyse des zu Pak-
fong verwendeten, III. 19.
Stöchiometrisch. Werth des-
selben, III. 499.

Nixon, Höhenmessung, I. 55,
170. Theorie der Wasser-
wage, III. 228.

Nobili, electro-chemische Er-
scheinungen, neue Classe,
II. 435; III. 65; über Rota-
tionsmagnetismus, I. 146;
Natur der electrisch. Ströme,
IV. 350; thermoelectrische
Ströme zu erhalten, IV. 355;
electro-chemische Erschei-
nungen und Bewegungen des
Quecksilbers, III. 348; Ma-
gnetismus der Drähte eines
Multipliers, IV. 491; Ver-
gleichung eines Frosches mit
einem Multiplier, V. 250.

Nörrenberg, Ablenkung einer
Magnetnadel durch Maschi-
nelectricität, III. 257. Caf-
fehmaschine, III. 269. Ge-
setze des Gleichgewichtes,
auf eine neue Art entwickelt,
I. 468; II. 93; III. 37, 182;
V. 180.

Nordlicht. Dessen Einfluß auf
Magnetnadeln behauptet, IV.
340; derselbe bezweifelt, IV.
343; derselbe bewiesen, V.
246.

Nürnberg, Auflösung eines
algebraischen Problems, IV.
76.

O.

Objective, flüssige, II. 359;
III. 458; achromatische, III.
129, 285; IV. 257; V. 120.

Oculare, astronomische, IV. 17;
pankratische, IV. 501; ter-
restrische, IV. 195.

Oersted, Compressionsversu-
che, III. 245; über Klang-
figuren, I. 225.

Ohr, äußeres, I. 331.

Olbers, Durchsichtigkeit des
Weltraumes, II. 84.

Opium. Dasselbe zu entdecken,
IV. 112.

Optik, I. 451; II. 80; III. 451;
IV. 378; V. 335.

Orgelpfeifen. Luftschwingun-
gen in denselben und ihre
Einrichtung, I. 328.

Osan, Leuchtsteine, II. 83.

Otley, Knallgasgebläse, II.
352.

P.

Parallellinien. Theorie dersel-
ben, III. 414. Berichtigung
derselben, IV. 427.

Paris, Thaumatrope, I. 455.

Payen, Varietäten des Borax,
V. 383.

Pendel, unveränd., V. 101. Län-
ge an verschied. Orten, II.
194. Schwingungszeit, I. 337.

Perkins, Compressionsversu-
che, III. 243.

Perspective, isometrische, II.
252.

Pfister, Electrisirmaschine und
Versuche damit, III. 439.

Phillips, über Salpetersäure,
IV. 323.

Photometer, neues, I. 72; nach
Bouguers Grundsätzen, I.
453.

Planiawa, Darstellung des
Chlorbariums, III. 407; des
Digitalins, IV. 450; Ent-

wässerung des Alkohols, III. 411; über Joddunst, V. 8; Platinschwamm, V. 9; über *Labaraques* Sodaflüssigkeit, IV. 118; Untersuchung der Luhatschowitzzer Trinkquelle, IV. 171 u. 277

Pleischl, Azotgehalt der Vegetabilien, II. 157. *Woulf'scher* Apparat, III. 273. Hautschoukplatten aus Beuteln, III. 278. Bildung des Ammoniak beim Löschen des gebrannten Kalkes, II. 315. Glühen des Kalkes in der Oxygenflamme, I. 390. Schneiden des Eisens mit Kupfer, I. 86.

Plisson, Identität des äpfels. Altheins mit dem Asparagin, IV. 115.

Plöfsl, Verzeichniß optischer Instrumente, IV. 118. Nachtrag, V. 253. Mikroskop mit aplanatischen Linsen, V. 94.

Poisson, Theorie des Magnetismus in Bewegung, II. 336; über developpable Flächen, I. 96; über Erdmagnetismus, I. 117.

Polarisation, circuläre, des Lichtes, II. 1; polarisirende Wirkung einiger Körper, II. 353; des Schalles, I. 218.

Polarisationsapparat, II. 491.

Pouillet, Quelle der Luftpolectricität, III. 464.

Powell, strahl. Wärme, II. 507.

Prechtl, Instrument zum Messen der Expans. der Dünste, I. 383.

Prevost, über Rotationsmagnetismus, I. 139. Einfluß der Niederungen auf den Thau, III. 378. Ueber weisse Farbe, IV. 380.

Prinsep, Haarhygrometer, II. 29. Pyrometer, IV. 364.

Pyrometer, neues, II. 75. IV. 364.

Q.

Quadrant, hydrostatischer, II. 348.

Quellen. Heisse Bestandtheile derselben, V. 381.

Quetelet, Gestalt der Kerzenflamme, V. 334.

R.

Raabe, Bemerkungen über Differenzialgleichungen. V. 27.

Reden bei *Laplace's* Leichenbegängniß, im Auszuge, III. 231.

Regen in den Zipser Alpen, V. 57; zu Bombay, V. 127.

Regenbogen, merkwürdiger, III. 201.

Registerthermometer, V. 104.

Reid, Compensationspendel, I. 186.

Reihe, Summirung einer, III. 27. Beitrag dazu, III. 312. Convergenz derselben, V. 10.

Reisebarometer, verbessertes, II. 74.

Resultate der Thermometerbeobachtungen in den Jahren 1824 und 1825 zu Leith, II. 53; mehrerer am 17. Juli des Jahres 1826 angestellter meteorologischer Beobachtungen, II. 59, 218.

Ritschie, Differenzialthermometer, III. 471; strahlende Wärme, II. 508; III. 472. Photometer, I. 72. Photometer nach *Bouguers* Grundsätzen, I. 453.

Rive, Hygrometer, I. 466; über specifische Wärme, III. 214. Leitfähigkeit des Holzes, V. 330. Richtung des elect. Stromes, IV. 454.

Robertson, Apparat zum Auffangen der Gase bei electr. Zersetzungen, III. 320.

Rogers Einrichtung achromatischer Fernröhre, V. 120.
 Rotationsmagnetismus, I. 129; II. 321, 419; III. 79; IV. 90, 93.
Rumball, Foeus im Auge, III. 451.
Rumy, Wassermeteore in der Zips, V. 57, 161.

S.

Saigey, Sideroscop und Versuche damit, IV. 492.
 Salpetersäure, IV. 323.
 Salze. Auflöslichkeit derselben, III. 493. Siedhitze der Auflösungen, I. 291.
 Saphir. Flüssigkeit in dessen Höhlungen, III. 28; Linsen daraus, IV. 379.
Saussure Theod. Kohlensäuregehalt der Luft, V. 356.
Savart, über das äußere Ohr und das Trommelfell, I. 331; Einfluss des Mittels auf den Schall, I. 221; über die menschliche Stimme, I. 12; über Transversalschwingungen, IV. 101; über Fortrückten der Schwingungsknoten, IV. 109.
 Schatten, farbige, II. 88.
 Scheidungen mittelst Berührungselectricität, III. 123.
 Schettland. Clima desselben, III. 372.
Schilko, Grundsätze der Wärme, IV. 436.
 Schneiden des Stahles mit weichem Eisen, I. 86.
Schouw, Thermometer-Aenderung, tägliche, V. 127.
Schulz v. Strasznicki, Convergence der Reihen, V. 10; neue Eigenschaften des geradlinigen Dreieckes, II. 396; der dreiseitig. Pyramide, II. 530.
 Schwefel- und Azotgehalt einiger Vegetabilien, II. 157.

Schwingungen der Magnetnadeln im Sonnenlichte und Schatten, III. 157.
 Schwingungszeit des einfachen Pendels, I. 337.
Scoresby, merkwürdige Regenbogen, III. 201. Wirkung eines Blitzschlages, IV. 334.
Scott, Clima von Schettland, III. 372.
Seebeck, Polarisationsapparat, II. 491.
 Sehen unter Wasser, II. 92.
Sertürner, kalte Natur des Lichtes, V. 343.
 Sicherheitsrohr, III. 321.
 Sideroscop, IV. 492.
 Siedhitze des Wassers auf hohen Bergen, I. 461; von Salzauflösungen, I. 291.
 Sitz, eigentlicher des Sehens, II. 244.
Skidmore, Verbrennen, II. 514.
Smith, opt. Täuschung, II. 247.
 Sodaflüssigkeit, geruch- und farbezerstörende, IV. 118.
 Sonnencompafs, IV. 229.
 Spannung, electr. Verminderung derselben, III. 355.
Spécz, etwas über Brom, II. 484.
 Spitzbergen. Clima daselbst, III. 373.
 Stärke verschiedener Körper, I. 75; II. 469; des Eisens, III. 1; IV. 129.
 Stereometer, III. 322.
 Stimme, menschliche, I. 12.
Strehlke, Klangfiguren, I. 226.
 Ströme, electriche. Natur derselben, IV. 350. Thermoelectriche zu erhalten, IV. 355. Umstände, die seine Richtung bestimmen, IV. 454.
Sturgeon, über Entzündung des Schiefspulvers durch Electricität und ihren Durchgang durch Wasser, II. 46.

Sturm, Compressibilität der Flüssigkeiten, IV. 236.
Sym, über die Flamme, II. 511.

T.

Täuschungen, optische, II. 247.
Talbot, über die Farbe der Flammen, I. 404.
Telescop, reflectirendes, I. 451.
Temperatur. Mittlere am Aequator, IV. 335; zu Penzance, V. 493. Mittel, hohe zu messen, I. 447; IV. 364.
Temperaturänderung. Ihr Einfluss auf Berührungselectricität, I. 430; tägliche zu Leith, II. 53; zu Kopenhagen, V. 127.
Thau. Einfluss der Niederungen auf denselben, III. 378.
Thaumotrop, I. 455.
Thermobarometer, IV. 229.
Thermometer, registrirendes, II. 78; für das Maximum, V. 105. Weingeistthermometer in Vergleich mit dem Quecksilbertherm., II. 502.
Thermometerstand, täglicher, V. 127.
Thoma, Bromgehalt der Halber Salzsoole, V. 249.
Thomson, vortheilhafte Methode Wasser zu hitzen, II. 499.
Tredgold, Festigkeit und Elasticität des Eisens, I. 81.
Trommelfell. Nutzen desselben, I. 331.
Turmalin. Seine electricischen Eigenschaften, IV. 356.
Turner, Manganoxyde, V. 371. Bestandtheile heifser Quellen; V. 381.
Twining, Einfachsehen mit beiden Augen, V. 111.

U.

Uebungen, analytische, I. 493.

V.

Varvinsky, Wirkung des Jod auf Kieselflussssäure, IV. 322.
Ventres, Stereometer, III. 322.
Verbrennen, II. 511; Hitze dabei, IV. 365; bei verschiedenem Drucke, IV. 367.
Verdunstung, I. 456.
Verhältniß, über das, zwischen electricischen und chemischen Erscheinungen, II. 447.
Vorschlag, Stahl statt des Eisens zu Kettenbrücken und Ankertauen zu verwenden, III. 1.
Vulcan. Erscheinungen derselben, V. 222.

W.

Wage, neue, II. 487; electricische, III. 126.
Wallan, eigentlicher Sitz des Sehens, II. 244.
Wärme, II. 502; der Gase, II. 385; Grundgesetze derselben, IV. 436; leuchtender Körper, II. 507; specifische der Gase, III. 214; strahlende, II. 218 u. 507; III. 472; Vertheilung derselben in einer galv. Batterie, I. 286.
Wärmeerregung durch Reiben, II. 504.
Wasser. Farbe desselben, V. 238. Zersetzung durch Eisen, V. 250.
Wasserdunst. Expansivkraft desselben, I. 459; III. 476; V. 313; Zersetzung, V. 334.
Wassermeteore in der Zips, V. 57, 161.
Watt, Anziehung und Abstossung des Lichtes, V. 335; über die Wirkung eines Ueberzuges auf Magnetnadeln, III. 247; Sonnencompas, IV. 229.

Werner, Maßstäbe, II. 418.

Neue Wage, II. 487.

Wheatstone, Kaleidophon, III.

324. Versuche über das Gehör, IV. 101. Polarisation des Schalles, I. 218. Klangfiguren, I. 225.

Wiedererkennbarmachen der Inschriften auf Münzen und Medaillen, I. 30.

Wildt, Vergleichung des Weingeist- und Quecksilberthermometers, II. 502.

Wilson, Bestimmung der Ebene ohne Abweichung in China und St. Helena, IV. 88.

Wind und allgemeiner Charakter der Witterung, II. 224.

Wind. Sein Einfluß auf den Barometerstand, V. 243.

Witterungsanzeigen, V. 241.

Wollaston, Vergrößerung der Krystalle, III. 492.

Y.

Ivory, Expansivkraft der Wasserdünste, III. 476. Pendellänge, II. 194.

Z.

Zschokke, farbige Schatten, II. 89.

Zucker. Seine Wirkung auf Kupfersalze, III. 401.



Fig. 13.

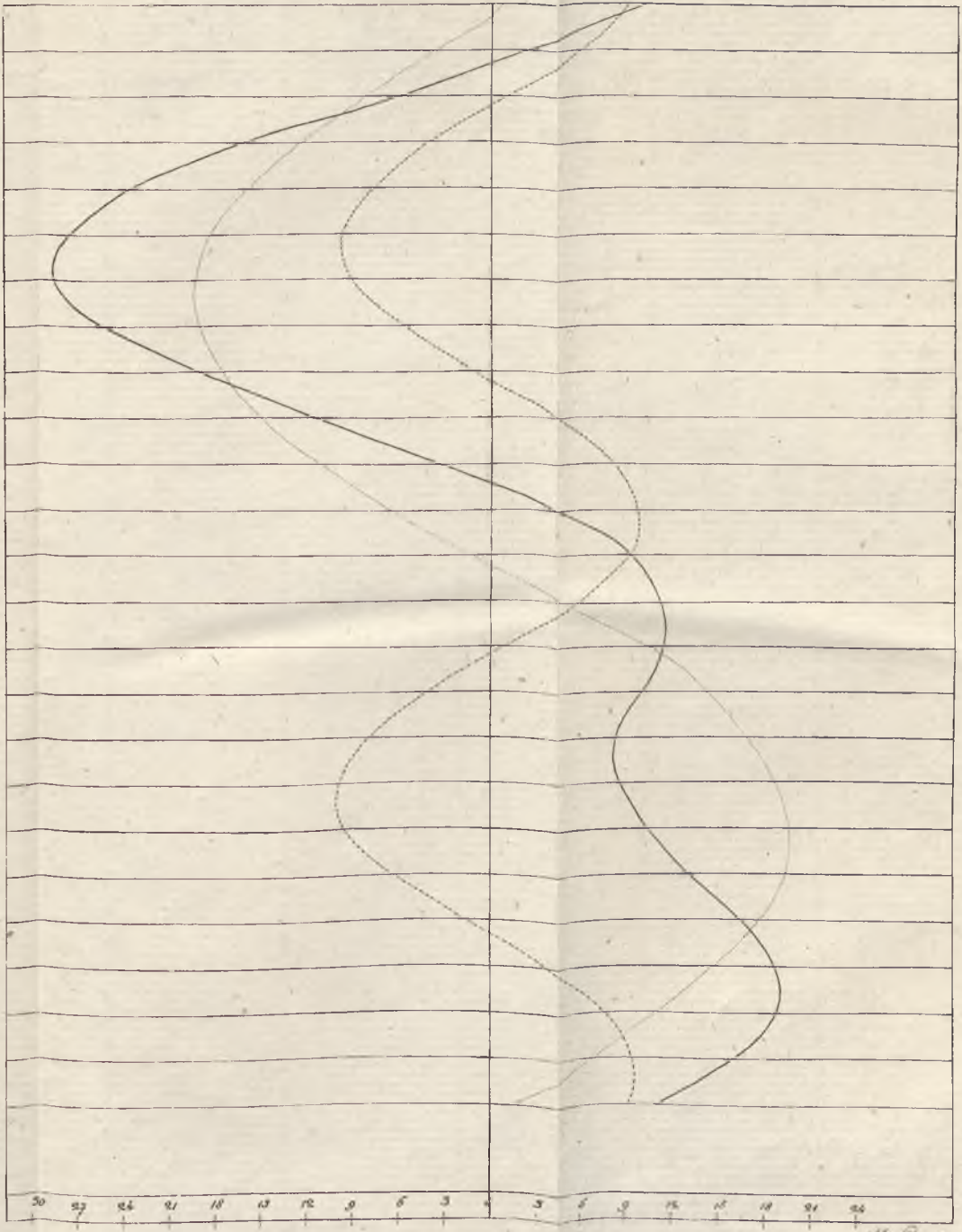
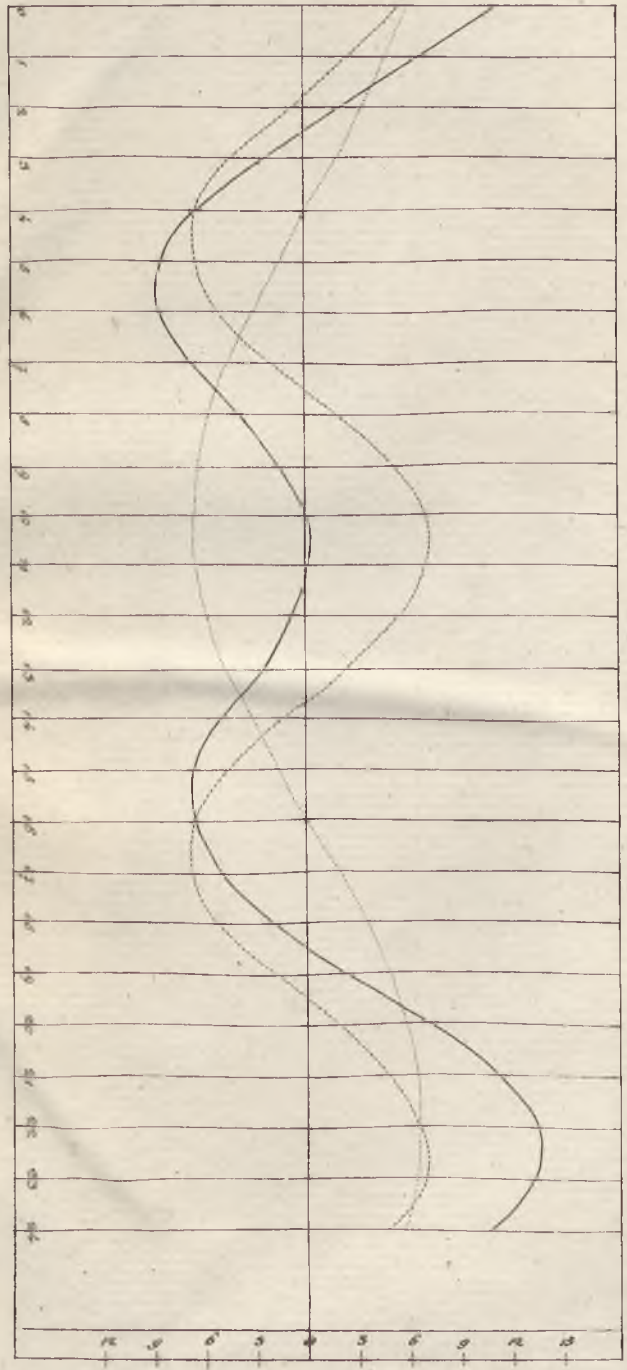


Fig. 14.





by
me he
usydell
p. ten
each one
The tea
a single who
ducent ma
w/ r
pusac

2 km



river

river

after rain to sea

to sea

river